

## 第十二章 有理 B ézier 曲线曲面的多项式逼近

从第三章、第五章和第七章可以知道有理 B ézier 曲线、曲面不但能表示自由曲线、曲面,而且能精确表示圆锥曲线、二次曲面与旋转曲面,因而获得广泛的应用. 这些曲线曲面与多项式曲线曲面在几何性质上极其相似,如几何与仿射不变性,凸包性,保凸性,对称性,端点插值性等;在计算方法上也极其相似,如 de Castljau 求值,离散,升阶,插值,包络生成算法等.但是并非所有计算方法都是可以平行地类推的.把多项式曲线曲面推广到有理多项式形式时,也产生了一些负面影响.其一是曲线曲面的微分运算和积分运算变得繁琐费时了,其二是用多项式和有理多项式这两种形式来表示的曲线曲面设计系统之间,不能直接进行数据的交换和传递了.但是曲线曲面的拼接和求交中必须进行微分运算,物体的重心和体积等物性计算中必须进行积分运算,CAGD 中的数据通讯同样也是必不可少的.

为了解决以上这两个问题,九十年代开始,产生了用多项式曲线、曲面逼近有理多项式曲线、曲面的一系列工作.其原始表示式最早可追溯到 Ball<sup>[1]</sup>在 1974 年的论文.1991 年 Sederberg 和 Kakimoto<sup>[2]</sup>首次提出逼近有理多项式的 Hybrid (混合,杂交)算法.其基本思想是把一条  $m$  次有理曲线  $R(t)$  首先表示成带有一个移动控制顶点  $H_r(t)$  的  $r+p$  次 B ézier 曲线  $H(t)$  (称为 Hybrid 曲线),其中  $H_r(t)$  是与  $R(t)$  同次数且同权因子的有理 B ézier 曲线;如果当  $r+p \rightarrow \infty$  时  $H_r(t)$  的凸包缩为一点,我们可以用此凸包内的任一点  $H_r$  近似替代  $H_r(t)$ ,由此产生的曲线  $\tilde{H}(t)$  就是对  $R(t)$  的 H 多项式逼近.文献[2]给出了  $H(t)$  的控制顶点的计算方法.然而围绕着 H 多项式逼近,还有以下一系列问题需要开展研究:

1. 传统的 Hermite 多项式曲线  $h(t)$ ,即当  $h(t)$  与  $R(t)$  在曲线两端点有若干阶相同导矢时,也可看作对  $R(t)$  的一类 h 多项式逼近.那么 H 逼近与 h 逼近在表示和计算方法上有没有联系?在收敛条件和速度上孰优孰劣?

2. 如何进行逼近曲线的快速递推计算?即若已知  $R(t)$  的一条低阶 Hybrid 曲线或 Hermite 逼近曲线,如何求得高一阶的相应曲线?

3. H 逼近和 h 逼近的收敛条件和收敛性态与已知的有理 B ézier 曲线  $R(t)$  有何关系?特别对  $m \leq 3$  次的有理曲线逼近,如何快速验敛?

4. 当  $r+p$  增大时,Hybrid 曲线的移动控制顶点以怎样的速率缩小到一点?或者说,当逼近误差界为  $\varepsilon$  时,如何决定此多项式曲线的次数  $r+p$ ?

5. 以上所有工作能否全部推广到有理 B ézier 曲面的多项式逼近?

本章系统地介绍我们在以上所列课题中的研究成果,其中第 1-7 节的内容取材于[WGJ, STW, CFL, 97], [LLG, WGJ, 2000a];第 8 节内容取材于[WGZ, ZJM, 97];第 9 节内容取材于[WGZ, LW, CFL, 95];第 10-14 节内容取材于[QGX, WGJ, 2000], [LLG, WGJ, 2000b].

### 12.1 有理 B ézier 曲线的两类多项式逼近 $h\langle r, p \rangle$ 和 $H\langle r, p \rangle$

#### 12.1.1 有理曲线 Hermite 逼近与 Hybrid 逼近的定义

**定义 12.1.1** 对一条已知的  $m$  次有理 B ézier 曲线

$$R(t) = P(t)/\omega(t) = \sum_{k=0}^m B_k^m(t) \omega_k R_k / \sum_{k=0}^m B_k^m(t) \omega_k, \quad 0 \leq t \leq 1, \quad \omega_k \neq 0, \quad (12.1.1)$$

若  $r+p-1$  次 B ézier 曲线

$$h^{r,p}(t) = \sum_{i=0}^{r+p-1} B_i^{r+p-1}(t) h_i^{r,p}, \quad 0 \leq t \leq 1 \quad (12.1.2)$$

在其两个端点处满足  $r+p$  个等式

$$\begin{cases} d^i h^{r,p}(0)/dt^i = d^i R(0)/dt^i, & i = 0, 1, \dots, r-1, \\ d^j h^{r,p}(1)/dt^j = d^j R(1)/dt^j, & j = 0, 1, \dots, p-1, \end{cases} \quad (12.1.3)$$

则称  $h^{r,p}(t)$  是  $[0,1]$  上对于有理 B ézier 曲线  $R(t)$  的 Hermite 逼近,简称 h 逼近,记为  $h\langle r, p \rangle$ .

**定义 12.1.2** 对曲线(12.1.1), 首先称与之等价的曲线

$$\mathbf{H}^{r,p}(t) \equiv \mathbf{R}(t) = \sum_{i=0, i \neq r}^{r+p} B_i^{r+p}(t) \mathbf{H}_i^{r,p} + B_r^{r+p}(t) \mathbf{H}_r^{r,p}(t), \quad 0 \leq t \leq 1 \quad (12.1.4)$$

为  $r+p$  次 Hybrid 曲线, 这里

$$\mathbf{H}_r^{r,p}(t) = \sum_{k=0}^m B_k^m(t) \omega_k \mathbf{M}_k^{r,p} / \sum_{k=0}^m B_k^m(t) \omega_k \quad (12.1.5)$$

称为  $\mathbf{H}^{r,p}(t)$  的移动控制顶点; 再用  $\{\mathbf{M}_k^{r,p}\}_{k=0}^m$  的凸包内固定的一点  $\mathbf{H}_r^{r,p}$  来代替  $\mathbf{H}_r^{r,p}(t) (0 \leq t \leq 1)$ , 则  $r+p$  次 Bézier 曲线

$$\tilde{\mathbf{H}}^{r,p}(t) = \sum_{i=0}^{r+p} B_i^{r,p}(t) \mathbf{H}_i^{r,p} \quad (12.1.6)$$

称为  $[0,1]$  上对于有理 Bézier 曲线  $\mathbf{R}(t)$  的 Hybrid 逼近, 简称 H 逼近, 记为  $\mathbf{H}\langle r, p \rangle$ .

图 12.1.1 给出了与三次有理 Bézier 曲线相应的低次 Hybrid 曲线的情形. 根据定义 12.1.2, 我们很自然地有以下的 Hybrid 曲线的表示唯一性定理.

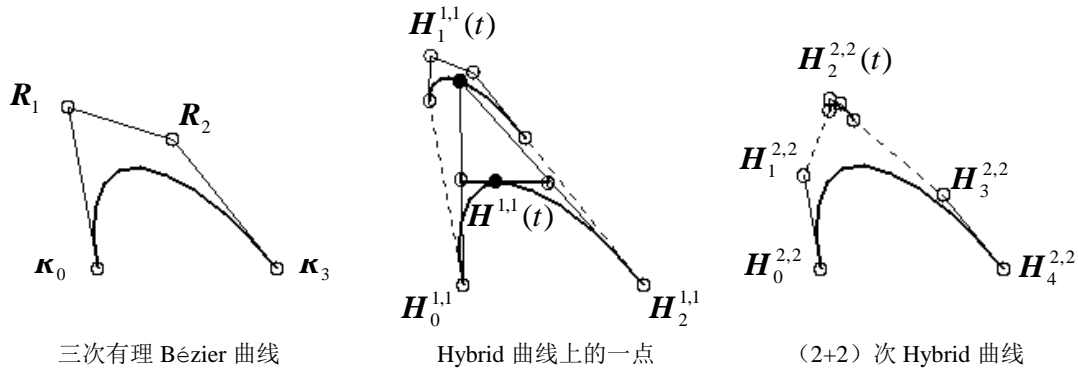


图 12.1.1 三次有理 Bézier 曲线及其 Hybrid 曲线

**定理 12.1.1.** 与有理 Bézier 曲线(12.1.1)相应的 Hybrid 曲线(12.1.4)是唯一的.

证 只要证明零向量  $\mathbf{R}(t) = \mathbf{0}$  的表示是唯一的. 在恒等式  $\mathbf{H}^{r,p}(t) \equiv \mathbf{0}$  两端代入  $t=0$  可得  $\mathbf{H}_0^{r,p} = \mathbf{0}$ , 再在恒等式  $t^{-1} \mathbf{H}^{r,p}(t) \equiv \mathbf{0}$  两端代入  $t=0$  可得  $\mathbf{H}_1^{r,p} = \mathbf{0}$ , 依次类推并由对称性得  $\mathbf{H}_i^{r,p} = \mathbf{0} (i \neq r)$ , 最后得  $\mathbf{H}_r^{r,p}(t) = \mathbf{0}$ , 从而  $\mathbf{M}_k^{r,p} = \mathbf{0}, k=0,1,\dots,m$ . 事实上, 把恒等式  $\mathbf{H}^{r,p}(t) = \mathbf{0}$  左端的有理部分移至右端, 立刻可看出结论成立.

### 12.1.2 用传统的逼近论方法求 $\mathbf{h}\langle s, s \rangle$ 的收敛条件

作为研究的入门, 首先考察  $\mathbf{h}\langle s, s \rangle$  的收敛需要什么条件. 假定  $\mathbf{R}(t)$  和  $\mathbf{h}^{s,s}(t)$  如(12.1.1)和(12.1.2)所定义, 改写  $\mathbf{R}(t)$  为

$$\mathbf{R}(t) = \mathbf{P}(t)/\omega(t) = \sum_k \sum_l \mathbf{a}_{kl} (t - \theta_k)^{-l}, \quad (12.1.7)$$

这里  $\mathbf{a}_{kl}$  为常向量,  $\omega(\theta_k) = 0, l$  为根  $\theta_k$  (可为复根) 之重数. 由多项式插值的余项定理<sup>[3]</sup>得

$$\mathbf{R}(t) - \mathbf{h}^{s,s}(t) = t^s (1-t)^s \mathbf{R}^{(2s)}(\theta)/(2s)!, \quad 0 \leq \theta \leq 1.$$

容易求出

$$\mathbf{R}^{(2s)}(t) = \sum_k \sum_l \mathbf{a}_{kl} ((l+2s-1)!/(l-1)!) (t - \theta_k)^{-l-2s}.$$

因而我们仅需决定, 对任何固定的  $k, l$ , 在什么条件下

$$\begin{aligned}
L_{kl}(\theta, t) &= \frac{(l+2s-1)!}{(2s)!(l-1)!} \left( \frac{t(1-t)}{(\theta-\theta_k)^2} \right)^s \frac{1}{(\theta-\theta_k)^l} \\
&= \prod_{j=0}^{2s-1} \left( 1 + \frac{l-1}{j+1} \right) \left( \frac{t(1-t)}{(\theta-\theta_k)^2} \right)^s \frac{1}{(\theta-\theta_k)^l} \rightarrow 0, \quad s \rightarrow \infty.
\end{aligned}$$

用  $\delta_k$  来表示复平面上, 点  $\theta_k$  与线段  $(0,0)-(1,0)$  之距离, 注意到

$$\prod_{j=0}^{2s-1} \left( 1 + \frac{l-1}{j+1} \right) = O(s^{l-1}),$$

$$\left| \frac{t(1-t)}{(\theta-\theta_k)^2} \right|^s \leq \left( \frac{1}{4\delta_k^2} \right)^s,$$

$$\left| \frac{1}{(\theta-\theta_k)^l} \right| \leq \frac{1}{\delta_k^l},$$

我们推知当

$$\delta_k > 1/2 \quad (12.1.8)$$

时,  $\mathbf{R}(t) - \mathbf{h}^{s,s}(t) \rightarrow \mathbf{0} (0 \leq t \leq 1), s \rightarrow \infty$ . 这样就得到

**定理 12.1.2** Hermite 逼近  $\mathbf{h}\langle s, s \rangle$  收敛到  $\mathbf{R}(t)$  的一个充分条件是  $\omega(t)$  的任何实根或复根  $\theta_k$  在复平面上的对应点到线段  $(0,0)-(1,0)$  上任何一点的距离大于  $1/2$  (见图 12.1.2).

同理可知  $\mathbf{h}\langle s, 0 \rangle$  和  $\mathbf{h}\langle 0, s \rangle$  逼近  $\mathbf{R}(t)$  能够收敛的充分条件是  $\delta_k > 1$ .

以上结论都基于传统的逼近论方法. 借助于 Hybrid 曲线这一工具我们可以得出更精密的  $\mathbf{h}\langle s, s \rangle$  收敛条件. 这是因为, Hybrid 逼近余项的表达式很简单, 而表面上看来迥然不同的  $\mathbf{h}$  逼近和  $\mathbf{H}$  逼近有着惊人的紧密联系.

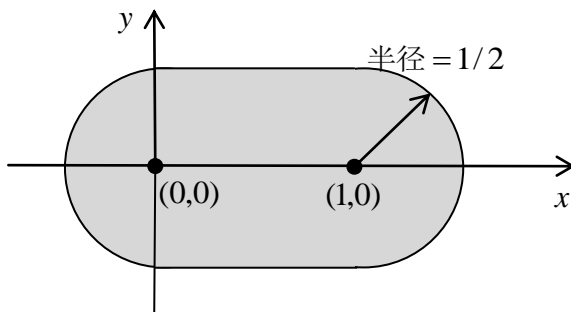


图 12.1.2 定理 12.1.2 中的收敛区域(围线之外)

### 12.1.3 $\mathbf{h}\langle r, p \rangle$ 逼近与 $\mathbf{H}\langle r, p \rangle$ 逼近的关系

本章将用统一的观点更好地研究当  $\lim_{p \rightarrow \infty} (r/p) = \alpha (\geq 0)$  时,  $\mathbf{h}\langle r, p \rangle$  和  $\mathbf{H}\langle r, p \rangle$  收敛到  $\mathbf{R}(t)$  的条件及逼近曲线的计算. 其中当  $r=0$  或  $p=0$  时即 Taylor 逼近, 当  $r=p$  时即最常用的逼近. 首先我们在以下两个定理中给出  $\mathbf{h}\langle r, p \rangle$  逼近与  $\mathbf{H}\langle r, p \rangle$  逼近的关系.

**定理 12.1.3** 若  $\mathbf{h}^{r,p}(t)$  和  $\tilde{\mathbf{H}}^{r,p}(t)$  分别由(12.1.2)和(12.1.6)定义, 则

$$\mathbf{h}_i^{r,p} = \begin{cases} \frac{i}{r+p-1} \mathbf{H}_{i-1}^{r-1,p-1} + \left( 1 - \frac{i}{r+p-1} \right) \mathbf{H}_i^{r-1,p-1}, & 0 \leq i \leq r+p-1, i \neq r-1, r, \\ \frac{r-1}{r+p-1} \mathbf{H}_{r-2}^{r-1,p-1} + \frac{p}{r+p-1} \mathbf{M}_0^{r-1,p-1}, & i = r-1, \\ \frac{r}{r+p-1} \mathbf{M}_m^{r-1,p-1} + \frac{p-1}{r+p-1} \mathbf{H}_r^{r-1,p-1}, & i = r, \end{cases} \quad (12.1.9)$$

$$\mathbf{H}_i^{r,p} = \frac{i}{r+p} \mathbf{h}_{i-1}^{r,p} + \left( 1 - \frac{i}{r+p} \right) \mathbf{h}_i^{r,p}, \quad 0 \leq i \leq r+p, i \neq r. \quad (12.1.10)$$

也就是说,  $\mathbf{h}^{r,p}(t)$  的升阶曲线与  $\tilde{\mathbf{H}}^{r,p}(t)$  仅相差一个控制顶点  $\mathbf{H}_r^{r,p}$ ,  $\tilde{\mathbf{H}}^{r-1,p-1}(t)$  的升阶曲线与  $\mathbf{h}^{r,p}(t)$  仅相差两个控制顶点  $\mathbf{h}_{r-1}^{r,p}$  与  $\mathbf{h}_r^{r,p}$ .

证 因 Bézier 曲线关于  $t$  和  $1-t$  是对称的, 仅就  $i \leq r-1$  证明(12.1.9), (12.1.10)之证明因类似而略去. 由  $\mathbf{H}^{r-1,p-1}(t) \equiv \mathbf{R}(t)$  得到

$$d^i \mathbf{h}^{r,p}(0)/dt^i = d^i \tilde{\mathbf{H}}^{r-1,p-1}(0)/dt^i, \quad i = 0, 1, \dots, r-1.$$

展开上式两端可推出

$$\begin{aligned} & \frac{(r+p-1)!}{(r+p-1-i)!} \sum_{k=0}^i (-1)^k \binom{i}{k} \mathbf{h}_{i-k}^{r,p} \\ &= \frac{(r+p-2)!}{(r+p-2-i)!} \sum_{k=1}^i (-1)^k \binom{i}{k} \mathbf{H}_{i-k}^{r-1,p-1} + \frac{(r+p-2)!}{(r+p-2-i)!} \times \begin{cases} \mathbf{H}_i^{r-1,p-1}, & 0 \leq i \leq r-2, \\ \mathbf{M}_0^{r-1,p-1}, & i = r-1. \end{cases} \end{aligned}$$

利用上式, 应用数学归纳法于序号  $i$  可证得(12.1.9). 证毕.

**定理 12.1.4** 若  $\mathbf{h}^{r,p}(t)$  和  $\mathbf{H}^{r,p}(t)$  分别由(12.1.2)、(12.1.4)和(12.1.5)所定义, 则当移动控制顶点  $\mathbf{H}_r^{r,p}(t)$  被它的一个固定的控制顶点  $\mathbf{M}_0^{r,p}$  或  $\mathbf{M}_m^{r,p}$  来代替时, 所得到的曲线  $\tilde{\mathbf{H}}^{r,p}(t)$  恰为  $\mathbf{h}^{r+1,p}(t)$  或  $\mathbf{h}^{r,p+1}(t)$ . 换言之,  $\mathbf{R}(t)$  的 Hermite 逼近曲线是 Hybrid 逼近曲线的特例. 即

$$\tilde{\mathbf{H}}^{r,p}(t) = \begin{cases} \mathbf{h}^{r+1,p}(t), & \text{当取 } \mathbf{H}_r^{r,p} = \mathbf{M}_0^{r,p}, \\ \mathbf{h}^{r,p+1}(t), & \text{当取 } \mathbf{H}_r^{r,p} = \mathbf{M}_m^{r,p}. \end{cases} \quad (12.1.11)$$

证 仅就  $\mathbf{h}^{r+1,p}(t)$  证明. 容易算得

$$\begin{cases} \frac{d^i B_r^{r+p}(0)}{dt^i} = \begin{cases} 0, & i = 0, 1, \dots, r-1, \\ \frac{(r+p)!}{(r+p-i)!} (-1)^{i-r} \binom{i}{i-r}, & i = r, r+1, \dots, r+p, \end{cases} \\ \frac{d^j B_r^{r+p}(1)}{dt^j} = \begin{cases} 0, & j = 0, 1, \dots, p-1, \\ \frac{(r+p)!}{(r+p-j)!} (-1)^{j-p} \binom{j}{j-p}, & j = p, p+1, \dots, p+r. \end{cases} \end{cases} \quad (12.1.12)$$

置逼近余项

$$\mathbf{ER}^{r,p}(t) = \mathbf{R}(t) - \tilde{\mathbf{H}}^{r,p}(t) = \mathbf{H}^{r,p}(t) - \tilde{\mathbf{H}}^{r,p}(t) = (\mathbf{H}_r^{r,p}(t) - \mathbf{H}_r^{r,p}) B_r^{r+p}(t), \quad (12.1.13)$$

则由 Leibniz 公式我们有

$$d^i \mathbf{ER}^{r,p}(0)/dt^i = \mathbf{0}, \quad i = 0, 1, \dots, r-1; \quad d^j \mathbf{ER}^{r,p}(1)/dt^j = \mathbf{0}, \quad j = 0, 1, \dots, p-1.$$

当 (12.1.11) 第一式的条件满足时又有

$$d^r \mathbf{ER}^{r,p}(0)/dt^r = (r+p)! (\mathbf{M}_0^{r,p} - \mathbf{H}_r^{r,p}) / p! = \mathbf{0}.$$

因这时的  $\tilde{\mathbf{H}}^{r,p}(t)$  和  $\mathbf{h}^{r+1,p}(t)$  具有相同的次数  $r+p$ , 根据 Hermite 逼近多项式的唯一性知  $\tilde{\mathbf{H}}^{r,p}(t) \equiv \mathbf{h}^{r+1,p}(t)$ . 证毕.

根据文献[2], 对 Hybrid 曲线的控制顶点, 包括移动控制顶点  $\mathbf{H}_r^{r,p}(t)$  的控制顶点, 我们有由  $\mathbf{R}(t)$  计算  $\mathbf{H}^{r,p}(t)$  的

**算法 12.1.1** (由  $\mathbf{R}(t)$  计算  $\mathbf{H}^{r,p}(t)$ )

$$\begin{aligned} \mathbf{H}_0^{r,p} &= \mathbf{R}_0, \\ \mathbf{H}_i^{r,p} &= \mathbf{R}_0 + \left( \binom{r+p}{i} \omega_0 \right)^{-1} \sum_{k=1}^{\min(m,i)} \binom{m}{k} \binom{r+p}{i-k} \omega_k (\mathbf{R}_k - \mathbf{H}_{i-k}^{r,p}), \quad i = 1, 2, \dots, r-1, \\ \mathbf{H}_{r+p}^{r,p} &= \mathbf{R}_m, \\ \mathbf{H}_i^{r,p} &= \mathbf{R}_m + \left( \binom{r+p}{i} \omega_m \right)^{-1} \sum_{k=\max(0, i+m-r-p)}^{m-1} \binom{m}{k} \binom{r+p}{i+m-k} \omega_k (\mathbf{R}_k - \mathbf{H}_{i+m-k}^{r,p}), \\ & \quad i = r+p-1, r+p-2, \dots, r+1, \\ \mathbf{M}_k^{r,p} &= \mathbf{R}_k + \left( \binom{m}{k} \binom{r+p}{r} \omega_k \right)^{-1} \sum_{\substack{i=\max(0, k-p) \\ i \neq k}}^{\min(k+r, m)} \binom{m}{i} \binom{r+p}{k+r-i} \omega_i (\mathbf{R}_i - \mathbf{H}_{k+r-i}^{r,p}), \\ & \quad k = 0, 1, \dots, m. \end{aligned}$$

应用算法 12.1.1 和定理 12.1.4, 对 Hermite 逼近曲线的控制顶点, 可以得到如下两种不同递推顺序的算法.

**算法 12.1.2** (由  $R(t)$  计算  $h^{r,p}(t)$ )

$$\begin{aligned}
h_0^{r,p} &= R_0, \\
h_i^{r,p} &= R_0 + \left( \binom{r+p-1}{i} \omega_0 \right)^{-1} \sum_{k=1}^{\min(m,i)} \binom{m}{k} \binom{r+p-1}{i-k} \omega_k (R_k - h_{i-k}^{r,p}), \quad i=1,2,\dots,r-2, \\
h_{r+p-1}^{r,p} &= R_m, \\
h_i^{r,p} &= R_m + \left( \binom{r+p-1}{i} \omega_m \right)^{-1} \sum_{k=\max(0,i+m-r+1)}^{m-1} \binom{m}{k} \binom{r+p-1}{i+m-k} \omega_k (R_k - h_{i+m-k}^{r,p}), \\
&\quad i=r+p-2, r+p-3, \dots, r, \\
h_{r-1}^{r,p} &= R_0 + \left( \binom{r+p-1}{r-1} \omega_0 \right)^{-1} \sum_{k=1}^{m-1} \binom{m}{k} \binom{r+p-1}{r-1-k} \omega_k (R_k - h_{r-1-k}^{r,p}).
\end{aligned}$$

**算法 12.1.3** (由  $R(t)$  计算  $h^{r,p}(t)$ )

$$\begin{aligned}
h_0^{r,p} &= R_0, \\
h_i^{r,p} &= R_0 + \left( \binom{r+p-1}{i} \omega_0 \right)^{-1} \sum_{k=1}^{\min(m,i)} \binom{m}{k} \binom{r+p-1}{i-k} \omega_k (R_k - h_{i-k}^{r,p}), \quad i=1,2,\dots,r-1, \\
h_{r+p-1}^{r,p} &= R_m, \\
h_i^{r,p} &= R_m + \left( \binom{r+p-1}{i} \omega_m \right)^{-1} \sum_{k=\max(0,i+m-r+1)}^{m-1} \binom{m}{k} \binom{r+p-1}{i+m-k} \omega_k (R_k - h_{i+m-k}^{r,p}), \\
&\quad i=r+p-2, r+p-3, \dots, r+1, \\
h_r^{r,p} &= R_m + \left( \binom{r+p-1}{r} \omega_m \right)^{-1} \sum_{k=m-r+1}^m \binom{m}{k} \binom{r+p-1}{r+m-k} \omega_k (R_k - h_{r+m-k}^{r,p}).
\end{aligned}$$

## 12.2 $h\langle r, p \rangle$ 逼近与 $H\langle r, p \rangle$ 逼近的余项

为了得到  $h\langle r, p \rangle$  逼近与  $H\langle r, p \rangle$  逼近的收敛条件, 必须求出逼近的误差项. 对此我们给出以下四个定理, 其中后两个定理基于定理 12.1.4.

**定理 12.2.1**  $h\langle r, p \rangle$  的余项和余项的界分别是

$$R(t) - h^{r,p}(t) = B_{r-1}^{r+p-2}(t) \hat{M}^{r-1,p-1}(t) / \omega(t), \quad (12.2.1)$$

$$\|R(t) - h^{r,p}(t)\| \leq (\omega_{\max} / W_{\min}) \max_{\substack{0 \leq k \leq m \\ l=0,m}} \|M_k^{r-1,p-1} - M_l^{r-1,p-1}\|, \quad (12.2.2)$$

这里  $\hat{M}^{r-1,p-1}(t)$  是  $m+1$  次 B 样条曲线,

$$\hat{M}^{r-1,p-1}(t) = \sum_{k=0}^{m+1} B_k^{m+1}(t) \hat{M}_k^{r-1,p-1}, \quad (12.2.3)$$

$$\begin{aligned}
\hat{M}_k^{r-1,p-1} &= \frac{k}{m+1} \omega_{k-1} (M_{k-1}^{r-1,p-1} - M_m^{r-1,p-1}) + \left( 1 - \frac{k}{m+1} \right) \omega_i (M_k^{r-1,p-1} - M_0^{r-1,p-1}), \\
&\quad k=0,1,\dots,m+1,
\end{aligned} \quad (12.2.4)$$

$$\omega_{\max} = \max_{0 \leq k \leq m} |\omega_k|, \quad W_{\min} = \min_{0 \leq t \leq 1} |\omega(t)|. \quad (12.2.5)$$

证 对  $H^{r-1,p-1}(t)$  升阶并利用(12.1.9), 我们得到

$$\begin{aligned}
H^{r-1,p-1}(t) &= \sum_{\substack{i=0 \\ i \neq r-1, r}}^{r+p-1} B_i^{r+p-1}(t) h_i^{r,p} + B_{r-1}^{r+p-1}(t) \left( \frac{r-1}{r+p-1} H_{r-2}^{r-1,p-1} + \frac{p}{r+p-1} H_{r-1}^{r-1,p-1}(t) \right) \\
&\quad + B_r^{r+p-1}(t) \left( \frac{r}{r+p-1} H_{r-1}^{r-1,p-1}(t) + \frac{p-1}{r+p-1} H_r^{r-1,p-1} \right).
\end{aligned}$$

因而

$$\begin{aligned} \mathbf{R}(t) - \mathbf{h}^{r,p}(t) &= \mathbf{H}^{r-1,p-1}(t) - \mathbf{h}^{r,p}(t) \\ &= B_{r-1}^{r+p-1}(t) \frac{p}{r+p-1} (\mathbf{H}_{r-1}^{r-1,p-1}(t) - \mathbf{M}_0^{r-1,p-1}) + B_r^{r+p-1}(t) \frac{r}{r+p-1} (\mathbf{H}_{r-1}^{r-1,p-1}(t) - \mathbf{M}_m^{r-1,p-1}). \end{aligned}$$

化简上式即得(12.2.1), 注意到下式即得(12.2.2):

$$\text{Max}_{0 \leq t \leq 1} \|\hat{\mathbf{M}}^{r-1,p-1}(t)\| \leq \text{Max}_{1 \leq k \leq m} \|\hat{\mathbf{M}}_k^{r-1,p-1}\| \leq \omega_{\max} \text{Max}_{\substack{0 \leq k \leq m \\ l=0,m}} \|\mathbf{M}_k^{r-1,p-1} - \mathbf{M}_l^{r-1,p-1}\|.$$

**定理 12.2.2** 按(12.2.5)定义  $\omega_{\max}, W_{\min}$ , 则  $\mathbf{H}\langle r, p \rangle$  的余项和余项的界分别是

$$\mathbf{R}(t) - \tilde{\mathbf{H}}^{r,p}(t) = B_r^{r+p}(t)(\mathbf{H}_r^{r,p}(t) - \mathbf{H}_r^{r,p}), \quad (12.2.6)$$

$$\|\mathbf{R}(t) - \tilde{\mathbf{H}}^{r,p}(t)\| \leq (2\omega_{\max}/W_{\min}) \text{Max}_{0 \leq k \leq m} \|\mathbf{M}_k^{r,p} - \mathbf{M}_0^{r,p}\|. \quad (12.2.7)$$

证 (12.2.6)即(12.1.13); 设  $d(\Omega)$  为点集  $\Omega$  的直径, (12.2.7)可从下式推得:

$$\text{Max}_{0 \leq k \leq m} \|\mathbf{M}_k^{r,p} - \mathbf{M}_0^{r,p}\| \leq d(\{\mathbf{M}_k^{r,p}\}_{k=0}^m) \leq 2 \text{Max}_{1 \leq k \leq m} \|\mathbf{M}_k^{r,p} - \mathbf{M}_0^{r,p}\|. \quad (12.2.8)$$

**定理 12.2.3**  $\mathbf{h}\langle r, p \rangle$  的余项和余项的界分别是

$$\mathbf{R}(t) - \mathbf{h}^{r,p}(t) = (mr/(r+p))B_r^{r+p}(t)\tilde{\mathbf{M}}^{r-1,p}(t)/\omega(t), \quad (12.2.9)$$

$$\|\mathbf{R}(t) - \mathbf{h}^{r,p}(t)\| \leq (mr\tilde{\omega}_{\max}/((r+p)W_{\min})) \text{Max}_{1 \leq k \leq m} \|\mathbf{M}_k^{r-1,p} - \mathbf{M}_0^{r-1,p}\|, \quad (12.2.10)$$

这里  $W_{\min}$  如(12.2.5)所示,  $\tilde{\mathbf{M}}^{r-1,p}(t)$  是  $m-1$  次 B ézier 曲线,

$$\tilde{\mathbf{M}}^{r-1,p}(t) = \sum_{k=0}^{m-1} B_k^{m-1}(t)\omega_{k+1}(\mathbf{M}_{k+1}^{r-1,p} - \mathbf{M}_0^{r-1,p})/(k+1), \quad \tilde{\omega}_{\max} = \text{Max}_{1 \leq k \leq m} |\omega_k/k|. \quad (12.2.11)$$

证 按定理 12.1.4 可得

$$\begin{aligned} \mathbf{R}(t) - \mathbf{h}^{r,p}(t) &= \mathbf{H}^{r-1,p}(t) - \tilde{\mathbf{H}}^{r-1,p}(t) = B_{r-1}^{r+p-1}(t)(\mathbf{H}_{r-1}^{r-1,p}(t) - \mathbf{M}_0^{r-1,p}) \\ &= B_{r-1}^{r+p-1}(t) \sum_{k=0}^m B_k^m(t)\omega_k(\mathbf{M}_k^{r-1,p} - \mathbf{M}_0^{r-1,p})/\omega(t), \end{aligned}$$

由此可得(12.2.9), 进而得到(12.2.10). 证毕.

**定理 12.2.4**  $\mathbf{h}\langle r, p \rangle$  的余项和余项的界分别是

$$\mathbf{R}(t) - \mathbf{h}^{r,p}(t) = (mp/(r+p))B_r^{r+p}(t)\tilde{\tilde{\mathbf{M}}}^{r,p-1}(t)/\omega(t), \quad (12.2.12)$$

$$\|\mathbf{R}(t) - \mathbf{h}^{r,p}(t)\| \leq (mp\tilde{\tilde{\omega}}_{\max}/((r+p)W_{\min})) \text{Max}_{0 \leq k \leq m-1} \|\mathbf{M}_k^{r,p-1} - \mathbf{M}_m^{r,p-1}\|, \quad (12.2.13)$$

这里  $W_{\min}$  如(12.2.5)所示,  $\tilde{\tilde{\mathbf{M}}}^{r,p-1}(t)$  是  $m-1$  次 B ézier 曲线,

$$\tilde{\tilde{\mathbf{M}}}^{r,p-1}(t) = \sum_{k=0}^{m-1} B_k^{m-1}(t)\omega_{k+1}(\mathbf{M}_k^{r,p-1} - \mathbf{M}_m^{r,p-1})/(m-k), \quad \tilde{\tilde{\omega}}_{\max} = \text{Max}_{0 \leq k \leq m-1} |\omega_k/(m-k)|. \quad (12.2.14)$$

### 12.3 h 逼近曲线 $\mathbf{h}^{r,p}(t)$ 与 Hybrid 曲线 $\mathbf{H}^{r,p}(t)$

由上节可知, 为了得到  $\mathbf{h}\langle r, p \rangle$  或  $\mathbf{H}\langle r, p \rangle$  的收敛条件, 关键是估计  $\mathbf{M}_k^{r,p} - \mathbf{M}_0^{r,p}$ . 因此需要求得  $\mathbf{M}_k^{r,p} - \mathbf{M}_0^{r,p}$  关于  $r$  和  $p$  的递推式. 另一方面, 虽然根据算法 12.1.1-12.1.3 可以直接由已知曲线  $\mathbf{R}(t)$  计算相应的 Hermite 逼近曲线  $\mathbf{h}^{r,p}(t)$  或 Hybrid 曲线  $\mathbf{H}^{r,p}(t)$ , 但至少需要花费  $O((r+p)^2)$  的计算时间. 而由低次 Hermite 曲线或低次 Hybrid 曲线的控制顶点, 递推计算高次曲线的控制顶点, 却只要求  $O(r+p)$  的计算时间. 由此看来, 这种公式具有很大的作用. 下面我们给出四个算法.

**算法 12.3.1** (由  $\mathbf{H}^{r,p}(t)$  计算  $\mathbf{H}^{r+1,p}(t)$ )

$$\begin{cases} \mathbf{H}_i^{r+1,p} = \frac{i}{r+p+1} \mathbf{H}_{i-1}^{r,p} + \left(1 - \frac{i}{r+p+1}\right) \mathbf{H}_i^{r,p}, & i = 0, 1, \dots, r-1, r+2, \dots, r+p+1, \\ \mathbf{H}_r^{r+1,p} = \frac{r}{r+p+1} \mathbf{H}_{r-1}^{r,p} + \frac{p+1}{r+p+1} \mathbf{M}_0^{r,p}, \end{cases} \quad (12.3.1)$$

$$\mathbf{M}_k^{r+1,p} = \frac{r+1}{r+p+1} (-g_k \mathbf{M}_0^{r,p} + \mathbf{M}_k^{r,p} + g_k \mathbf{M}_{k+1}^{r,p}) + \frac{p}{r+p+1} \mathbf{H}_{r+1}^{r,p}, \quad k = 0, 1, \dots, m, \quad (12.3.2)$$

$$g_k = \frac{(m-k)\omega_{k+1}}{(k+1)\omega_k}, \quad k = 0, 1, \dots, m-1; \quad g_m = g_{-1}^{-1} = 0, \quad (12.3.3)$$

$$\begin{pmatrix} \mathbf{M}_1^{r+1,p} - \mathbf{M}_0^{r+1,p} \\ \vdots \\ \mathbf{M}_m^{r+1,p} - \mathbf{M}_0^{r+1,p} \end{pmatrix} = \frac{r+1}{r+p+1} \bar{\mathbf{V}}_m^{10} \begin{pmatrix} \mathbf{M}_1^{r,p} - \mathbf{M}_0^{r,p} \\ \vdots \\ \mathbf{M}_m^{r,p} - \mathbf{M}_0^{r,p} \end{pmatrix}, \quad (12.3.4)$$

这里

$$\bar{\mathbf{V}}_1^{10} = 1 - g_0, \quad \bar{\mathbf{V}}_m^{10} = \begin{pmatrix} 1-g_0 & g_1 & 0 & 0 & \cdots & 0 & 0 \\ -g_0 & 1 & g_2 & 0 & \cdots & 0 & 0 \\ -g_0 & 0 & 1 & g_3 & \cdots & 0 & 0 \\ \vdots & \vdots & \vdots & \vdots & \vdots & \vdots & \vdots \\ -g_0 & 0 & 0 & 0 & \cdots & 1 & g_{m-1} \\ -g_0 & 0 & 0 & 0 & \cdots & 0 & 1 \end{pmatrix}. \quad (12.3.5)$$

为了得到以上公式, 对等式(12.1.4)右端第一项乘以 \$(1-t+t)\$ 进行升阶, 同时把第二项中的 \$\mathbf{H}\_r^{r,p}(t)\$ 化作 \$1+0\$ 次 Hybrid 曲线, 即可求得一条 \$m\$ 次有理 B ézier 曲线 \$\bar{\mathbf{H}}\_1^{1,0}(t)\$, 使得

$$\mathbf{H}_r^{r,p}(t) = B_0^1(t) \mathbf{M}_0^{r,p} + B_1^1(t) \bar{\mathbf{H}}_1^{1,0}(t),$$

$$\begin{aligned} \mathbf{H}^{r,p}(t) &= \sum_{\substack{i=0 \\ i \neq r, r+1}}^{r+p+1} B_i^{r+p+1}(t) \left[ \frac{i}{r+p+1} \mathbf{H}_{i-1}^{r,p} + \left(1 - \frac{i}{r+p+1}\right) \mathbf{H}_i^{r,p} \right] \\ &\quad + B_r^{r+p+1}(t) (r/(r+p+1)) \mathbf{H}_{r-1}^{r,p} + B_r^{r+p+1}(t) ((p+1)/(r+p+1)) \mathbf{M}_0^{r,p} \\ &\quad + B_{r+1}^{r+p+1}(t) (p/(r+p+1)) \mathbf{H}_{r+1}^{r,p} + B_{r+1}^{r+p+1}(t) ((r+1)/(r+p+1)) \bar{\mathbf{H}}_1^{1,0}(t). \end{aligned}$$

把上式代入恒等式

$$\mathbf{H}^{r,p}(t) \equiv \mathbf{H}^{r+1,p}(t) = \sum_{i=0, i \neq r+1}^{r+p+1} B_i^{r+p+1}(t) \mathbf{H}_i^{r+1,p} + B_{r+1}^{r+p+1}(t) \mathbf{H}_{r+1}^{r+1,p}(t)$$

的左端, 根据定理 12.1.1 立即得到(12.3.1)和下式:

$$\begin{aligned} \mathbf{H}_r^{r+1,p}(t) &= ((r+1)/(r+p+1)) \bar{\mathbf{H}}_1^{1,0}(t) + (p/(r+p+1)) \mathbf{H}_{r+1}^{r,p} \\ &= ((r+1)/(r+p+1)) (\mathbf{H}_r^{r,p}(t) - (1-t) \mathbf{M}_0^{r,p}) / t + (p/(r+p+1)) \mathbf{H}_{r+1}^{r,p}. \end{aligned}$$

把曲线

$$\mathbf{H}_r^{r,p}(t) - \mathbf{M}_0^{r,p} = \sum_{k=0}^m B_k^m(t) \omega_k (\mathbf{M}_k^{r,p} - \mathbf{M}_0^{r,p}) \Big/ \sum_{k=0}^m B_k^m(t) \omega_k$$

的分子部分升阶, 把左端的 \$\mathbf{H}\_r^{r+1,p}(t)\$ 也按(12.1.5)定义写出, 由上式就得到

$$\mathbf{M}_k^{r+1,p} = \frac{r+1}{r+p+1} [\mathbf{M}_0^{r,p} + (\mathbf{M}_k^{r,p} - \mathbf{M}_0^{r,p}) + g_k (\mathbf{M}_{k+1}^{r,p} - \mathbf{M}_0^{r,p})] + \frac{p}{r+p+1} \mathbf{H}_{r+1}^{r,p}, \quad k = 0, 1, \dots, m.$$

于是就推出(12.3.2)和(12.3.4).

**算法 12.3.2** (由 \$\mathbf{H}^{r,p}(t)\$ 计算 \$\mathbf{H}^{r,p+1}(t)\$ )

$$\begin{cases} \mathbf{H}_i^{r,p+1} = \frac{i}{r+p+1} \mathbf{H}_{i-1}^{r,p} + \left(1 - \frac{i}{r+p+1}\right) \mathbf{H}_i^{r,p}, & i = 0, 1, \dots, r-1, r+2, \dots, r+p+1, \\ \mathbf{H}_{r+1}^{r,p+1} = \frac{r+1}{r+p+1} \mathbf{M}_m^{r,p} + \frac{p}{r+p+1} \mathbf{H}_{r+1}^{r,p}, \end{cases} \quad (12.3.6)$$

$$\mathbf{M}_k^{r,p+1} = \frac{p+1}{r+p+1} \left( \frac{1}{g_{k-1}} \mathbf{M}_{k-1}^{r,p} + \mathbf{M}_k^{r,p} - \frac{1}{g_{k-1}} \mathbf{M}_m^{r,p} \right) + \frac{r}{r+p+1} \mathbf{H}_{r-1}^{r,p}, \quad (12.3.7)$$

$k = 0, 1, \dots, m,$

$$\begin{pmatrix} \mathbf{M}_1^{r,p+1} - \mathbf{M}_0^{r,p+1} \\ \vdots \\ \mathbf{M}_m^{r,p+1} - \mathbf{M}_0^{r,p+1} \end{pmatrix} = \frac{p+1}{r+p+1} \bar{\mathbf{V}}_m^{01} \begin{pmatrix} \mathbf{M}_1^{r,p} - \mathbf{M}_0^{r,p} \\ \vdots \\ \mathbf{M}_m^{r,p} - \mathbf{M}_0^{r,p} \end{pmatrix}, \quad (12.3.8)$$

这里  $g_k$  如(12.3.3)所定义,

$$\bar{\mathbf{V}}_1^{01} = 1 - \frac{1}{g_0}, \quad \bar{\mathbf{V}}_m^{01} = \begin{pmatrix} 1 & 0 & 0 & 0 & \cdots & 0 & -g_{m-1}^{-1} \\ g_0^{-1} & 1 & 0 & 0 & \cdots & 0 & -g_{m-1}^{-1} \\ 0 & g_1^{-1} & 1 & 0 & \cdots & 0 & -g_{m-1}^{-1} \\ \vdots & \vdots & \vdots & \vdots & \vdots & \vdots & \vdots \\ 0 & 0 & 0 & 0 & \cdots & 1 & -g_{m-1}^{-1} \\ 0 & 0 & 0 & 0 & \cdots & g_{m-2}^{-1} & 1 - g_{m-1}^{-1} \end{pmatrix}. \quad (12.3.9)$$

把算法 12.3.1 和 12.3.2 联合就得到由  $\mathbf{H}^{r,p}(t)$  计算  $\mathbf{H}^{r+1,p+1}(t)$  的公式, 以此为基础进一步可以得出

**算法 12.3.3** (移动控制顶点  $\mathbf{H}_r^{r,p}(t)$  的控制顶点间距的递推计算)

$$\begin{pmatrix} \mathbf{M}_1^{r+1,p+1} - \mathbf{M}_0^{r+1,p+1} \\ \vdots \\ \mathbf{M}_m^{r+1,p+1} - \mathbf{M}_0^{r+1,p+1} \end{pmatrix} = \frac{2(r+1)(p+1)}{(r+p+2)(r+p+1)} \bar{\mathbf{V}}_m^{11} \begin{pmatrix} \mathbf{M}_1^{r,p} - \mathbf{M}_0^{r,p} \\ \vdots \\ \mathbf{M}_m^{r,p} - \mathbf{M}_0^{r,p} \end{pmatrix}, \quad (12.3.10)$$

$r, p = 0, 1, 2, \dots,$

$$\bar{\mathbf{V}}_1^{11} = (2 - g_0 - g_0^{-1})/2,$$

$$\bar{\mathbf{V}}_m^{11} = \frac{1}{2} \begin{pmatrix} 2 - g_0 & g_1 & 0 & \cdots & 0 & 0 & -g_0^{-1} \\ g_1^{-1} - g_0 & 2 & g_2 & \cdots & 0 & 0 & -g_1^{-1} \\ -g_0 & g_2^{-1} & 2 & \cdots & 0 & 0 & -g_2^{-1} \\ \vdots & \vdots & \vdots & \vdots & \vdots & \vdots & \vdots \\ -g_0 & 0 & 0 & \cdots & 2 & g_{m-2} & -g_{m-3}^{-1} \\ -g_0 & 0 & 0 & \cdots & g_{m-2}^{-1} & 2 & g_{m-1} - g_{m-2}^{-1} \\ -g_0 & 0 & 0 & \cdots & 0 & g_{m-1}^{-1} & 2 - g_{m-1}^{-1} \end{pmatrix}. \quad (12.3.11)$$

这里  $g_k$  如(12.3.3)所定义.

**算法 12.3.4** (由  $\mathbf{h}^{r-1,p}(t)$  或  $\mathbf{h}^{r,p-1}(t)$  计算  $\mathbf{h}^{r,p}(t)$ )

$$\begin{cases} \mathbf{h}_i^{r,p} = \frac{i}{r+p-1} \mathbf{h}_{i-1}^{r-1,p} + \left(1 - \frac{i}{r+p-1}\right) \mathbf{h}_i^{r-1,p}, & i = 0, 1, \dots, r-2, r, \dots, r+p-1, \\ \mathbf{h}_{r-1}^{r,p} = \mathbf{M}_0^{r-1,p}, \end{cases} \quad (12.3.12)$$

$$\begin{cases} \mathbf{h}_i^{r,p} = \frac{i}{r+p-1} \mathbf{h}_{i-1}^{r,p-1} + \left(1 - \frac{i}{r+p-1}\right) \mathbf{h}_i^{r,p-1}, & i = 0, 1, \dots, r-1, r+1, \dots, r+p-1, \\ \mathbf{h}_r^{r,p} = \mathbf{M}_m^{r,p-1}. \end{cases} \quad (12.3.13)$$

由以上两式可知, 曲线  $\mathbf{h}^{r-1,p}(t)$  或曲线  $\mathbf{h}^{r,p-1}(t)$  的升阶曲线与曲线  $\mathbf{h}^{r,p}(t)$  仅相差一个控制顶点. 把这两式联合, 可得到由  $\mathbf{h}^{r-1,p-1}(t)$  计算  $\mathbf{h}^{r,p}(t)$  的递推公式.



## 12.4 $h\langle s, s \rangle$ 逼近与 $H\langle s, s \rangle$ 逼近的收敛条件

本节考察常用的  $H$  逼近和  $h$  逼近, 即  $r = p = s$  的情形. 由定理 12.2.1–12.2.4 可知, 若

$$\lim_{s \rightarrow \infty} (M_k^{s,s} - M_0^{s,s}) = 0, \quad k = 1, 2, \dots, m, \quad (12.4.1)$$

则  $h^{s,s}(t)$  和  $\tilde{H}^{s,s}(t)$  必同时在  $[0, 1]$  上一致收敛到  $R(t)$ .

**定理 12.4.1** 设  $\bar{V}_m^{11}$  如(12.3.11)所定义,  $\lambda_1^{11}, \lambda_2^{11}, \dots, \lambda_m^{11}$  是矩阵  $\bar{V}_m^{11}$  的特征根 (允许有等根), 则

$$|\lambda_k^{11}| < 2, \quad k = 1, 2, \dots, m \quad (12.4.2)$$

是  $h^{s,s}(t)$  和  $\tilde{H}^{s,s}(t)$  收敛到  $R(t)$  的一个充分条件. 特别, 当  $m = 1$  时是充要条件.

证 按递推式(12.3.10)并注意到  $H^{0,0}(t) \equiv H_0^{00}(t) = R(t)$ , 我们有

$$\begin{pmatrix} M_1^{s,s} - M_0^{s,s} \\ \vdots \\ M_m^{s,s} - M_0^{s,s} \end{pmatrix} = \frac{s!}{(2s-1)!!} (\bar{V}_m^{11})^s \begin{pmatrix} R_1 - R_0 \\ \vdots \\ R_m - R_0 \end{pmatrix}. \quad (12.4.3)$$

今设  $\bar{V}_m^{11} = Q_m^{11} J_m^{11} (Q_m^{11})^{-1}$ , 这里  $J_m^{11}$  是矩阵  $\bar{V}_m^{11}$  的 Jordan 标准形<sup>[4,5]</sup>, 而  $Q_m^{11}$  是  $m \times m$  阶可逆阵. 利用 Stirling<sup>[6]</sup> 公式可知

$$s!/(2s-1)!! = 2^s s!^2/(2s)! = O(\sqrt{s}/2^s) \quad (12.4.4)$$

因为

$$\lim_{s \rightarrow \infty} 2^{-s} \sqrt{s} (J_m^{11})^s = 0 \quad (12.4.5)$$

当且仅当  $|\lambda_k^{11}| < 2, k = 1, 2, \dots, m$ , 依据(12.4.2)得证充分性成立.

对于  $m = 1$  的情况,  $\bar{V}_m^{11}$  的特征根是

$\lambda_1^{11} = (2 - g_0 - g_0^{-1})/2$ , 而  $h\langle s, s \rangle$  逼近的余项是

$$\begin{aligned} R(t) - h^{s,s}(t) &= B_{s-1}^{2s-2}(t) B_1^2(t) (\omega_1 - \omega_0) (M_1^{s-1,s-1} - M_0^{s-1,s-1}) / (2\omega(t)) \\ &= B_{s-1}^{2s-2}(t) B_1^2(t) (\lambda_1^{11})^{s-1} ((s-1)!/(2s-3)!!) (\omega_1 - \omega_0) (R_1 - R_0) / (2\omega(t)). \end{aligned} \quad (12.4.6)$$

今假定  $(\omega_1 - \omega_0)(R_1 - R_0) \neq 0$ , 这意味着  $R(t)$  是真正的一次有理曲线, 注意到(12.4.4)和

$$\max_{0 \leq t \leq 1} B_{s-1}^{2s-2}(t) = \left( \frac{2s-2}{s-1} \right) \left( \frac{1}{2} \right)^{2s-2} = O\left( (\sqrt{s})^{-1} \right), \quad (12.4.7)$$

就可推知  $h^{s,s}(t)$  收敛到  $R(t)$  当且仅当  $|\lambda_1^{11}| < 2$ . 同理可证  $|\lambda_1^{11}| < 2$  也是  $\tilde{H}^{s,s}(t)$  收敛到  $R(t)$  的必要条件. 证毕.

把  $m = 1$  时对收敛性态分析的结果和传统的逼近论技术相结合, 可得到更有趣的结果.

**定理 12.4.2**  $h^{s,s}(t)$  和  $\tilde{H}^{s,s}(t)$  收敛到  $R(t)$ , 当且仅当多项式  $\omega(t)$  的所有的根  $\theta_k$  均满足

$$|\theta_k(1 - \theta_k)| > 1/4. \quad (12.4.8)$$

换言之, 所有的根均位于区域  $D = \{\theta \mid |\theta(1 - \theta)| \leq 1/4\}$  之外 (见图 12.4.1).

证 当  $m = 1$ ,  $\theta_0 = \omega_0/(\omega_0 - \omega_1)$ ,  $\bar{V}_1^{11} = 1/(2\theta_0(1 - \theta_0))$ , 由定理 12.4.1 知(12.4.8)成立.

对于  $m > 1$  之情况, 把  $R(t)$  写作(12.1.7)的形式, 若  $\omega(t)$  的根均是单重根, 由(12.4.6), 知  $h\langle s, s \rangle$  逼近的余项是

$$R(t) - h^{s,s}(t) = \sum_k B_{s-1}^{2s-2}(t) B_1^2(t) ((s-1)!/(2s-3)!!) a_k (2\theta_k(1 - \theta_k))^{1-s} / \omega_k(t).$$

由此可知  $h^{s,s}(t) \rightarrow R(t)$  当且仅当(12.4.8)成立. 若  $\omega(t)$  的根含有一些重根, 证明可由计算误

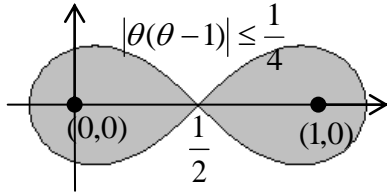


图 12.4.1 定理 12.4.2 中的发散区域

差项并作估计而得到. 证毕.

设图 12.1.2 中的阴影区域为  $D_0$ , 易见  $D \subset D_0$ , 因而条件(12.4.8)优于从传统方法得到的定理 12.1.2 中的条件(12.1.8).

## 12.5 低次 $h\langle s, s \rangle$ 逼近与 $H\langle s, s \rangle$ 逼近的收敛准则

### 12.5.1 一次有理曲线多项式逼近收敛的充要条件

在 CAGD 中最常用到的有理 Bézier 曲线是次数  $m = 1, 2, 3$ . 对  $m = 1$  的情形, 由上节可知,  $h\langle s, s \rangle$  和  $H\langle s, s \rangle$  一致收敛到  $R(t)$  的充要条件是

$$3 - 2\sqrt{2} < \omega_1/\omega_0 < 3 + 2\sqrt{2}. \quad (12.5.1)$$

而按 § 12.1.2 的结果, 收敛的充分条件是

$$1/3 < \omega_1/\omega_0 < 3. \quad (12.5.2)$$

显然后者限制过多. 为考察  $m = 2, 3$  时的实用收敛准则, 需要一系列引理.

### 12.5.2 关于多项式根的几个引理

**引理 12.5.1.** 多项式  $f(t)$  所有的根满足  $|t| < c$  ( $c > 0$ ) 当且仅当多项式  $(1+u)^d f\left(\frac{1-u}{1+u}c\right)$  的所

有根的实部为正, 这里  $d$  是  $f(t)$  的次数.

证  $f(t)$  的根满足  $|t| < c$  等价于  $f(c)$  的根满足  $|t| < 1$ . 注意到分式线性变换  $u = (1-t)/(1+t)$  或  $t = (1-u)/(1+u)$  把单位圆的内部(外部)映射到正(负)的半复平面, 引理显然成立.

**引理 12.5.2** 多项式

$$p_d(u) = \sum_{i=0}^d p_{di} u^i, \quad p_{dd} > 0, \quad d = 1, 2, 3$$

的所有的根的实部为正的充要条件是

- $d = 1, 2$ ;  $(-1)^{d-i} p_{di} > 0, \quad 0 \leq i \leq d-1$ ;
- $d = 3$ ;  $(-1)^{3-i} p_{3i} > 0, \quad i = 0, 1, 2$ , 且  $p_{30}p_{33} - p_{31}p_{32} > 0$ .

证 仅证  $d = 3$  的情形. 设  $u_1, u_2, u_3$  为  $p_3(u)$  的三个根, 再设  $U_1 = u_1 + u_2 + u_3$ ,  $U_2 = u_1u_2 + u_2u_3 + u_3u_1$ ,  $U_3 = u_1u_2u_3$ ,  $U_4 = (u_1 + u_2)(u_2 + u_3)(u_3 + u_1)$ . 我们断言  $\text{Re}(u_i) > 0$  ( $i = 1, 2, 3$ ) 的充要条件是  $U_i > 0$  ( $i = 1, 2, 3, 4$ ). 下面仅证充分性.

若  $p_3(u)$  的根均为实数, 由  $U_i > 0$  ( $i = 1, 2, 3, 4$ ) 易知  $u_i > 0$ ; 若存在一对复根, 设其是  $u_1 = a + bi$ ,  $u_2 = a - bi$ ,  $u_3 = c$ , 则  $U_1 = 2a + c$ ,  $U_2 = a^2 + b^2 + 2ac$ ,  $U_3 = (a^2 + b^2)c$ ,  $U_4 = 2a((a + c)^2 + b^2)$ . 由  $U_i > 0$  ( $i = 1, 2, 3, 4$ ), 我们得到  $a > 0$  和  $c > 0$ , 充分性得证.

最后, 因<sup>[7]</sup>  $p_{3i} = (-1)^{3-i} U_{3-i} p_{33}$  ( $i = 0, 1, 2$ ),  $U_4 = U_1 U_2 - U_3$ , 引理就被确证.

**引理 12.5.3** 假设  $u_{di}$  ( $i = 1, 2, \dots, d$ ) 是多项式

$$p_d(u) = \sum_{i=0}^d p_{di} u^i, \quad p_{dd} = 1, \quad d = 1, 2, 3$$

的根, 则  $|u_{di}| < 2$  ( $i = 1, 2, \dots, d$ ) 当且仅当

- $d = 1$ ,  $|p_{10}| < 2$ ;
- $d = 2$ ,  $|p_{20}| < 4$ ,  $|2p_{21}| < p_{20} + 4$ ;
- $d = 3$ ,  $-4 < p_{31} < 12$ ,  $|p_{30} + 4p_{32}| < 2p_{31} + 8$ ,  
 $|3p_{30} - 4p_{32}| < 24 - 2p_{31}$ ,  $(4p_{32} - p_{30})p_{30} > 16(p_{31} - 4)$ .

证 由引理 12.5.1,  $|u_{di}| < 2 (i=1,2,\dots,d)$  当且仅当  $h_d(u) = \sum_{i=0}^d 2^i p_{di}(1-u)^i(1+u)^{d-i}$  的所有根的实部为正. 按引理 12.5.2, 本引理得证.

### 12.5.3 二次有理曲线多项式逼近的收敛准则

**定理 12.5.1** 设  $R(t)$  是二次有理 Bézier 曲线, 如(12.1.1)所定义, 记

$$\xi = \omega_1 / \omega_0, \quad \eta = \omega_1 / \omega_2, \quad (12.5.3)$$

则  $h\langle s, s \rangle$  与  $H\langle s, s \rangle$  一致收敛到  $R(t)$  的充分条件是

$$|(1-\xi)(1-\eta) + (\xi-\eta)^2 / (4\xi\eta)| < 4, \quad (12.5.4)$$

$$|2(\xi+\eta-2)| < 4 + (1-\xi)(1-\eta) + (\xi-\eta)^2 / (4\xi\eta); \quad (12.5.5)$$

换言之, 充分条件是在  $(\xi, \eta)$  平面上,

$(\xi, \eta) \in \Omega$  (见图 12.5.1).

证 因为

$$\bar{\mathbf{V}}_2^{11} = \begin{pmatrix} 1-\xi & (\eta^{-1} - \xi^{-1})/4 \\ \eta-\xi & 1-\eta \end{pmatrix},$$

与它相对应的特征方程可写为

$$|\lambda \mathbf{I} - \bar{\mathbf{V}}_2^{11}| = \lambda^2 - v\lambda + e = 0, \text{ 这里}$$

$$v = 2 - \xi - \eta,$$

$$e = (1-\xi)(1-\eta) + (\xi-\eta)^2 / (4\xi\eta).$$

由引理 12.5.3 知本定理成立. 证毕.

回顾定理 12.1.2 中所得的收敛条件等价于  $(\xi, \eta) \in \Omega_0$  (图中阴影区域), 因  $\Omega_0 \subset \Omega$ , 我们看到新条件优于旧条件.

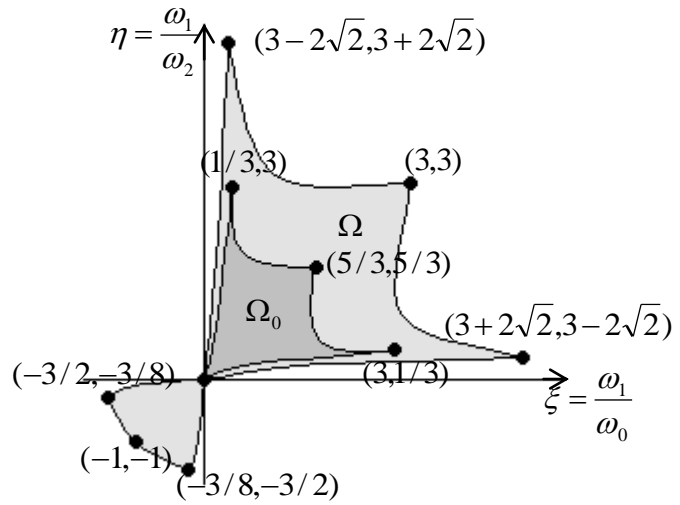


图 12.5.1 二次有理曲线的收敛区域

### 12.5.4 三次有理曲线多项式逼近的收敛准则

**定理 12.5.2** 设  $R(t)$  是三次有理 Bézier 曲线, 如(12.1.1)所定义, 假设

$$\begin{cases} a = (-6\omega_0\omega_3 + 3\omega_0\omega_2 + 3\omega_1\omega_3) / (2\omega_0\omega_3), \\ b = (9\omega_0\omega_3 - 12\omega_0\omega_2 + 3\omega_1\omega_0 - 12\omega_1\omega_3 + 9\omega_1\omega_2 + 3\omega_2\omega_3) / (4\omega_0\omega_3), \\ c = (-6\omega_2\omega_3 + 6\omega_1\omega_3 - 18\omega_1\omega_2 - 2\omega_0\omega_3 + 6\omega_0\omega_2 + 9\omega_1^2 \\ \quad + \omega_0^2 + 9\omega_2^2 + \omega_3^2 - 6\omega_1\omega_0) / (8\omega_0\omega_3), \end{cases} \quad (12.5.6)$$

则  $h\langle s, s \rangle$  与  $H\langle s, s \rangle$  一致收敛到  $R(t)$  的充分条件是

$$-4 < b < 12, 16(4-b) > (c-4a)c, |4a+c| < 2b+8, |4a-3c| < 24-2b. \quad (12.5.7)$$

证 容易算得矩阵  $\bar{\mathbf{V}}_3^{11}$  的特征方程是

$$|\lambda \mathbf{I} - \bar{\mathbf{V}}_3^{11}| = \lambda^3 + a\lambda^2 + b\lambda + c = 0, \quad (12.5.8)$$

由引理 12.5.3, 本定理得证.

**例 12.5.1** 设  $(\omega_0, \omega_1, \omega_2, \omega_3) = (1, 2, 3, 2)$ , 可算得  $(a, b, c) = (9/4, 3/2, 1/4)$ . 由于满足(12.5.7), 所以相应的逼近收敛到  $R(t)$ .

### 12.5.5 重新参数化技术对收敛条件的影响

当一条有理 Bézier 曲线  $R(t)$  的权因子不满足多项式逼近的收敛条件, 亦即相应矩阵  $\bar{\mathbf{V}}_m^{ij}$  的特征根的模越出某个界时, 我们还可对曲线  $R(t)$  设置新的参数, 而使相应的多项式逼近的收敛性态有可能得到改善. 例如, 对任何一次有理曲线, 我们总可以重新参数化使之对应的多

项式逼近恒为收敛. 对于二次有理曲线, 我们可得出

**定理 12.5.3** 设  $\mathbf{R}(t)$  是二次有理 Bézier 曲线(12.1.1), 假定  $\xi, \eta, \Omega$  如定理 12.5.1 所定义,  $(\xi, \eta) \notin \Omega$  但  $\xi\eta = \omega_1^2/(\omega_0\omega_2) < 9$ , 则  $\mathbf{R}(t)$  能被重新参数化使得逼近  $\mathbf{h}\langle s, s \rangle$  和  $\mathbf{H}\langle s, s \rangle$  收敛到  $\mathbf{R}(t)$ .

证 显然, 存在一点  $(\xi_0, \eta_0) \in \Omega$ , 使得  $\xi_0\eta_0 = \omega_1^2/(\omega_0\omega_2) < 9$ . 现在作线性参数变换(3.2.10), 取其中  $a = \eta, b = \eta_0$ , 则曲线  $\mathbf{R}(t)$  变成以  $(\eta_0, \xi_0\eta_0, \xi_0)$  为权因子的二次有理 Bézier 曲线  $\mathbf{R}^*(u)$ . 由于  $(\xi_0, \eta_0) \in \Omega$ , 按定理 12.5.1,  $\mathbf{h}\langle s, s \rangle$  逼近和  $\mathbf{H}\langle s, s \rangle$  逼近均收敛到  $\mathbf{R}^*(u)$ . 证毕.

**例 12.5.2** 设  $(\omega_0, \omega_1, \omega_2) = (7, 14, 4)$ , 则  $(\xi, \eta) = (2, 7/2) \notin \Omega$ , 但  $\xi\eta = 7 < 9$ . 今取点  $(\xi_0, \eta_0) = (\sqrt{7}, \sqrt{7}) \in \Omega \cap \{(\xi, \eta) \mid \xi\eta < 9\}$ , 且施行参数变换  $t = \sqrt{7}u/[2(1-u) + \sqrt{7}u]$ , 则以  $u$  为参数的形状不变的新曲线  $\mathbf{R}^*(u)$  具有收敛的多项式逼近  $\mathbf{h}\langle s, s \rangle$  和  $\mathbf{H}\langle s, s \rangle$ .

## 12.6 $\mathbf{h}\langle s, 0 \rangle$ 逼近与 $\mathbf{H}\langle s, 0 \rangle$ 逼近的收敛条件

仿照 § 12.4 的讨论, 由算法 12.3.1(或 12.3.2)我们能得出  $\mathbf{H}\langle s, 0 \rangle$  (或  $\mathbf{H}\langle 0, s \rangle$ )逼近的收敛条件, 由算法 12.3.4 我们能得出  $\mathbf{h}\langle s, 0 \rangle$  (或  $\mathbf{h}\langle 0, s \rangle$ )逼近的收敛条件. 由于这时多项式逼近曲线仅在一个端点与  $\mathbf{R}(t)$  保持各阶导矢相等, 所以可称之为 Taylor 逼近.

**定理 12.6.1.** 设  $\lambda_k^{ij} (k=1, 2, \dots, m)$  是如(12.3.5)和(12.3.9)矩阵  $\bar{\mathbf{V}}_m^{ij}$  的特征根,  $ij = 10, 01$ ; 若  $|\lambda_k^{10}| < 1 (|\lambda_k^{01}| < 1), k=1, 2, \dots, m$ , 则  $\mathbf{h}^{s,0}(t)(\mathbf{h}^{0,s}(t))$  和  $\tilde{\mathbf{H}}^{s,0}(t)(\tilde{\mathbf{H}}^{0,s}(t))$  在  $[0, 1]$  上一致收敛到  $\mathbf{R}(t)$ .

对于  $m=1, 2, 3$  的低次情形, 我们也可以给出相应的收敛准则.

## 12.7 $(r/p)$ 有定极限值的 $\mathbf{h}\langle r, p \rangle$ 逼近与 $\mathbf{H}\langle r, p \rangle$ 逼近的收敛条件

$r = p = s$  和  $r = 0$  (或  $p = 0$ )的情况能被推广到一般情况,  $\lim_{p \rightarrow \infty} (r/p) = \alpha \geq 0$ . 为方便起见, 仅考察  $\alpha = 2$  的情形. 首先仿 § 12.3 的处理, 得到移动控制顶点的控制顶点递推式

$$\begin{pmatrix} \mathbf{M}_1^{a+2s,s} - \mathbf{M}_0^{a+2s,s} \\ \vdots \\ \mathbf{M}_m^{a+2s,s} - \mathbf{M}_0^{a+2s,s} \end{pmatrix} = \frac{(a+2s)!s!3^s}{(a+3s)!} (\bar{\mathbf{V}}_m^{21})^s \begin{pmatrix} \mathbf{M}_1^{a,0} - \mathbf{M}_0^{a,0} \\ \vdots \\ \mathbf{M}_m^{a,0} - \mathbf{M}_0^{a,0} \end{pmatrix}, \quad a, s = 0, 1, \dots, \quad (12.7.1)$$

这里

$$\bar{\mathbf{V}}_m^{21} = \frac{1}{3} \begin{pmatrix} 3-g_0(3-g_0+g_1) & g_1(3-g_0) & g_1g_2 & \cdots & 0 & 0 & \frac{1}{g_0} \\ \frac{1}{g_1}-g_0(3-g_0+g_2) & 3-g_0g_1 & 3g_2 & \cdots & 0 & 0 & -\frac{1}{g_1} \\ -g_0(3-g_0+g_3) & \frac{1}{g_2}-g_0g_1 & 3 & \cdots & 0 & 0 & -\frac{1}{g_2} \\ -g_0(3-g_0+g_4) & -g_0g_1 & \frac{1}{g_3} & \cdots & 0 & 0 & -\frac{1}{g_3} \\ \vdots & \vdots & \vdots & \cdots & \vdots & \vdots & \vdots \\ -g_0(3-g_0+g_{m-3}) & -g_0g_1 & 0 & \cdots & 3g_{m-3} & g_{m-3}g_{m-2} & -\frac{1}{g_{m-4}} \\ -g_0(3-g_0+g_{m-2}) & -g_0g_1 & 0 & \cdots & 3 & 3g_{m-2} & g_{m-2}g_{m-1}-\frac{1}{g_{m-3}} \\ -g_0(3-g_0+g_{m-1}) & -g_0g_1 & 0 & \cdots & \frac{1}{g_{m-2}} & 3 & 3g_{m-1}-\frac{1}{g_{m-2}} \\ -g_0(3-g_0) & -g_0g_1 & 0 & \cdots & 0 & \frac{1}{g_{m-1}} & 3-\frac{1}{g_{m-1}} \end{pmatrix}. \quad (12.7.2)$$

应用定理 12.2.1 和 12.2.2, 注意到当  $s \rightarrow +\infty$  时,

$$(a+2s)!s!/(a+3s)! \sim (2^{a+1}/3^{a+1/2}) (\sqrt{\pi s} 2^{2s}/3^{3s}),$$

我们就得到

**定理 12.7.1** 假设  $\lambda_k^{21} (k=1,2,\dots,m)$  是矩阵  $\bar{\mathbf{V}}_m^{21}$  的特征根, 若

$$|\lambda_k^{21}| < 9/4, \quad k=1,2,\dots,m, \quad (12.7.3)$$

则  $\mathbf{h}\langle a+2s, s \rangle$  逼近和  $\mathbf{H}\langle a+2s, s \rangle$  逼近在  $[0,1]$  上同时一致收敛到  $\mathbf{R}(t)$ .

## 12.8 Hybrid 曲线的移动控制顶点 $\mathbf{H}_r^{r,p}(t)$ 的界

为了从数量上控制  $\mathbf{H}\langle r, p \rangle$  逼近的误差范围, 我们必须知道 Hybrid 曲线的移动控制顶点  $\mathbf{H}_r^{r,p}(t)$  的收敛速度. 也就是说, 若要求  $\mathbf{H}_r^{r,p}(t)$  的控制顶点的凸包体积小于给定的逼近公差  $\varepsilon$ , 如何去决定 Hybrid 曲线的次数  $r+p$ ? 本节给出解决这一问题的三个有效方法, 其基本思想是先把有理 Bézier 曲线(12.1.1)表成三种形式的 Hybrid 曲线, 再应用定理 12.1.1 得到  $\mathbf{H}_r^{r,p}(t)$ , 进而对它进行界的估计.

为了度量  $\mathbf{H}_r^{r,p}(t)$  的控制顶点的凸包体积, 我们先有<sup>[8]</sup>

**定义 12.8.1** 对于给定的点集  $S$ , 能覆盖  $S$  中全部点的所有圆中具有最小半径的那个圆称为点集  $S$  的最小圆; 此最小半径称为  $S$  的半径, 并记为  $\text{rad}(S)$ , 最小圆的中心记为点  $\mathbf{O}$ .

记点集

$$\mathbf{R}[m] = (\mathbf{R}_0, \mathbf{R}_1, \dots, \mathbf{R}_m)^T, \quad (12.8.1)$$

$$\mathbf{M}^{r,p}[m] = (\mathbf{M}_0^{r,p}, \mathbf{M}_1^{r,p}, \dots, \mathbf{M}_m^{r,p})^T, \quad (12.8.2)$$

则易知

$$\text{rad}(\mathbf{R}[m]) = \min_{\text{对所有点 } \mathbf{Q}} \left( \max_{0 \leq k \leq m} \|\mathbf{R}_k - \mathbf{Q}\| \right). \quad (12.8.3)$$

类似地可写出  $\text{rad}(\mathbf{M}^{r,p}[m])$ , 并由(12.2.6)得出

**引理 12.8.1** 若把点集  $\{\mathbf{M}_k^{r,p}\}_{k=0}^m$  的最小圆的中心  $\mathbf{O}$  取为固定控制顶点  $\mathbf{H}_r^{r,p}$ , 相应的 H 逼近的绝对误差记为  $ER^{r,p}[m](t)$ , 则有

$$\|\mathbf{M}_k^{r,p} - \mathbf{O}\| \leq \text{rad}(\mathbf{M}^{r,p}[m]), \quad k=0,1,\dots,m, \quad (12.8.4)$$

$$ER^{r,p}[m](t) = \|\mathbf{R}(t) - \tilde{\mathbf{H}}^{r,p}(t)\| \leq B_r^{r,p}(t) \cdot \text{rad}(\mathbf{M}^{r,p}[m]). \quad (12.8.5)$$

### 12.8.1 对具有对称权因子的低次有理曲线求 $\mathbf{H}_s^{s,s}(t)$ 的界

**定理 12.8.1** 对有理 Bézier 曲线  $\mathbf{R}(t)$ , 若

$$m=2,3, \quad (12.8.6)$$

$$\omega_k = \omega_{m-k}, \quad k=0,1,\dots,m, \quad (12.8.7)$$

则

$$\text{rad}(\mathbf{M}^{s,s}[m]) = \left( (m|1-w|)^{s-\delta} / \binom{2s}{s} \right) K, \quad s > m, \quad (12.8.8)$$

$$ER^{s,s}[m](t) \leq 4^{-\delta} (m|1-w|/4)^{s-\delta} K, \quad (12.8.9)$$

这里

$$w = \omega_1 / \omega_0, \quad (12.8.10)$$

$$\delta = \begin{cases} 0, & m=2, \\ 2, & m=3, \end{cases} \quad K = \begin{cases} \text{rad}(\mathbf{R}[2]), & m=2, \\ 6\text{rad}(\mathbf{M}^{2,2}[3]), & m=3. \end{cases} \quad (12.8.11)$$

证 不失一般性, 可以假定  $\omega_0 = \omega_m = 1$ , 这时有

$$\omega(t) = 1 - A(t) = 1 - m(1-w)(1-t)t, \quad m=2,3.$$

由此得到

$$\mathbf{R}(t) = \frac{\mathbf{P}(t)}{\omega(t)} = \frac{\mathbf{P}(t)}{\omega(t)} \left[ 1 - (A(t))^s \right] + \frac{\mathbf{P}(t)}{\omega(t)} (A(t))^s = \mathbf{P}(t) \sum_{i=0}^{s-1} (A(t))^i + \mathbf{R}(t) (A(t))^s. \quad (12.8.12)$$

当  $m=3$  时, 在上式右端置  $s$  为  $s-2$ , 置  $\mathbf{R}(t)$  为一条  $2+2$  次 Hybrid 曲线, 得到

$$\begin{aligned} \mathbf{R}(t) &= \mathbf{P}(t) \sum_{i=0}^{s-3} (A(t))^i + \left[ \sum_{i=0, i \neq 2}^4 B_i^4(t) \mathbf{H}_i^{2,2} \right] (A(t))^{s-2} + B_2^4(t) \mathbf{H}_2^{2,2}(t) (A(t))^{s-2} \\ &= \mathbf{P}^{2s}(t) + B_s^{2s}(t) \mathbf{H}_2^{2,2}(t) 6(m(1-w))^{s-2} / \binom{2s}{s}, \end{aligned}$$

这里  $\mathbf{P}^{2s}(t)$  表示次数为  $2s$  的  $t$  的多项式; 同样, 当  $m=2$  时由(12.8.12)得到

$$\mathbf{R}(t) = \mathbf{P}^{2s}(t) + B_s^{2s}(t) \mathbf{R}(t) (m(1-w))^s / \binom{2s}{s}.$$

从  $\mathbf{P}^{2s}(t)$  中分离出一项  $(1-t)^s t^s \mathbf{Q}$ , 根据定理 12.1.1, 由以上两式推知

$$\binom{2s}{s} \mathbf{M}_k^{s,s} = \begin{cases} (m(1-w))^s \mathbf{R}_k + \mathbf{Q}, & m=2; \quad k=0,1,2; \\ 6(m(1-w))^{s-2} \mathbf{M}_k^{2,2} + \mathbf{Q}, & m=3; \quad k=0,1,2,3. \end{cases}$$

这样就证明了(12.8.8). 再利用不等式  $\sqrt{(2i-2)(2i)} \leq 2i-1$ ,  $\sqrt{(2i-1)(2i+1)} \leq 2i$ , 可得

$$\frac{2^{2s}}{2\sqrt{s}} \leq \binom{2s}{s} \leq \frac{2^{2s}}{\sqrt{2s}}, \quad (12.8.13)$$

应用上式和(12.8.5), 最后就可推出(12.8.9). 证毕.

**推论 12.8.1** 对于如定理 12.8.1 所定义的有理 Bézier 曲线  $\mathbf{R}(t)$ ,  $\mathbf{H}^{s,s}$  收敛的充要条件是

$$m|1-w| < 4; \quad (12.8.14)$$

相应于此收敛条件, 若给定移动控制顶点  $\{\mathbf{H}_s^{s,s}(t) (0 \leq t \leq 1)\}$  的最小圆半径的界为  $\varepsilon_1$ , 又给定曲线逼近的绝对误差  $ER^{s,s}[m](t) (0 \leq t \leq 1)$  的界为  $\varepsilon_2$ , 则必可对曲线  $\mathbf{R}(t)$  求得以  $\{\mathbf{M}_k^{s,s}\}_{k=0}^m$  的最小圆中心为固定控制顶点  $\mathbf{H}_s^{s,s}$  的  $2s$  次的 H 逼近曲线  $\tilde{\mathbf{H}}^{s,s}(t)$  满足这两个条件, 这里  $s$  之值可由求解下列两个不等式来分别得到:

$$(2\sqrt{s}/4^\delta)(m|1-w|/4)^{s-\delta} K < \varepsilon_1, \quad 4^{-\delta}(m|1-w|/4)^{s-\delta} K < \varepsilon_2. \quad (12.8.15)$$

**例 12.8.1** 设  $\mathbf{R}(t)$  为单位半圆, 令  $m=3$ ,  $(\omega_0, \omega_1, \omega_2, \omega_3) = (1/3, 1/3, 1/3, 1)$ ,  $(\mathbf{R}_0, \mathbf{R}_1, \mathbf{R}_2, \mathbf{R}_3) = ((-1,0), (-1,2), (1,2), (1,0))$ , 容易求得

$$(\mathbf{M}_0^{2,2}, \mathbf{M}_1^{2,2}, \mathbf{M}_2^{2,2}, \mathbf{M}_3^{2,2}) = ((-2/3, 4/3), (-2/3, 3), (-2/3, 3), (2/3, 4/3)),$$

由此得  $rad(\mathbf{M}^{2,2}[3]) = \sqrt{41}/6$ , 因而有

$$rad(\mathbf{M}^{s,s}[3]) = 2^{s-2} \sqrt{41} / \binom{2s}{s} < \sqrt{41}s / 2^{s+1}, \quad ER^{s,s}[3](t) \leq \sqrt{41} / 2^{s+2}.$$

### 12.8.2 利用矩阵方法对一般有理曲线求 $\mathbf{H}_s^{s,s}(t)$ 的界

上一小节的方法要求  $\mathbf{R}(t)$  的权因子对称, 这在  $m=2$  时应用性质 3.2.10 总能办到, 但当  $m \geq 3$  就未必了. 这时可用矩阵方法求移动控制顶点  $\mathbf{H}_s^{s,s}(t)$  的界. 以  $m=3$  为例, 先定义

$$\mathbf{H} = \begin{pmatrix} 1-3\omega_1/\omega_0 & 3\omega_1/\omega_0 & 0 & -1 \\ (\omega_0-3\omega_2)/(3\omega_1)-1 & 2 & \omega_2/\omega_1 & -\omega_0/(3\omega_1)-1 \\ -\omega_3/(3\omega_2)-1 & \omega_1/\omega_2 & 2 & (\omega_3-3\omega_1)/(3\omega_2)-1 \\ -1 & 0 & 3\omega_2/\omega_3 & 1-3\omega_2/\omega_3 \end{pmatrix}. \quad (12.8.16)$$

再假设  $\mathbf{H}$  的 Jordan 标准形是  $\mathbf{J}$ , 转换阵是  $\mathbf{T}$  [4,5,9], 即有  $\mathbf{H} = \mathbf{T}\mathbf{J}\mathbf{T}^{-1}$ . 于是我们有

**定理 12.8.2** 对三次有理 Bézier 曲线  $\mathbf{R}(t)$ ,

$$rad(\mathbf{M}^{s,s}[3]) = rad(\mathbf{TJ}^s \mathbf{T}^{-1} \mathbf{R}[3]) / \binom{2s}{s}, \quad (12.8.17)$$

$$ER^{s,s}[3](t) \leq rad(\mathbf{TJ}^s \mathbf{T}^{-1} \mathbf{R}[3]) / 4^s. \quad (12.8.18)$$

证 任意一条有理 Bézier 曲线  $\mathbf{R}(t)$  均可表为

$$\sum_{k=0}^m B_k^m(t) \omega_k \mathbf{R}_k / \sum_{k=0}^m B_k^m(t) \omega_k = ((1-t)\mathbf{R}_0 + t\mathbf{R}_m) + (1-t)t \sum_{k=0}^m B_k^m(t) \omega_k \bar{\mathbf{R}}_k / \sum_{k=0}^m B_k^m(t) \omega_k, \quad (12.8.19)$$

这里

$$\begin{aligned} \bar{\mathbf{R}}_k = & \left( -1 - \frac{m-k}{k+1} \frac{\omega_{k+1}}{\omega_k} \right) \mathbf{R}_0 + \frac{k}{m+1-k} \frac{\omega_{k-1}}{\omega_k} \mathbf{R}_{k-1} + 2\mathbf{R}_k \\ & + \frac{m-k}{k+1} \frac{\omega_{k+1}}{\omega_k} \mathbf{R}_{k+1} + \left( -1 - \frac{k}{m+1-k} \frac{\omega_{k-1}}{\omega_k} \right) \mathbf{R}_m, \quad k = 0, 1, \dots, m. \end{aligned}$$

为方便起见, 其中令  $k < 0$  或  $k > m$  时  $\mathbf{R}_k = \mathbf{0}, \omega_k = 0$ . 上述过程可递归地进行. 为此假设

$$\mathbf{N}_k^0 = \mathbf{R}_k, \quad k = 0, 1, \dots, m, \quad (12.8.20)$$

$$\begin{aligned} \mathbf{N}_k^{2s} = & \left( -1 - \frac{m-k}{k+1} \frac{\omega_{k+1}}{\omega_k} \right) \mathbf{N}_0^{2(s-1)} + \frac{k}{m+1-k} \frac{\omega_{k-1}}{\omega_k} \mathbf{N}_{k-1}^{2(s-1)} + 2\mathbf{N}_k^{2(s-1)} \\ & + \frac{m-k}{k+1} \frac{\omega_{k+1}}{\omega_k} \mathbf{N}_{k+1}^{2(s-1)} + \left( -1 - \frac{k}{m+1-k} \frac{\omega_{k-1}}{\omega_k} \right) \mathbf{N}_m^{2(s-1)}, \quad s \geq 1, \quad k = 0, 1, \dots, m. \end{aligned} \quad (12.8.21)$$

对  $k < 0$  或  $k > m$ ,  $l \geq 0$  规定  $\mathbf{N}_k^{2l} = \mathbf{0}, \omega_k = 0$ . 容易得到

$$\frac{\sum_{k=0}^m B_k^m(t) \omega_k \mathbf{N}_k^{2(s-1)}}{\sum_{k=0}^m B_k^m(t) \omega_k} = ((1-t)\mathbf{N}_0^{2(s-1)} + t\mathbf{N}_m^{2(s-1)}) + (1-t)t \frac{\sum_{k=0}^m B_k^m(t) \omega_k \mathbf{N}_k^{2s}}{\sum_{k=0}^m B_k^m(t) \omega_k}.$$

把(12.8.19)递归地执行  $s$  次, 我们可把曲线  $\mathbf{R}(t)$  表成

$$\mathbf{R}(t) = \sum_{i=0}^{s-1} (1-t)^i t^i ((1-t)\mathbf{N}_0^{2i} + t\mathbf{N}_m^{2i}) + (1-t)^s t^s \frac{\sum_{k=0}^m B_k^m(t) \omega_k \mathbf{N}_k^{2s}}{\sum_{k=0}^m B_k^m(t) \omega_k},$$

把上式的多项式部分升阶后分离出一项  $(1-t)^s t^s \mathbf{Q}$ , 它可视为一条  $2s$  次的 Hybrid 曲线, 由定理 12.1.1 立刻可推出

$$\mathbf{M}_k^{s,s} = \mathbf{N}_k^{2s} / \binom{2s}{s} + \mathbf{Q}, \quad k = 0, 1, 2, 3.$$

今假设  $\mathbf{N}^{2i} = (\mathbf{N}_0^{2i}, \mathbf{N}_1^{2i}, \mathbf{N}_2^{2i}, \mathbf{N}_3^{2i})^T, i = 0, 1, \dots, s$ . 对(12.8.20)和(12.8.21)化简, 我们有

$$\mathbf{N}^{2s} = \mathbf{H} \mathbf{N}^{2(s-1)} = \mathbf{H}^2 \mathbf{N}^{2(s-2)} = \dots = \mathbf{H}^s \mathbf{N}^0 = \mathbf{TJ}^s \mathbf{T}^{-1} \mathbf{R}[3], \quad (12.8.22)$$

因而

$$rad(\mathbf{M}^{s,s}[3]) = rad(\mathbf{N}^{2s}[3]) / \binom{2s}{s} = rad(\mathbf{TJ}^s \mathbf{T}^{-1} \mathbf{R}[3]) / \binom{2s}{s}.$$

由此, 应用(12.8.5)又可得(12.8.18). 证毕.

以上定理虽对  $m = 3$  给出, 但对任何曲线次数均是适用的, 相应的矩阵  $\mathbf{H}$  可由(12.8.21), (12.8.22)写出.

现在把点集  $\mathbf{R}[m]$  的最小圆中心记为  $\mathbf{O}$ , 则  $\|\mathbf{R}_l - \mathbf{O}\| \leq rad(\mathbf{R}[m]), l = 0, 1, \dots, m$ . 若

$(m+1) \times (m+1)$  阶矩阵  $\mathbf{B}_{m+1} = (b_{ij})$  每行元素之和为 0, 即  $\sum_{l=1}^{m+1} b_{kl} = 0, k = 1, 2, \dots, m+1$ , 则有

$$\begin{aligned}
rad(B_{m+1}R[m]) &\leq \max_{1 \leq k \leq m+1} \left\| \sum_{l=1}^{m+1} b_{kl} R_{l-1} - O \sum_{l=1}^{m+1} b_{kl} \right\| \\
&\leq \max_{1 \leq k \leq m+1} \sum_{l=1}^{m+1} |b_{kl}| \cdot \|R_{l-1} - O\| \leq \|B_{m+1}\|_{\infty} rad(R[m]).
\end{aligned} \tag{12.8.23}$$

这里矩阵  $B_{m+1}$  的无穷范数<sup>[9]</sup>定义为

$$\|B_{m+1}\|_{\infty} = \max_{1 \leq k \leq m+1} \left( \sum_{l=1}^{m+1} |b_{kl}| \right). \tag{12.8.24}$$

易知矩阵  $H^i$  ( $i = 1, 2, \dots, s$ ) 满足上述矩阵  $B_{m+1}$  的条件, 于是按定理 12.8.2 和(12.8.13)得出

**推论 12.8.2**

$$rad(M^{s,s}[3]) < (2\sqrt{s}/4^s) \|TJ^s T^{-1}\|_{\infty} rad(R[3]), \tag{12.8.25}$$

$$ER^{s,s}[3](t) \leq 4^{-s} \|TJ^s T^{-1}\|_{\infty} rad(R[3]). \tag{12.8.26}$$

**推论 12.8.3** 若矩阵  $H$  的所有特征根的绝对值均小于 4,  $\varepsilon_1$  和  $\varepsilon_2$  如推论 12.8.1 中所定义, 则必可对  $R(t)$  求得以  $M^{s,s}[3]$  的最小圆中心为固定控制顶点  $H_s^{s,s}$  的  $2s$  次的  $H$  逼近曲线  $\tilde{H}^{s,s}(t)$  满足误差界条件  $\varepsilon_1$  和  $\varepsilon_2$ , 这里  $s$  之值可由求解(12.8.25)与(12.8.26)两式右端之值分别小于  $\varepsilon_1$  与  $\varepsilon_2$  的不等式来得到.

**例 12.8.2.** 设  $m = 3$ ,  $(\omega_0, \omega_1, \omega_2, \omega_3) = (1, 1.2, 1.6, 1)$ ,  $(R_0, R_1, R_2, R_3) = ((-1, -1), (-1, 1), (1, 1), (1, -1))$ , 容易求得矩阵  $H$ ,  $T = (t_{kl})$ ,  $J = \text{diag}(\lambda_1, \lambda_2, \lambda_3, \lambda_4)$  和  $T^{-1} = (\tilde{t}_{kl})$  分别是

$$\begin{aligned}
H &= \begin{pmatrix} -2.6 & 3.6 & 0 & -1 \\ -2.055 & 2 & 1.333 & -1.278 \\ -1.208 & 0.75 & 2 & -1.542 \\ -1 & 0 & 4.8 & -3.8 \end{pmatrix}, \\
T &= \begin{pmatrix} 1 & 0.452 & -0.135 + 1.248i & -1.347 - 1.248i \\ 1 & 0.546 & -0.481 + 0.974i & -0.481 - 0.974i \\ 1 & 0.688 & -0.416 + 0.573i & -0.416 - 0.573i \\ 1 & 1.787 & -0.396 + 0.492i & -0.396 - 0.492i \end{pmatrix}, \\
J &= \text{diag}(0, -2.206, -0.097 + 0.801i, -0.097 - 0.801i) \\
T^{-1} &= \begin{pmatrix} -1.259 + 0.577i & -0.375 - 2.924i & 3.578 + 2.601i & -0.944 - 0.253i \\ 0.023 - 0.010i & 0.168 + 0.052i & -1.127 - 0.047i & 0.936 + 0.005i \\ -1.783 + 1.196i & 1.145 - 6.060i & 0.873 + 5.389i & -0.235 - 0.525i \\ -2.070 + 0.571i & 2.598 - 2.893i & -0.419 + 2.573i & -0.109 - 0.251i \end{pmatrix}.
\end{aligned}$$

易知当  $s \geq 3$  时,  $\|J^s T^{-1}\|_{\infty} = (\lambda_2)^s \sum_{l=1}^4 |\tilde{t}_{2l}|$ ,  $\|TJ^s\|_{\infty} = (\lambda_2)^s (t_{42} + 0.2)$ , 因而当  $s \geq 6$  时我们有  $\|TJ^s T^{-1}\|_{\infty} \leq 5(\lambda_2)^s$ . 不难验证以上关系式对  $s = 2, 3, 4, 5$  亦为正确, 于是应用推论 12.8.2 可知  $rad(M^{s,s}[3]) \leq 10\sqrt{2s}(0.551)^s$ ,  $ER^{s,s}[3](t) \leq 5\sqrt{2}(0.551)^s$ .

### 12.8.3 利用复平面上的围道积分求 $H_r^{r,p}(t) - H_r^{r,p}$ 的界

以上两小节都是就  $r = p = s$  的情况进行讨论的, 为研究  $r \neq p$  的情况, 可应用复平面上的围道积分. 今以  $\xi$  表示复数,  $i$  代表  $\sqrt{-1}$ ,  $|R|$  表示复向量  $R = (x, y, z)$  的模, 即

$$|R|^2 = x\bar{x} + y\bar{y} + z\bar{z}. \tag{12.8.27}$$

下列定理选用一个固定点  $H_r^{r,p}$  来代替移动控制顶点  $H_r^{r,p}(t)$ , 使得由此而产生的误差向量的模易于估计.

**定理 12.8.3** 假定  $C$  是包含区间  $[0, 1]$  但不包含  $\omega(t)$  的任何根的一条任意的简单闭曲线, 则



$$\|H_r^{r,p}(t) - H_r^{r,p}\| = \frac{1}{2\pi} \left| \int_C \frac{R(\xi)}{(\xi-t)B_r^{r+p}(\xi)} d\xi \right|, \quad (12.8.28)$$

$$ER^{r,p}[m](t) = \|R(t) - \tilde{H}^{r,p}(t)\| \leq \frac{1}{2\pi} B_r^{r+p}(t) \left| \int_C \frac{R(\xi)}{(\xi-t)B_r^{r+p}(\xi)} d\xi \right|. \quad (12.8.29)$$

$$\begin{aligned} \text{证 } \frac{1}{\xi-t} &= \sum_{l=0}^{r-1} \frac{1}{\xi} \left(\frac{t}{\xi}\right)^l + \left(\frac{t}{\xi}\right)^r \frac{1}{\xi-t} \\ &= \sum_{l=0}^{r-1} \frac{1}{\xi} \left(\frac{t}{\xi}\right)^l + \left(\frac{t}{\xi}\right)^r \sum_{j=0}^{p-1} \frac{1}{\xi-1} \left(\frac{1-t}{1-\xi}\right)^j + \frac{1}{\xi-t} \left(\frac{1-t}{1-\xi}\right)^p \left(\frac{t}{\xi}\right)^r. \end{aligned}$$

上式右端前两项之和是次数小于  $r+p$  的关于  $t$  的多项式, 这个事实等价于存在这样的  $a_j(\xi)$ , 使得

$$\frac{1}{\xi-t} = \sum_{j=0}^{r+p} B_j^{r+p}(t) a_j(\xi) + \frac{B_r^{r+p}(t)}{B_r^{r+p}(\xi)} \frac{1}{\xi-t}, \quad \sum_{j=0}^{r+p} (-1)^j \binom{r+p}{j} a_j(\xi) = 0. \quad (12.8.30)$$

由 Cauchy 积分公式<sup>[10]</sup>, 我们有

$$R(t) = \frac{1}{2\pi i} \int_C \frac{R(\xi)}{\xi-t} d\xi.$$

由此, 利用(12.8.30)可得到

$$R(t) = \frac{1}{2\pi i} \sum_{j=0}^{r+p} B_j^{r+p}(t) \left( \int_C R(\xi) a_j(\xi) d\xi \right) + \frac{1}{2\pi i} B_r^{r+p}(t) \int_C \frac{R(\xi)}{(\xi-t)B_r^{r+p}(\xi)} d\xi.$$

今从上式右端第一项里分离出和式中  $j=r$  的一项, 它就成为相应于  $R(t)$  的  $r+p$  次 Hybrid 曲线. 从而由定理 12.1.1 立即推出

$$H_r^{r,p}(t) = \frac{1}{2\pi i} \int_C \frac{R(\xi)}{(\xi-t)B_r^{r+p}(\xi)} d\xi + \frac{1}{2\pi i} \int_C R(\xi) a_r(\xi) d\xi.$$

但由(12.8.30)得出

$$\sum_{j=0}^{r+p} (-1)^j \binom{r+p}{j} H_j^{r,p} = 0, \quad H_j^{r,p} = \frac{1}{2\pi i} \int_C R(\xi) a_j(\xi) d\xi.$$

因此, 如果取固定的一点

$$H_r^{r,p} = \frac{1}{2\pi i} \int_C R(\xi) a_r(\xi) d\xi \quad (12.8.31)$$

来代替移动控制顶点  $H_r^{r,p}(t)$ , 所得到的 H 逼近曲线  $\tilde{H}^{r,p}(t) = \sum_{j=0}^{r+p} B_j^{r+p}(t) H_j^{r,p}$  的次数必小于  $r+p$ , 而相应的误差向量为

$$H_r^{r,p}(t) - H_r^{r,p} = \frac{1}{2\pi i} \int_C \frac{R(\xi)}{(\xi-t)B_r^{r+p}(\xi)} d\xi,$$

这样就得到(12.8.28), 再根据(12.8.5)得到(12.8.29). 证毕.

下节中我们将证明定理 12.9.1, 因此, 沿用那里的记号  $\alpha$  和  $\beta$ , 若把曲线

$$|\xi|^\alpha |1-\xi|^\beta = A\alpha^\alpha \beta^\beta, \quad A > 1 \quad (12.8.32)$$

取作定理 12.8.3 中的围道  $C$ , 我们立即得出

**推论 12.8.4** 若  $\omega(t)$  的根  $\theta_k$  ( $k=1,2,\dots,d$ ) 满足

$$|\theta_k|^\alpha |1-\theta_k|^\beta > A\alpha^\alpha \beta^\beta, \quad A > 1, \quad (12.8.33)$$

则

$$\|H_r^{r,p}(t) - H_r^{r,p}\| \leq e\sqrt{2\pi(r+p)} \left(\frac{1}{A}\right)^{r+p} \int_c \left| \frac{R(\xi)}{\xi-t} \right| d|\xi|, \quad (12.8.34)$$

$$ER^{r,p}[m](t) \leq \frac{1}{2\pi} \left(\frac{1}{A}\right)^{r+p} \int_c \left| \frac{R(\xi)}{\xi-t} \right| d|\xi|. \quad (12.8.35)$$

## 12.9 一般情况下 $h\langle r, p \rangle$ 逼近和 $H\langle r, p \rangle$ 逼近收敛的充要条件

设  $\theta_1, \theta_2, \dots, \theta_d$  为(12.1.1)中分母  $\omega(t)$  的根,  $\theta_i$  的重数为  $l_i$  ( $i=1, 2, \dots, d$ ),  $\sum_{i=1}^d l_i = m$ . 再

在(12.1.4)中, 记  $H^{*r,p}(t) = \sum_{i=0, i \neq r}^{r+p} B_i^{r+p}(t) H_i^{r,p}$ ; 在(12.1.5)中记  $M_r^{r,p}(t) = \sum_{k=0}^m B_k^m(t) \omega_k M_k^{r,p}$ .

**引理 12.9.1** 设  $\delta_{iq}, \delta_{hj}$  为 Kronecker 符号;  $L_{ij}(t)$  为满足以下条件的  $m-1$  次多项式:

$$d^h L_{ij}(\theta_q) / dt^h = \delta_{iq} \delta_{hj}, \quad i, q = 1, 2, \dots, k; \quad h, j = 0, 1, \dots, l_i - 1, \quad (12.9.1)$$

则有

$$M_r^{r,p}(t) = \omega(t) M_0^{r,p} + \frac{r+p+1}{r+1} t \sum_{i=1}^d \sum_{j=0}^{l_i-1} L_{ij}(t) \frac{d^j}{dt^j} \left( \frac{R(\theta_i)}{B_{r+1}^{r+p+1}(\theta_i)} \right). \quad (12.9.2)$$

证 由

$$M_r^{r,p}(t) - \omega(t) M_0^{r,p} = \sum_{k=1}^m B_k^n(t) \omega_k (M_k^{r,p} - M_0^{r,p}) = tA(t), \quad (12.9.3)$$

可知  $A(t)$  为  $m-1$  次的多项式曲线. 将(12.9.3)代入(12.1.4)可得

$$A(t) = \frac{r+p+1}{r+1} \left( \frac{R(t)}{B_{r+1}^{r+p+1}(t)} - \omega(t) \frac{H^{*r,p}(t) + B_r^{r+p}(t) M_0^{r,p}}{B_{r+1}^{r+p+1}(t)} \right).$$

由于  $\theta_i$  为  $\omega(t)$  的  $l_i$  重根, 于是

$$\frac{d^j A(\theta_i)}{dt^j} = \frac{r+p+1}{r+1} \frac{d^j}{dt^j} \left( \frac{R(\theta_i)}{B_{r+1}^{r+p+1}(\theta_i)} \right), \quad i = 1, 2, \dots, d; \quad j = 0, 1, \dots, l_i - 1.$$

由 (12.9.1), (12.9.3) 和上式可得(12.9.2). 证毕.

$$\text{引理 12.9.2} \quad \frac{d^s}{dt^s} \frac{1}{B_r^{r+p}(t)} \sim \frac{(r+p)^s}{B_r^{r+p}(t)} \left( \frac{\beta}{1-t} - \frac{\alpha}{t} \right)^s, \quad r+p \rightarrow \infty, \quad (12.9.4)$$

其中

$$\alpha = \lim_{r+p \rightarrow \infty} r/(r+p), \quad \beta = 1 - \alpha. \quad (12.9.5)$$

证 因为

$$\begin{aligned} \frac{d^s}{dt^s} \frac{1}{B_r^{r+p}(t)} &= \frac{(r+p)^s}{B_r^{r+p}(t)} \sum_{h=0}^s (-1)^h \binom{s}{h} \frac{r(r+1) \cdots (r+h-1)}{(r+p)^h t^h} \cdot \frac{p(p+1) \cdots (p+s-h-1)}{(r+p)^{s-h} (1-t)^{s-h}} \\ &\sim \frac{(r+p)^s}{B_r^{r+p}(t)} \sum_{h=0}^s \binom{s}{h} \left( \frac{-\alpha}{t} \right)^h \left( \frac{\beta}{1-t} \right)^{s-h}, \end{aligned}$$

于是引理得证.

**引理 12.9.3** 对于给定的  $r$  和  $p$ , 若  $\alpha, \beta$  如(12.9.5)所示,  $\theta \in (0, 1)$ , 则存在实数  $C \in (\sqrt{2\pi}/e, \sqrt{2\pi}e^2)$  使得

$$1/B_r^{r+p}(\theta) = C \sqrt{\alpha\beta(r+p)} \left( (\alpha/\theta)^\alpha (\beta/(1-\theta))^\beta \right)^{r+p}. \quad (12.9.6)$$

证 由 Sterling<sup>[6]</sup>公式  $n! = \sqrt{2\pi n} (n/e)^n e^{\xi_n}$ ,  $\xi_n \in (0, 1)$ , 易得证.

**定理 12.9.1** 若  $\alpha, \beta$  如(12.9.5)所示, 则移动控制顶点  $\mathbf{H}_r^{r,p}(t)$  当  $r+p \rightarrow \infty$  时收敛到一点的充分必要条件为  $\omega(t)$  的所有根  $\theta_i (i=1,2,\dots,d)$  满足

$$|\theta_i|^\alpha |1-\theta_i|^\beta > \alpha^\alpha \beta^\beta, \quad i=1,2,\dots,d. \quad (12.9.7)$$

证 显然, 当  $r+p \rightarrow \infty$  时  $\mathbf{H}_r^{r,p}(t)$  收敛到一点等价于

$$\|\mathbf{H}_r^{r,p}(t) - \mathbf{M}_0^{r,p}\| \rightarrow 0, \text{ 或 } \|\mathbf{H}_r^{r,p}(t) - \mathbf{M}_m^{r,p}\| \rightarrow 0, \quad 0 \leq t \leq 1. \quad (12.9.8)$$

记

$$\mathbf{Y}(i, j, s) = \binom{j}{s} \left( \frac{\beta}{1-\theta_i} - \frac{\alpha}{\theta_i} \right)^s \mathbf{R}^{(j-s)}(\theta_i). \quad (12.9.9)$$

由引理 12.9.1, 12.9.2 和 12.9.3 可知, 当  $r+p \rightarrow \infty$ ,

$$\begin{aligned} \mathbf{H}_r^{r,p}(t) - \mathbf{M}_0^{r,p} &= \frac{r+p+1}{r+1} \frac{t}{\omega(t)} \sum_{i=1}^d \sum_{j=0}^{l_i-1} L_{ij}(t) \sum_{s=0}^j \binom{j}{s} \left( \frac{1}{B_{r+1}^{r+p+1}(\theta_i)} \right)^s \mathbf{R}^{(j-s)}(\theta_i) \\ &\sim \frac{t}{\alpha \omega(t)} \sum_{i=1}^d \frac{1}{B_{r+1}^{r+p+1}(\theta_i)} \sum_{j=0}^{l_i-1} \sum_{s=0}^j L_{ij}(t) (r+p)^s \mathbf{Y}(i, j, s) \\ &= \sqrt{\frac{\beta}{\alpha}} \frac{t}{\omega(t)} \sum_{i=1}^d C \left( \left( \frac{\alpha}{\theta_i} \right)^\alpha \left( \frac{\beta}{1-\theta_i} \right)^\beta \right)^{r+p} \sum_{s=0}^{l_i-1} (r+p)^{s+\frac{1}{2}} \sum_{j=s}^{l_i-1} L_{ij}(t) \mathbf{Y}(i, j, s). \end{aligned} \quad (12.9.10)$$

类似地有

$$\begin{aligned} \mathbf{H}_r^{r,p}(t) - \mathbf{M}_m^{r,p} &\sim \sqrt{\frac{\alpha}{\beta}} \frac{t}{\omega(t)} \sum_{i=1}^d C \left( \left( \frac{\alpha}{\theta_i} \right)^\alpha \left( \frac{\beta}{1-\theta_i} \right)^\beta \right)^{r+p} \sum_{s=0}^{l_i-1} (r+p)^{s+\frac{1}{2}} \sum_{j=s}^{l_i-1} L_{ij}(t) \mathbf{Y}(i, j, s). \end{aligned} \quad (12.9.11)$$

由(12.9.10)和(12.9.11)可知当  $r+p \rightarrow \infty$  时(12.9.8)成立当且仅当

$$|\alpha/\theta_i|^\alpha |\beta/(1-\theta_i)|^\beta < 1, \quad i=1,2,\dots,d.$$

于是定理得证.

下面分析(12.9.7)的表现形式. 易知对不同的  $\alpha$ , 条件(12.9.7)分别为:

$$\begin{aligned} 4|\theta_i| |1-\theta_i| > 1 \quad (\alpha=1/2); \quad 27|\theta_i| |1-\theta_i|^2 > 4 \quad (\alpha=1/3); \\ |\theta_i| > 1 \quad (\alpha=1); \quad |1-\theta_i| > 1 \quad (\alpha=0). \end{aligned}$$

区域(12.9.7)的边界曲线在复平面上为

$$|\theta|^\alpha |1-\theta|^\beta = \alpha^\alpha \beta^\beta, \quad (12.9.12)$$

其中  $\theta$  为复变量. 当  $\alpha=1/2$ , 边界曲线为双纽线(见图 12.4.1). 当  $\alpha=1/4$ , 边界曲线所围阴影区域见图 12.9.1. 如果  $\omega(t)$  的任一根落在阴影区域, 则移动控制顶点将发散.

若将  $t$  看作复变量, 由围道积分也可以得到定理 12.9.1.

显然对一条曲线而言, 其移动控制顶点  $\mathbf{H}_r^{r,p}(t)$  对某些  $\alpha$  可能收敛, 对其它  $\alpha$  可能发散.

**定理 12.9.2** 当  $r+p \rightarrow \infty$ , 将有下面三种情况之一成立:

- 对任何  $\alpha \in [0,1]$ ,  $\mathbf{H}_r^{r,p}(t)$  都收敛到一点当且仅当  
 $|\theta_i| > 1$  且  $|1-\theta_i| > 1, \quad i=1,2,\dots,d;$
- 对任何  $\alpha \in [0,1]$ ,  $\mathbf{H}_r^{r,p}(t)$  都发散当且仅当  $\omega(t)$  至少存在两个根  $\theta_i, \theta_j$  和一个  $\alpha \in (0,1)$  满足

$$|\theta_i|^\alpha |1-\theta_i|^\beta < \alpha^\alpha \beta^\beta, \quad |\theta_j|^\alpha |1-\theta_j|^\beta < \alpha^\alpha \beta^\beta, \quad (12.9.13)$$

$$\operatorname{Re}(\theta_i) < \alpha < \operatorname{Re}(\theta_j); \quad (12.9.14)$$

• 对其它情形,  $\mathbf{H}_r^{r,p}(t)$  对于某些  $\alpha \in [0,1]$  收敛, 而对于其它  $\alpha \in [0,1]$  将发散.

条件(12.9.13)和(12.9.14)的几何意义为  $\omega(t)$  的两个根  $\theta_i, \theta_j$  落在曲线(12.9.12)的两个不同的分支所围区域中, 如图 12.9.2 所示.

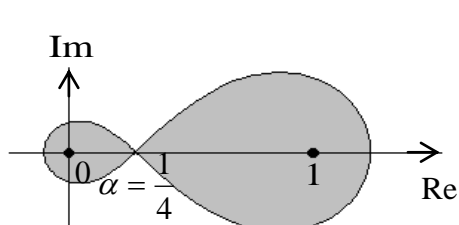


图 12.9.1 复平面上  $\mathbf{H}_r^{r,p}(t)$  的发散区域

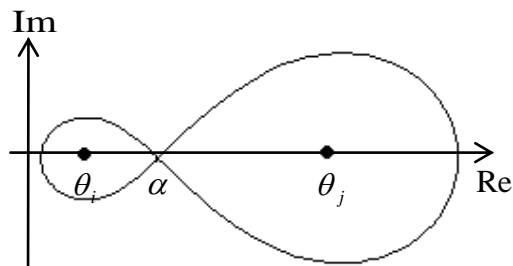


图 12.9.2  $\mathbf{H}_r^{r,p}(t)$  的始终收敛区域

设  $\psi$  表示能使  $\mathbf{H}_r^{r,p}(t)$  收敛的所有实数  $\alpha$  的集合, 它可以用以下的方法得到.

首先, 对每一  $\theta_i$ , 将(12.9.7)看作一个关于  $\alpha$  的不等式, 按下式求解  $I_i$ :

$$I_i = \begin{cases} [0,1], & \text{当 } |\theta_i| > 1, |1-\theta_i| > 1; \\ [0, \max_i], & \text{当 } |\theta_i| \leq 1, |1-\theta_i| > 1; \\ (\min_i, 1], & \text{当 } |\theta_i| > 1, |1-\theta_i| \leq 1; \\ (\min_i, \max_i), & \text{当 } |\theta_i| \leq 1, |1-\theta_i| \leq 1; \end{cases}$$

其中  $\min_i$  和  $\max_i$  为以  $\alpha$  为未知量的方程(12.9.12)中取  $\theta = \theta_i$  时的解,  $\min_i$  为实部小于  $\theta_i$  的解,  $\max_i$  为实部大于  $\theta_i$  的解. 于是  $\psi$  为所有  $I_i$  ( $i=1,2,\dots,d$ ) 的交集, 即

$$\psi = \bigcap_{i=1}^d I_i.$$

**例 12.9.1** 设  $\mathbf{R}(t)$  为有理二次 Bézier 曲线(12.1.1),  $m=2$ .

(1) 当  $\omega_0 = \omega_2 = 1, \omega_1 = 13/6$ , 则  $\theta_1 = -2, \theta_2 = 3$ . 由于  $|\theta_i| > 1$  并且  $|1-\theta_i| > 1$ ,  $i=1,2$ , 即  $\psi = [0,1]$ , 因此  $\mathbf{H}_r^{r,p}(t)$  始终收敛.

(2) 当  $\omega_0 = \omega_2 = 1, \omega_1 = 37/6$ , 则  $\theta_1 = -0.2, \theta_2 = 1.2$ . 由于  $|\theta_i| \leq 1, |1-\theta_i| < 1/4$ ,  $i=1,2$ , 即  $\psi$  为空集, 因此  $\mathbf{H}_r^{r,p}(t)$  始终发散.

(3) 当  $\omega_0 = 3, \omega_1 = 12, \omega_2 = 20$ , 则  $\theta_1 = -0.2, \theta_2 = 3$ . 由于  $|\theta_1| \leq 1, |1-\theta_1| = 0.24 < 1/4$ ,  $|\theta_i|^{1/3} |1-\theta_i|^{2/3} > (1/3)^{1/3} (2/3)^{2/3}$ ,  $i=1,2$ , 此时  $\mathbf{H}_r^{r,p}(t)$  当  $\alpha = 1/3$  时收敛, 而当  $\alpha = 1/2$  时发散. 而且易得  $\psi = [0, 0.488460)$ .

## 12.10 用新的观点研究有理 Bézier 曲线的 $H\langle r, p \rangle$ 逼近

为了把有理曲线的多项式逼近十分容易地推广到有理曲面的多项式逼近, 也为了把 Hybrid 曲线的所有控制顶点用一个统一的公式来表达以简化编程计算, 本节用一个新观点来重新研究有理曲线的 Hybrid 逼近, 即把 Hybrid 曲线的控制顶点先都视作移动控制顶点再来求解.

**定义 12.10.1** 对曲线(12.1.1), 定义与之等价的  $r+p$  次 Hybrid 曲线为

$$\mathbf{H}^{r,p}(t) \equiv \mathbf{R}(t) = \sum_{i=0}^{r+p} B_i^{r+p}(t) \mathbf{H}_i^{r,p}(t), \quad 0 \leq t \leq 1, \quad (12.10.1)$$

这里

$$\mathbf{H}_i^{r,p}(t) = \sum_{k=0}^m B_k^m(t) \omega_k \mathbf{M}_{ik}^{r,p} / \sum_{k=0}^m B_k^m(t) \omega_k, \quad 0 \leq t \leq 1 \quad (12.10.2)$$

是 Hybrid 曲线(12.10.1)的移动控制顶点, 其中  $\{\mathbf{M}_{ik}^{r,p}\}_{k=0}^m$  是曲线(12.10.2)的控制顶点; 当  $\mathbf{M}_{i0}^{r,p} = \mathbf{M}_{i1}^{r,p} = \dots = \mathbf{M}_{im}^{r,p} =: \mathbf{M}_{i*}^{r,p}$  时,  $\mathbf{H}_i^{r,p}(t) \equiv \mathbf{M}_{i*}^{r,p}$  与  $t$  无关, 这时称  $\mathbf{H}_i^{r,p}(t)$  为(12.10.1)的固定控制顶点, 并记  $\mathbf{M}_{ik}^{r,p}$  为  $\mathbf{M}_{i*}^{r,p}$ ,  $k=0,1,\dots,m$ . 为了由曲线(12.1.1)得到曲线(12.10.2)的表达式, 按(12.10.1), (12.10.2), 我们有

$$\sum_{k=0}^m B_k^m(t) \omega_k \mathbf{R}_k \Big/ \sum_{k=0}^m B_k^m(t) \omega_k = \sum_{i=0}^{r+p} B_i^{r+p}(t) \left( \sum_{k=0}^m B_k^m(t) \omega_k \mathbf{M}_{ik}^{r,p} \Big/ \sum_{k=0}^m B_k^m(t) \omega_k \right). \quad (12.10.3)$$

对上式消去分母, 左端乘以  $\sum_{i=0}^{r+p} B_i^{r+p}(t) \equiv 1$ , 合并同类项并化简, 得到

$$\sum_{I=0}^{r+p+m} \sum_{a+c=I} B_I^{r+p+m}(t) \left( \binom{m}{a} \binom{r+p}{c} \Big/ \binom{r+p+m}{I} \right) \omega_a (\mathbf{R}_a - \mathbf{M}_{ca}^{r,p}) = \mathbf{0}. \quad (12.10.4)$$

按基函数的线性无关性可有方程组

$$\sum_{a+c=I} \binom{m}{a} \binom{r+p}{c} \omega_a (\mathbf{R}_a - \mathbf{M}_{ca}^{r,p}) = \mathbf{0}, \quad I = 0, 1, \dots, r+p+m. \quad (12.10.5)$$

在这一方程组中, 未知向量  $\mathbf{M}_{i,k}^{r,p}$  的总个数为  $(r+p+1)(m+1)$ , 方程总数为  $r+p+m+1$ .

为使方程组有唯一解, 我们可把移动控制顶点  $\{\mathbf{H}_i^{r,p}(t)\}_{i=0}^{r+p}$  中的前  $r$  个和后  $p$  个都取为固定控制顶点, 仅保留其中的一个, 即  $\mathbf{H}_r^{r,p}(t)$  为真正的移动控制顶点, 这意味着有  $\mathbf{M}_{i*}^{r,p}$ , 使得

$$\mathbf{H}_i^{r,p}(t) \equiv \mathbf{M}_{ik}^{r,p} \equiv \mathbf{M}_{i*}^{r,p}, \quad i = 0, 1, \dots, r-1, r+1, \dots, r+p; \quad k = 0, 1, \dots, m. \quad (12.10.6)$$

因而我们的目标是求出  $\{\mathbf{M}_{i*}^{r,p}\}_{i=0, i \neq r}^{r+p}$  和  $\{\mathbf{M}_{rk}^{r,p}\}_{k=0}^m$ . 容易得出

**算法 12.10.1** (由  $\mathbf{R}(t)$  计算相应的  $\mathbf{H}^{r,p}(t)$ )

$$\mathbf{M}_{ik}^{r,p} = \begin{cases} \mathbf{R}_0 = \mathbf{M}_{0*}^{r,p}, & i = 0; \\ \mathbf{R}_0 + \left( \binom{r+p}{i} \omega_0 \right)^{-1} \sum_{\substack{a+c=i \\ a \neq 0}} \binom{m}{a} \binom{r+p}{c} \omega_a (\mathbf{R}_a - \mathbf{M}_{c*}^{r,p}) = \mathbf{M}_{i*}^{r,p}, & i = 1, 2, \dots, r-1; k = 0, 1, \dots, m; \\ \mathbf{R}_k + \left( \binom{m}{k} \binom{r+p}{r} \omega_k \right)^{-1} \sum_{\substack{a+c=r+k \\ a \neq k}} \binom{m}{a} \binom{r+p}{c} \omega_a (\mathbf{R}_a - \mathbf{M}_{c*}^{r,p}), & i = r; k = 0, 1, \dots, m; \\ \mathbf{R}_m + \left( \binom{r+p}{i} \omega_m \right)^{-1} \sum_{\substack{a+c=m+i \\ a \neq m}} \binom{m}{a} \binom{r+p}{c} \omega_a (\mathbf{R}_a - \mathbf{M}_{c*}^{r,p}) = \mathbf{M}_{i*}^{r,p}, & i = r+p-1, r+p-2, \dots, r+1; k = 0, 1, \dots, m; \\ \mathbf{R}_m, & i = r+p. \end{cases} \quad (12.10.7)$$

必须指出, 上式蕴含着  $\mathbf{M}_{0k}^{r,p} = \mathbf{R}_0 = \mathbf{M}_{0*}^{r,p}$ ,  $\mathbf{M}_{r+p,k}^{r,p} = \mathbf{R}_m = \mathbf{M}_{r+p,*}^{r,p}$ ,  $0 \leq a \leq m$ ,  $0 \leq c \leq r+p$ . 下面推导由  $\mathbf{H}^{r,p}(t)$  计算  $\mathbf{H}^{r+1,p}(t)$ , 即由  $\{\mathbf{M}_{ik}^{r,p}\}_{i=0, k=0}^{r+p, m}$  计算  $\{\mathbf{M}_{ik}^{r+1,p}\}_{i=0, k=0}^{r+p+1, m}$  的递推公式. 先把  $\mathbf{H}_i^{r,p}(t)$  表成  $1+0$  次 Hybrid 曲线

$$\bar{\mathbf{H}}_i^{1,0}(t) = \mathbf{H}_i^{r,p}(t) = \sum_{a=0}^1 B_a^1(t) \left( \sum_{k=0}^m B_k^m(t) \omega_k \bar{\mathbf{M}}_{iak}^{1,0} \Big/ \sum_{k=0}^m B_k^m(t) \omega_k \right), \quad (12.10.8)$$

容易看出对  $k = 0, 1, \dots, m$ ,

$$\overline{\mathbf{M}}_{iak}^{1,0} = \begin{cases} \overline{\mathbf{M}}_{ia^*}^{1,0} = \mathbf{M}_{i^*}^{r,p}, & i \neq r, a = 0, 1; \\ \overline{\mathbf{M}}_{r0^*}^{1,0} = \mathbf{M}_{r0}^{r,p}, & i = r, a = 0; \\ \overline{\mathbf{M}}_{r1k}^{1,0}, & i = r, a = 1. \end{cases} \quad (12.10.9)$$

再记

$$\begin{cases} g_k = \binom{m}{k+1} \omega_{k+1} / \left( \binom{m}{k} \omega_k \right) = \frac{(m-k)\omega_{k+1}}{(k+1)\omega_k}, & k = 0, 1, \dots, m-1; \\ g_m = g_{-1}^{-1} = 0, \end{cases} \quad (12.10.10)$$

按算法 12.10.1 可解出

$$\overline{\mathbf{M}}_{iak}^{1,0} = \begin{cases} \mathbf{M}_{i0}^{r,p}, & a = 0; \\ \mathbf{M}_{ik}^{r,p} + g_k (\mathbf{M}_{i,k+1}^{r,p} - \mathbf{M}_{i0}^{r,p}), & a = 1, \quad k = 0, 1, \dots, m. \end{cases} \quad (12.10.11)$$

把(12.10.8)代入(12.10.1)得

$$\begin{aligned} \mathbf{H}^{r,p}(t) &= \sum_{i=0}^{r+p+1} B_i^{r+p+1}(t) \left( \sum_{k=0}^m B_k^m(t) \omega_k \overline{\mathbf{M}}_{ik}^{1,0} / \sum_{k=0}^m B_k^m(t) \omega_k \right), \\ \overline{\mathbf{M}}_{ik}^{1,0} &= \left( \binom{r+p}{i} \overline{\mathbf{M}}_{i0k}^{1,0} + \binom{r+p}{i-1} \overline{\mathbf{M}}_{i-1,k}^{1,0} \right) / \binom{r+p+1}{i}, \\ &\quad i = 0, 1, \dots, r+p+1; \quad k = 0, 1, \dots, m. \end{aligned} \quad (12.10.12)$$

利用恒等式  $\mathbf{H}^{r,p}(t) \equiv \mathbf{H}^{r+1,p}(t) = \mathbf{R}(t)$ , 我们有

$$\sum_{l=0}^{r+1+p+m} B_l^{r+1+p+m}(t) \sum_{i+k=l} \binom{m}{k} \binom{r+1+p}{i} \omega_k (\mathbf{M}_{ik}^{r+1,p} - \overline{\mathbf{M}}_{ik}^{1,0}) / \binom{r+1+p+m}{l} = \mathbf{0},$$

再由基的线性无关性可以得到

$$\sum_{i+k=l} \binom{m}{k} \binom{r+1+p}{i} \omega_k (\mathbf{M}_{ik}^{r+1,p} - \overline{\mathbf{M}}_{ik}^{1,0}) = \mathbf{0}, \quad l = 0, 1, \dots, r+1+p+m. \quad (12.10.13)$$

由(12.10.12)和(12.10.9)可知, 当  $i \neq r, r+1$  时,  $\overline{\mathbf{M}}_{ik}^{1,0}$  是  $\mathbf{M}_{i^*}^{r,p}$  和  $\mathbf{M}_{i-1,*}^{r,p}$  的线性组合, 而  $\overline{\mathbf{M}}_{rk}^{1,0}$  是  $\mathbf{M}_{r0}^{r,p}$  和  $\mathbf{M}_{r-1,*}^{r,p}$  的线性组合, 这表明当  $i \neq r+1$  时  $\overline{\mathbf{M}}_{ik}^{1,0}$  与  $k$  无关, 于是我们可记

$$\overline{\mathbf{M}}_{ik}^{1,0} = \overline{\mathbf{M}}_{i^*}^{1,0}, \quad i \neq r+1; \quad k = 0, 1, \dots, m.$$

另一方面, 按条件(12.10.6)对照曲线  $\mathbf{H}^{r+1,p}(t)$ , 我们有

$$\mathbf{M}_{ik}^{r+1,p} = \mathbf{M}_{i^*}^{r+1,p}, \quad i \neq r+1; \quad k = 0, 1, \dots, m.$$

以上两式表明方程组(12.10.13)只有  $r+p+m+2$  个未知向量  $\{\mathbf{M}_{i^*}^{r+1,p}\}_{i=0, i \neq r+1}^{r+p+1}$ ,  $\{\mathbf{M}_{r+1,k}^{r+1,p}\}_{k=0}^m$ ; 类似于方程组(12.10.5)的解法, 我们可依次解出  $\mathbf{M}_{i^*}^{r+1,p} = \overline{\mathbf{M}}_{i^*}^{1,0}$  ( $i = 0, 1, \dots, r$ );  $\mathbf{M}_{i^*}^{r+1,p} = \overline{\mathbf{M}}_{i^*}^{1,0}$  ( $i = r+p+1, r+p, \dots, r+2$ );  $\mathbf{M}_{r+1,k}^{r+1,p} = \overline{\mathbf{M}}_{r+1,k}^{1,0}$  ( $k = 0, 1, \dots, m$ ); 即

$$\mathbf{M}_{ik}^{r+1,p} = \overline{\mathbf{M}}_{ik}^{1,0}, \quad i = 0, 1, \dots, r+p+1; \quad k = 0, 1, \dots, m. \quad (12.10.14)$$

把(12.10.12), (12.10.11)代入上式就得到  $\mathbf{H}^{r+1,p}(t)$  与  $\mathbf{H}^{r,p}(t)$  的控制顶点递推关系

$$\begin{aligned} \mathbf{M}_{ik}^{r+1,p} &= \left[ \binom{r+p}{i-1} (\mathbf{M}_{i-1,k}^{r,p} + g_k (\mathbf{M}_{i-1,k+1}^{r,p} - \mathbf{M}_{i-1,0}^{r,p})) + \binom{r+p}{i} \mathbf{M}_{i0}^{r,p} \right] / \binom{r+p+1}{i}, \\ &\quad i = 0, 1, \dots, r+p+1; \quad k = 0, 1, \dots, m. \end{aligned} \quad (12.10.15)$$

利用对称性, 我们有

$$\begin{aligned} \mathbf{M}_{ik}^{r,p+1} &= \left[ \binom{r+p}{i-1} \mathbf{M}_{i-1,m}^{r,p} + \binom{r+p}{i} (\mathbf{M}_{ik}^{r,p} + g_{k-1}^{-1} (\mathbf{M}_{i,k-1}^{r,p} - \mathbf{M}_{im}^{r,p})) \right] / \binom{r+p+1}{i}, \\ &\quad i = 0, 1, \dots, r+p+1; \quad k = 0, 1, \dots, m. \end{aligned} \quad (12.10.16)$$

综合以上两式, 进一步可得到  $\mathbf{H}^{r+1,p+1}(t)$  与  $\mathbf{H}^{r,p}(t)$  的控制顶点递推关系

$$\begin{aligned} \mathbf{M}_{ik}^{r+1,p+1} = & \left[ \binom{r+p}{i-2} \mathbf{M}_{i-2,m}^{r,p} + \binom{2}{1} \binom{r+p}{i-1} \left( \mathbf{M}_{i-1,k}^{r,p} + \frac{1}{2} g_k (\mathbf{M}_{i-1,k+1}^{r,p} - \mathbf{M}_{i-1,0}^{r,p}) \right. \right. \\ & \left. \left. + \frac{1}{2} g_{k-1} (\mathbf{M}_{i-1,k-1}^{r,p} - \mathbf{M}_{i-1,m}^{r,p}) \right) + \binom{r+p}{i} \mathbf{M}_{i,0}^{r,p} \right] / \binom{r+p+2}{i}, \\ & i = 0, 1, \dots, r+p+2; \quad k = 0, 1, \dots, m. \end{aligned} \quad (12.10.17)$$

按照(12.10.6), 以上三式可分别被简化, 从而得到

**算法 12.10.2** (由  $\mathbf{H}^{r,p}(t)$  计算  $\mathbf{H}^{r+1,p}(t)$ ,  $\mathbf{H}^{r,p+1}(t)$  和  $\mathbf{H}^{r+1,p+1}(t)$ )

$$\left\{ \begin{aligned} \mathbf{M}_{i^*}^{r+1,p} &= \left[ \binom{r+p}{i-1} \mathbf{M}_{i-1,*}^{r,p} + \binom{r+p}{i} \mathbf{M}_{i0}^{r,p} \right] / \binom{r+p+1}{i}, \\ & \quad i = 0, 1, \dots, r, r+2, \dots, r+p+1; \\ \begin{pmatrix} \mathbf{M}_{r+1,0}^{r+1,p} \\ \mathbf{M}_{r+1,1}^{r+1,p} \\ \vdots \\ \mathbf{M}_{r+1,m}^{r+1,p} \end{pmatrix} &= \mathbf{C}_m^{r,p} \begin{pmatrix} \mathbf{M}_{r0}^{r,p} \\ \mathbf{M}_{r1}^{r,p} \\ \vdots \\ \mathbf{M}_{rm}^{r,p} \end{pmatrix} + \frac{p}{r+p+1} \begin{pmatrix} 1 \\ 1 \\ \vdots \\ 1 \end{pmatrix} \mathbf{M}_{r+1,*}^{r,p}; \end{aligned} \right. \quad (12.10.18)$$

$$\left\{ \begin{aligned} \mathbf{M}_{i^*}^{r,p+1} &= \left[ \binom{r+p}{i} \mathbf{M}_{i^*}^{r,p} + \binom{r+p}{i-1} \mathbf{M}_{i-1,m}^{r,p} \right] / \binom{r+p+1}{i}, \\ & \quad i = 0, 1, \dots, r-1, r+1, \dots, r+p+1; \\ \begin{pmatrix} \mathbf{M}_{r0}^{r,p+1} \\ \mathbf{M}_{r1}^{r,p+1} \\ \vdots \\ \mathbf{M}_{rm}^{r,p+1} \end{pmatrix} &= \mathbf{D}_m^{r,p} \begin{pmatrix} \mathbf{M}_{r0}^{r,p} \\ \mathbf{M}_{r1}^{r,p} \\ \vdots \\ \mathbf{M}_{rm}^{r,p} \end{pmatrix} + \frac{r}{r+p+1} \begin{pmatrix} 1 \\ 1 \\ \vdots \\ 1 \end{pmatrix} \mathbf{M}_{r-1,*}^{r,p}; \end{aligned} \right. \quad (12.10.19)$$

$$\left\{ \begin{aligned} \mathbf{M}_{i^*}^{r+1,p+1} &= \mathbf{E}_i^{r,p} \begin{pmatrix} \mathbf{M}_{i-2,m}^{r,p} \\ \mathbf{M}_{i-1,*}^{r,p} \\ \mathbf{M}_{i0}^{r,p} \end{pmatrix}, \quad i = 0, 1, \dots, r, r+2, \dots, r+p+1; \\ \begin{pmatrix} \mathbf{M}_{r+1,0}^{r+1,p+1} \\ \mathbf{M}_{r+1,1}^{r+1,p+1} \\ \vdots \\ \mathbf{M}_{r+1,m}^{r+1,p+1} \end{pmatrix} &= \begin{pmatrix} \mathbf{U}_m^{r,p} & \mathbf{V}_m^{r,p} & \mathbf{W}_m^{r,p} \end{pmatrix} \begin{pmatrix} \mathbf{M}_{r-1,*}^{r,p} \\ \mathbf{M}_{r0}^{r,p} \\ \vdots \\ \mathbf{M}_{rm}^{r,p} \\ \mathbf{M}_{r+1,*}^{r,p} \end{pmatrix}. \end{aligned} \right. \quad (12.10.20)$$

这里  $\mathbf{C}_m^{r,p}, \mathbf{D}_m^{r,p}, \mathbf{V}_m^{r,p}$  为  $(m+1) \times (m+1)$  阶矩阵,  $\mathbf{E}_i^{r,p}$  为  $1 \times 3$  阶矩阵,  $\mathbf{U}_m^{r,p}, \mathbf{W}_m^{r,p}$  为  $(m+1) \times 1$  阶矩阵:

$$\mathbf{C}_m^{r,p} = \frac{r+1}{r+p+1} \begin{pmatrix} 1-g_0 & g_0 & 0 & \cdots & 0 & 0 \\ -g_1 & 1 & g_1 & \cdots & 0 & 0 \\ -g_2 & 0 & 1 & \cdots & 0 & 0 \\ \vdots & \vdots & \vdots & \cdots & \vdots & \vdots \\ -g_{m-1} & 0 & 0 & \cdots & 1 & g_{m-1} \\ 0 & 0 & 0 & \cdots & 0 & 1 \end{pmatrix}, \quad (12.10.21)$$

$$\mathbf{D}_m^{r,p} = \frac{p+1}{r+p+1} \begin{pmatrix} 1 & 0 & 0 & \cdots & 0 & 0 \\ g_0^{-1} & 1 & 0 & \cdots & 0 & -g_0^{-1} \\ 0 & g_1^{-1} & 1 & \cdots & 0 & -g_1^{-1} \\ \vdots & \vdots & \vdots & \cdots & \vdots & \vdots \\ 0 & 0 & 0 & \cdots & 1 & -g_{m-2}^{-1} \\ 0 & 0 & 0 & \cdots & g_{m-1}^{-1} & 1-g_{m-1}^{-1} \end{pmatrix}, \quad (12.10.22)$$

$$\mathbf{E}_i^{r,p} = \left( \binom{r+p}{i-2} \binom{r+p}{i-1} \binom{r+p}{i} \right) / \binom{r+p+1}{i}, \quad (12.10.23)$$

$$\mathbf{U}_m^{r,p} = \frac{r(r+1)}{(r+p+1)(r+p+2)} \begin{pmatrix} 1 \\ 1 \\ \vdots \\ 1 \end{pmatrix}, \quad (12.10.24)$$

$$\mathbf{W}_m^{r,p} = \frac{p(p+1)}{(r+p+1)(r+p+2)} \begin{pmatrix} 1 \\ 1 \\ \vdots \\ 1 \end{pmatrix}, \quad (12.10.25)$$

$$\mathbf{V}_m^{r,p} = \frac{(r+1)(p+1)}{(r+p+1)(r+p+2)} \begin{pmatrix} 2-g_0 & g_0 & 0 & \cdots & 0 & 0 & 0 \\ g_0^{-1}-g_1 & 2 & g_1 & \cdots & 0 & 0 & -g_0^{-1} \\ -g_2 & g_1^{-1} & 2 & \cdots & 0 & 0 & -g_1^{-1} \\ \vdots & \vdots & \vdots & \ddots & \vdots & \vdots & \vdots \\ -g_{m-2} & 0 & 0 & \cdots & 2 & g_{m-2} & -g_{m-3}^{-1} \\ -g_{m-1} & 0 & 0 & \cdots & g_{m-2}^{-1} & 2 & g_{m-1}-g_{m-2}^{-1} \\ 0 & 0 & 0 & \cdots & 0 & g_{m-1}^{-1} & 2-g_{m-1}^{-1} \end{pmatrix}. \quad (12.10.26)$$

## 12.11 有理 B ézier 曲面的 Hybrid 表示

**定义 12.11.1** 已给一张  $m \times n$  次有理 B ézier 曲面(7.4.2)即  $\mathbf{R}(u, v)$ , 我们称与之等价的曲面

$$\mathbf{H}^{r,p;s,q}(u, v) \equiv \mathbf{R}(u, v) = \sum_{i=0}^{r+p} \sum_{j=0}^{s+q} B_i^{r+p}(u) B_j^{s+q}(v) \mathbf{H}_{ij}^{r,p;s,q}(u, v) \quad (12.11.1)$$

是相应于有理曲面  $\mathbf{R}(u, v)$  的  $(r+p) \times (s+q)$  次 Hybrid 曲面, 这里

$$\mathbf{H}_{ij}^{r,p;s,q}(u, v) = \sum_{k=0}^m \sum_{l=0}^n B_k^m(u) B_l^n(v) \omega_{kl} \mathbf{M}_{ijkl}^{r,p;s,q} / \sum_{k=0}^m \sum_{l=0}^n B_k^m(u) B_l^n(v) \omega_{kl} \quad (12.11.2)$$

是 Hybrid 曲面  $\mathbf{H}^{r,p;s,q}(u, v)$  的移动控制顶点, 是与曲面  $\mathbf{R}(u, v)$  同次数且同权因子的有理

B ézier 曲面, 其中  $\{\mathbf{M}_{ijkl}^{r,p;s,q}\}_{i=0, j=0, k=0, l=0}^{r+p, s+q, m, n}$  是曲面  $\mathbf{H}_{i,j}^{r,p;s,q}(u, v)$  的控制顶点; 当  $\{\mathbf{M}_{ijkl}^{r,p;s,q}\}_{k=0}^m$  与  $k$

无关时, 称其为 Hybrid 曲面  $\mathbf{H}^{r,p;s,q}(u, v)$  的  $u$  向固定 ( $v$  向移动) 控制顶点, 简记为  $\mathbf{M}_{ijkl}^{r,p;s,q} = \mathbf{M}_{ij*l}^{r,p;s,q}, k = 0, 1, \dots, m$ , 这时移动控制顶点  $\mathbf{H}_{ij}^{r,p;s,q}(u, v)$  退化为权因子  $\bar{\omega}_l =$

$\bar{\omega}_l(u) = \sum_{k=0}^m B_k^m(u) \omega_{kl}$  的一条有理 B ézier 曲线  $\sum_{l=0}^n B_l^n(v) \bar{\omega}_l(u) \mathbf{M}_{ij*l}^{r,p;s,q} / \sum_{l=0}^n B_l^n(v) \bar{\omega}_l(u)$ ; 当

$\{\mathbf{M}_{ijkl}^{r,p;s,q}\}_{l=0}^n$  与  $l$  无关时, 称其为 Hybrid 曲面  $\mathbf{H}^{r,p;s,q}(u, v)$  的  $v$  向固定 ( $u$  向移动) 控制顶点, 简

记为  $\mathbf{M}_{ijkl}^{r,p;s,q} = \mathbf{M}_{ijk*}^{r,p;s,q}, l = 0, 1, \dots, n$ , 这时移动控制顶点  $\mathbf{H}_{ij}^{r,p;s,q}(u, v)$  退化为权因子  $\bar{\omega}_k =$

$\bar{\omega}_k(v) = \sum_{l=0}^n B_l^n(v) \omega_{kl}$  的一条有理 B ézier 曲线  $\sum_{k=0}^m B_k^m(u) \bar{\omega}_k(v) \mathbf{M}_{ijk*}^{r,p;s,q} / \sum_{k=0}^m B_k^m(u) \bar{\omega}_k(v)$ ; 当

$\{\mathbf{M}_{ijkl}^{r,p;s,q}\}_{k=0, l=0}^{m, n}$  与  $k, l$  均无关时, 称其为 Hybrid 曲面  $\mathbf{H}^{r,p;s,q}(u, v)$  的双向固定控制顶点, 并简

记为  $\mathbf{M}_{ijkl}^{r,p;s,q} = \mathbf{M}_{ij**}^{r,p;s,q}, k = 0, 1, \dots, m; l = 0, 1, \dots, n$ , 这时移动控制顶点  $\mathbf{H}_{ij}^{r,p;s,q}(u, v)$  退化

为一点  $\mathbf{M}_{ij**}^{r,p;s,q}$ .

现用 Hybrid 曲面表示有理 B ézier 曲面, 即把(7.4.2)和(12.11.2)代入(12.11.1), 消去分母, 左

端乘以  $\sum_{i=0}^{r+p} \sum_{j=0}^{s+q} B_i^{r+p}(u) B_j^{s+q}(v) \equiv 1$ , 合并同类项并化简, 得到



$$\sum_{l=0}^{r+p+m} \sum_{j=0}^{s+q+n} B_l^{r+p+m}(u) B_j^{s+q+n}(v) \sum_{a+c=l} \sum_{b+d=j} \frac{\binom{m}{a} \binom{n}{b} \binom{r+p}{c} \binom{s+q}{d}}{\binom{r+p+m}{I} \binom{s+q+n}{J}} \omega_{ab} (\mathbf{R}_{ab} - \mathbf{M}_{cdab}^{r,p;s,q}) = \mathbf{0}. \quad (12.11.3)$$

根据基函数的线性无关性可有方程组

$$\sum_{a+c=I} \sum_{b+d=J} \binom{m}{a} \binom{n}{b} \binom{r+p}{c} \binom{s+q}{d} \omega_{ab} (\mathbf{R}_{ab} - \mathbf{M}_{cdab}^{r,p;s,q}) = \mathbf{0}, \quad (12.11.4)$$

$$I = 0, 1, \dots, r+p+m; \quad J = 0, 1, \dots, s+q+n.$$

在这一方程组中, 未知向量  $\mathbf{M}_{ijkl}^{r,p;s,q}$  的总个数是  $(r+p+1)(s+q+1)(m+1)(n+1)$ , 方程数为  $(r+p+m+1)(s+q+n+1)$ , 为使方程组有唯一解, 必须把前一个数目减少到与后一个数目相等. 为此, 我们把若干个控制顶点  $\mathbf{M}_{ijkl}^{r,p;s,q}$  取为 Hybrid 曲面(12.11.1)在  $u$  向,  $v$  向或双向的固定控制顶点, 具体来说即让(见图 12.11.1)

$$\mathbf{M}_{ijkl}^{r,p;s,q} = \begin{cases} \mathbf{M}_{ij*l}^{r,p;s,q}, & i \neq r, j = s; l = 0, 1, \dots, n; \\ \mathbf{M}_{ijk*}^{r,p;s,q}, & i = r, j \neq s; k = 0, 1, \dots, m; \\ \mathbf{M}_{ij**}^{r,p;s,q}, & i \neq r, j \neq s; k = 0, 1, \dots, m; l = 0, 1, \dots, n. \end{cases} \quad (12.11.5)$$

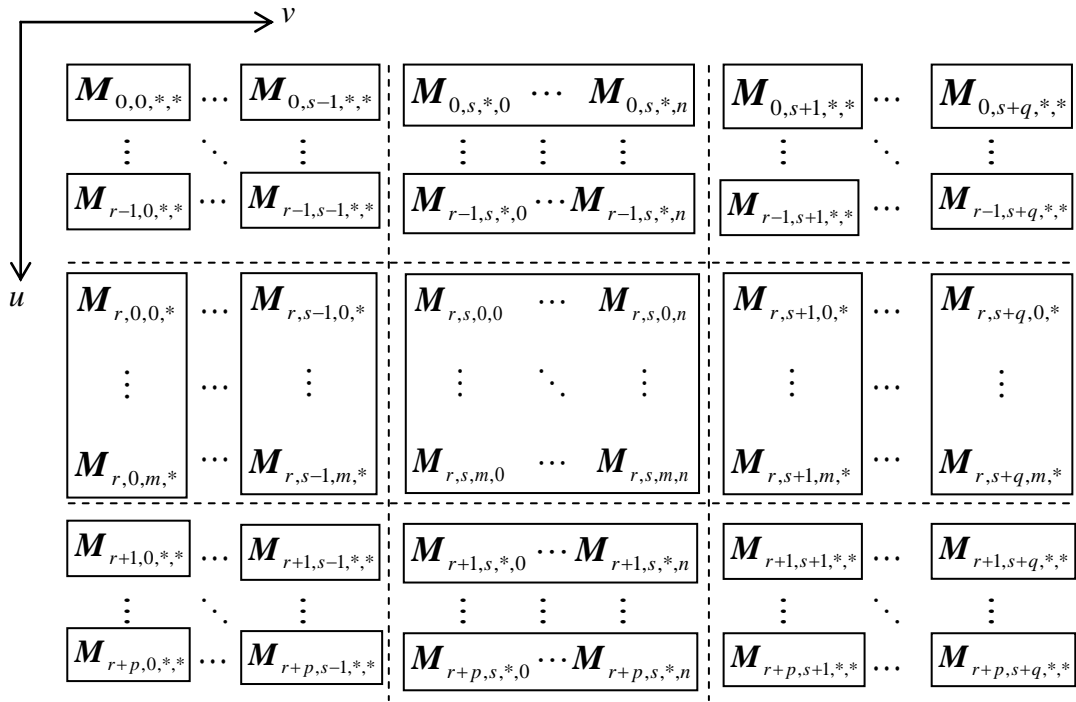


图 12.11.1 选取 Hybrid 曲面的移动控制顶点(图中省略上角标  $r, p; s, q$ )

这样, 未知向量数等于方程数, 我们可求解(12.11.4)得到

**算法 12.11.1** (由  $\mathbf{R}(u, v)$  计算  $\mathbf{H}^{r,p;s,q}(u, v)$ )

$$\mathbf{M}_{ij^{**}}^{r,p;s,q} = \begin{cases} \mathbf{R}_{00} + \frac{1}{\omega_{00}} \sum_{\substack{a+c=i \\ b+d=j \\ a \neq 0 \text{ 或 } b \neq 0}} S(a,b,c,d,i,j), & i=0,1,\dots,r-1; \quad j=0,1,\dots,s-1; \\ \mathbf{R}_{0n} + \frac{1}{\omega_{0n}} \sum_{\substack{a+c=i \\ b+d=n+j \\ a \neq 0 \text{ 或 } b \neq n}} S(a,b,c,d,i,j), & i=0,1,\dots,r-1; \quad j=s+q, s+q-1, \dots, s+1; \\ \mathbf{R}_{m0} + \frac{1}{\omega_{m0}} \sum_{\substack{a+c=m+i \\ b+d=j \\ a \neq m \text{ 或 } b \neq 0}} S(a,b,c,d,i,j), & i=r+p, r+p-1, \dots, r+1; \quad j=0,1,\dots,s-1; \\ \mathbf{R}_{mn} + \frac{1}{\omega_{mn}} \sum_{\substack{a+c=m+i \\ b+d=n+j \\ a \neq m \text{ 或 } b \neq n}} S(a,b,c,d,i,j), & i=r+p, r+p-1, \dots, r+1; \quad j=s+q, s+q-1, \dots, s+1; \end{cases} \quad (12.11.6)$$

$$\mathbf{M}_{rjk^*}^{r,p;s,q} = \begin{cases} \mathbf{R}_{k0} + \frac{1}{\binom{m}{k} \omega_{k0}} \sum_{\substack{a+c=k+r \\ b+d=j \\ a \neq k \text{ 或 } b \neq 0}} T(a,b,c,d,i,j), & j=0,1,\dots,s-1; \quad k=0,1,\dots,m; \\ \mathbf{R}_{kn} + \frac{1}{\binom{m}{k} \omega_{kn}} \sum_{\substack{a+c=k+r \\ b+d=n+j \\ a \neq k \text{ 或 } b \neq n}} T(a,b,c,d,i,j), & j=s+q, s+q-1, \dots, s+1; \quad k=0,1,\dots,m; \end{cases} \quad (12.11.7)$$

$$\mathbf{M}_{is^*l}^{r,p;s,q} = \begin{cases} \mathbf{R}_{0l} + \frac{1}{\binom{n}{l} \omega_{0l}} \sum_{\substack{a+c=i \\ b+d=l+s \\ a \neq 0 \text{ 或 } b \neq l}} T(a,b,c,d,i,j), & i=0,1,\dots,r-1; \quad l=0,1,\dots,n; \\ \mathbf{R}_{ml} + \frac{1}{\binom{n}{l} \omega_{ml}} \sum_{\substack{a+c=m+i \\ b+d=l+s \\ a \neq m \text{ 或 } b \neq l}} T(a,b,c,d,i,j), & i=r+p, r+p-1, \dots, r+1; \quad l=0,1,\dots,n; \end{cases} \quad (12.11.8)$$

$$\mathbf{M}_{rskl}^{r,p;s,q} = \mathbf{R}_{kl} + \frac{1}{\binom{m}{k} \binom{n}{l} \omega_{kl}} \sum_{\substack{a+c=k+r \\ b+d=l+s \\ a \neq k \text{ 或 } b \neq l}} T(a,b,c,d,i,j), \quad k=0,1,\dots,m; \quad l=0,1,\dots,n; \quad (12.11.9)$$

这里

$$S(a,b,c,d,i,j) = \left( \binom{r+p}{i} \binom{s+q}{j} \right)^{-1} \binom{m}{a} \binom{n}{b} \binom{r+p}{c} \binom{s+q}{d} \omega_{ab} (\mathbf{R}_{ab} - \mathbf{M}_{cd^{**}}^{r,p;s,q}), \quad (12.11.10)$$

$$T(a,b,c,d,i,j) = \left( \binom{r+p}{i} \binom{s+q}{j} \right)^{-1} \binom{m}{a} \binom{n}{b} \binom{r+p}{c} \binom{s+q}{d} \omega_{ab} (\mathbf{R}_{ab} - \mathbf{M}_{cdab}^{r,p;s,q}). \quad (12.11.11)$$

图 12.11.2 和 12.11.3 表示双三次有理 Bézier 曲面及相应的  $(2+2)(2+2)$  次 Hybrid 曲面.

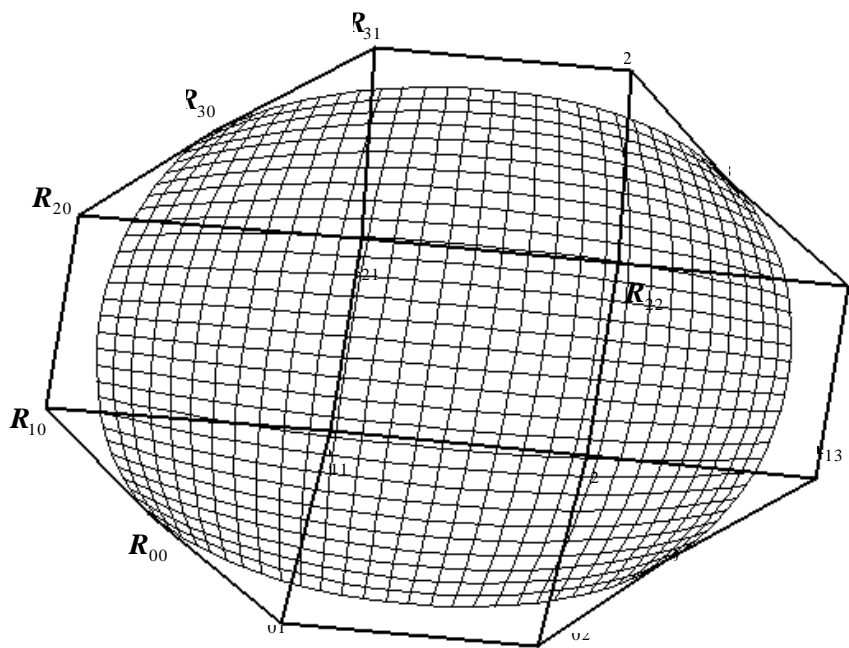


图 12.11.2  $3 \times 3$  次有理 B-spline 曲面

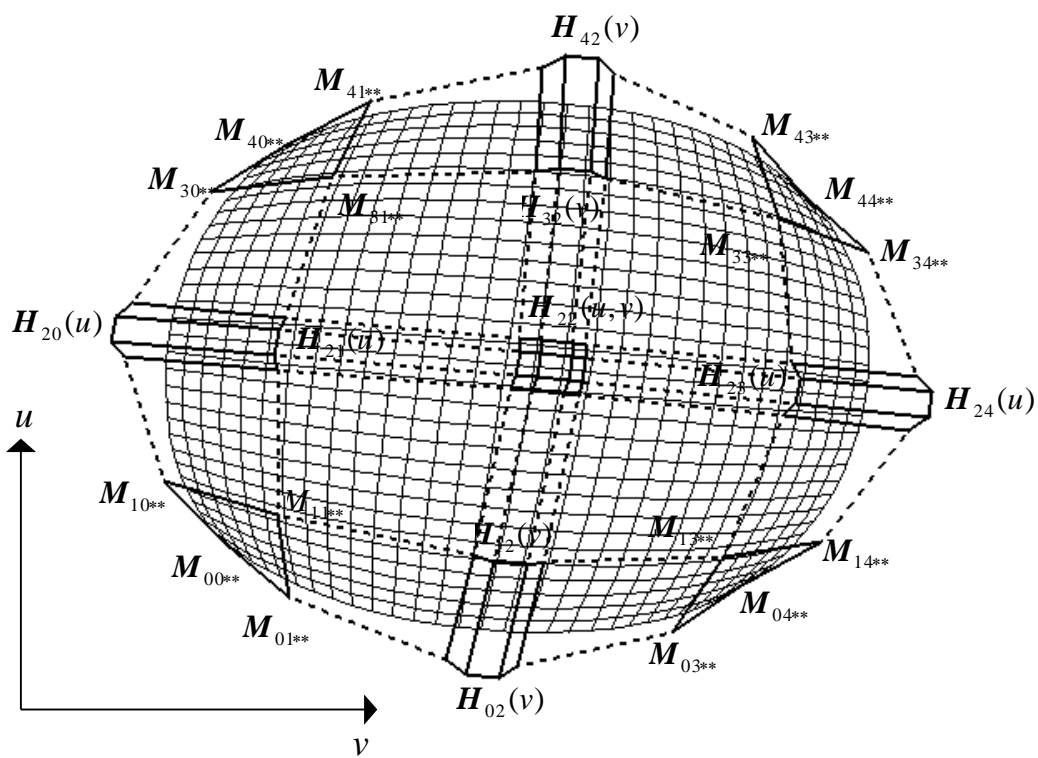


图 12.11.3  $(2+2) \times (2+2)$  次 Hybrid 曲面 (图中省略上角标 2,2;2,2)

## 12.12 有理 B ézier 曲面的两类多项式逼近 $H\langle r, p; s, q \rangle$ 和 $h\langle r, p; s, q \rangle$

### 12.12.1 有理曲面 Hybrid 逼近与 Hermite 逼近的定义

**定义 12.12.1** 若  $m \times n$  次有理 B ézier 曲面  $R(u, v)$  由(7.4.2)定义,  $(r+p)(s+q)$  次 Hybrid 曲面  $H^{r,p;s,q}(u, v)$  如定义 12.11.1, 单向或双向固定控制顶点的取法如(12.11.5), 今对每一组固定的  $(i, j)$  ( $i = r$  或  $j = s$ ), 在移动控制顶点  $H_{ij}^{r,p;s,q}(u, v)$  的控制顶点  $\{M_{ijkl}^{r,p;s,q}\}_{k=0, l=0}^{m, n}$  的凸包内任取一个固定点  $H_{ij}^{r,p;s,q}$  来代替  $H_{ij}^{r,p;s,q}(u, v)$ , 再假设

$$H_{ij}^{r,p;s,q} = M_{ij^{**}}^{r,p;s,q}, \quad (i \neq r \text{ 且 } j \neq s), \quad (12.12.1)$$

则  $(r+p)(s+q)$  次 B ézier 曲面

$$\tilde{H}^{r,p;s,q}(u, v) = \sum_{i=0}^{r+p} \sum_{j=0}^{s+q} B_i^{r+p}(u) B_j^{s+q}(v) H_{ij}^{r,p;s,q}, \quad 0 \leq u, v \leq 1 \quad (12.12.2)$$

称为  $[0,1] \otimes [0,1]$  上对于有理 B ézier 曲面  $R(u, v)$  的 Hybrid 逼近, 简称 H 逼近, 记为  $H\langle r, p; s, q \rangle$ .

**定义 12.12.2** 若有理 B ézier 曲面  $R(u, v)$  由(7.4.2)定义, 而  $(r+p-1)(s+q-1)$  次 B ézier 曲面

$$h^{r,p;s,q}(u, v) = \sum_{i=0}^{r+p-1} \sum_{j=0}^{s+q-1} B_i^{r+p-1}(u) B_j^{s+q-1}(v) h_{ij}^{r,p;s,q}, \quad 0 \leq u, v \leq 1 \quad (12.12.3)$$

在其四个角点处满足  $(r+p)(s+q)$  个等式

$$\begin{cases} \partial^{i+j} h^{r,p;s,q}(0,0)/(\partial u^i \partial v^j) = \partial^{i+j} R(0,0)/(\partial u^i \partial v^j), & i = 0,1,\dots,r-1; j = 0,1,\dots,s-1; \\ \partial^{i+j} h^{r,p;s,q}(0,1)/(\partial u^i \partial v^j) = \partial^{i+j} R(0,1)/(\partial u^i \partial v^j), & i = 0,1,\dots,r-1; j = 0,1,\dots,q-1; \\ \partial^{i+j} h^{r,p;s,q}(1,0)/(\partial u^i \partial v^j) = \partial^{i+j} R(1,0)/(\partial u^i \partial v^j), & i = 0,1,\dots,p-1; j = 0,1,\dots,s-1; \\ \partial^{i+j} h^{r,p;s,q}(1,1)/(\partial u^i \partial v^j) = \partial^{i+j} R(1,1)/(\partial u^i \partial v^j), & i = 0,1,\dots,p-1; j = 0,1,\dots,q-1. \end{cases} \quad (12.12.4)$$

则称曲面  $h^{r,p;s,q}(u, v)$  是  $[0,1] \otimes [0,1]$  上对于有理 B ézier 曲面  $R(u, v)$  的 Hermite 逼近, 简称 h 逼近, 记为  $h\langle r, p; s, q \rangle$

以上两类对有理曲面的多项式逼近貌似不同, 但其实存在着紧密的联系.

### 12.12.2 $H\langle r, p; s, q \rangle$ 逼近的余项

由 Hybrid 曲面的定义 12.11.1 和 H 逼近的定义 12.12.1, 我们可以计算 H 逼近的余项

$$\begin{aligned} ER^{r,p;s,q}(u, v) &= R(u, v) - \tilde{H}^{r,p;s,q}(u, v) = H^{r,p;s,q}(u, v) - \tilde{H}^{r,p;s,q}(u, v) \\ &= B_s^{s+q}(v) \sum_{\substack{i=0 \\ i \neq r}}^{r+p} B_i^{r+p}(u) \left( \sum_{k=0}^m \sum_{l=0}^n B_k^m(u) B_l^n(v) \omega_{kl} (M_{i,s,*l}^{r,p;s,q} - H_{is}^{r,p;s,q}) \right) / \left( \sum_{k=0}^m \sum_{l=0}^n B_k^m(u) B_l^n(v) \omega_{kl} \right) \\ &\quad + B_r^{r+p}(u) \sum_{\substack{j=0 \\ j \neq s}}^{s+q} B_j^{s+q}(v) \left( \sum_{k=0}^m \sum_{l=0}^n B_k^m(u) B_l^n(v) \omega_{kl} (M_{r,j,k,*}^{r,p;s,q} - H_{rj}^{r,p;s,q}) \right) / \left( \sum_{k=0}^m \sum_{l=0}^n B_k^m(u) B_l^n(v) \omega_{kl} \right) \\ &\quad + B_r^{r+p}(u) B_s^{s+q}(v) \left( \sum_{k=0}^m \sum_{l=0}^n B_k^m(u) B_l^n(v) \omega_{kl} (M_{r,s,k,l}^{r,p;s,q} - H_{rs}^{r,p;s,q}) \right) / \left( \sum_{k=0}^m \sum_{l=0}^n B_k^m(u) B_l^n(v) \omega_{kl} \right). \end{aligned} \quad (12.12.5)$$

利用(12.1.12), 容易推知

$$\begin{cases} \partial^{i+j} ER^{r,p;s,q}(0,0)/(\partial u^i \partial v^j) = 0, & i = 0,1,\dots,r-1; j = 0,1,\dots,s-1; \\ \partial^{i+j} ER^{r,p;s,q}(0,1)/(\partial u^i \partial v^j) = 0, & i = 0,1,\dots,r-1; j = 0,1,\dots,q-1; \\ \partial^{i+j} ER^{r,p;s,q}(1,0)/(\partial u^i \partial v^j) = 0, & i = 0,1,\dots,p-1; j = 0,1,\dots,s-1; \\ \partial^{i+j} ER^{r,p;s,q}(1,1)/(\partial u^i \partial v^j) = 0, & i = 0,1,\dots,p-1; j = 0,1,\dots,q-1. \end{cases} \quad (12.12.6)$$

这表明  $\tilde{H}^{r,p;s,q}(u, v)$  与  $h^{r,p;s,q}(u, v)$  在区域  $[0,1] \otimes [0,1]$  的角点处具有相同的多阶混合偏导矢.

### 12.12.3 $h\langle r, p; s, q \rangle$ 逼近与 $H\langle r, p; s, q \rangle$ 逼近的关系

**定理 12.12.1**  $\tilde{H}^{r,p;s,q}(u, v)$  的控制顶点能用  $h^{r,p;s,q}(u, v)$  的控制顶点来表示:

$$\begin{aligned} H_{ij}^{r,p;s,q} = M_{ij^{**}}^{r,p;s,q} = & \left(1 - \frac{j}{s+q}\right) \left[ \left(1 - \frac{i}{r+p}\right) h_{ij}^{r,p;s,q} + \frac{i}{r+p} h_{i-1,j}^{r,p;s,q} \right] \\ & + \frac{j}{s+q} \left[ \left(1 - \frac{i}{r+p}\right) h_{i,j-1}^{r,p;s,q} + \frac{i}{r+p} h_{i-1,j-1}^{r,p;s,q} \right], \quad i \neq r, j \neq s. \end{aligned} \quad (12.12.7)$$

也就是说,  $h^{r,p;s,q}(u, v)$  的升阶曲面与  $\tilde{H}^{r,p;s,q}(u, v)$  仅在  $i = r$  或  $j = s$  时有不同的控制顶点.

证 由(12.12.4)和(12.12.6), 我们有

$$\partial^{i+j} \tilde{H}^{r,p;s,q}(0,0) / (\partial u^i \partial v^j) = \partial^{i+j} h^{r,p;s,q}(0,0) / (\partial u^i \partial v^j), \quad i = 0, 1, \dots, r-1; j = 0, 1, \dots, s-1.$$

展开上式两端可推出

$$\begin{aligned} & \frac{(r+p)!}{(r+p-i)!} \frac{(s+q)!}{(s+q-j)!} \sum_{k=0}^i \sum_{l=0}^j (-1)^{k+l} \binom{i}{k} \binom{j}{l} M_{i-k,j-l,*}^{r,p;s,q} \\ & = \frac{(r+p-1)!}{(r+p-1-i)!} \frac{(s+q-1)!}{(s+q-1-j)!} \sum_{k=0}^i \sum_{l=0}^j (-1)^{k+l} \binom{i}{k} \binom{j}{l} h_{i-k,j-l}^{r,p;s,q}. \end{aligned}$$

利用此式及其矩阵形式, 对  $i$  和  $j$  应用数学归纳法, 我们即知(12.12.7)当  $i = 0, 1, \dots, r-1$ ;  $j = 0, 1, \dots, s-1$  时正确. 另外三种情况也同样. 证毕.

**定理 12.12.2**  $h^{r,p;s,q}(u, v)$  的控制顶点能用  $\tilde{H}^{r-1,p-1;s-1,q-1}(u, v)$  的控制顶点来表示:

$$\begin{aligned} h_{ij}^{r,p;s,q} = & \left(1 - \frac{j}{s+q-1}\right) \left[ \left(1 - \frac{i}{r+p-1}\right) M_{i,j,*}^{r-1,p-1;s-1,q-1} + \frac{i}{r+p-1} M_{i-1,j,*}^{r-1,p-1;s-1,q-1} \right] \\ & + \frac{j}{s+q-1} \left[ \left(1 - \frac{i}{r+p-1}\right) M_{i,j-1,*}^{r-1,p-1;s-1,q-1} + \frac{i}{r+p-1} M_{i-1,j-1,*}^{r-1,p-1;s-1,q-1} \right], \\ & i = 0, 1, \dots, r-2, j = 0, 1, \dots, s-2; \end{aligned} \quad (12.12.8)$$

$$\begin{aligned} h_{r-1,j}^{r,p;s,q} = & \left(1 - \frac{j}{s+q-1}\right) \left[ \frac{p}{r+p-1} M_{r-1,j,0,*}^{r-1,p-1;s-1,q-1} + \frac{r-1}{r+p-1} M_{r-2,j,*}^{r-1,p-1;s-1,q-1} \right] \\ & + \frac{j}{s+q-1} \left[ \frac{p}{r+p-1} M_{r-1,j-1,0,*}^{r-1,p-1;s-1,q-1} + \frac{r-1}{r+p-1} M_{r-2,j-1,*}^{r-1,p-1;s-1,q-1} \right], \\ & j = 0, 1, \dots, s-2; \end{aligned} \quad (12.12.9)$$

$$\begin{aligned} h_{i,s-1}^{r,p;s,q} = & \frac{q}{s+q-1} \left[ \left(1 - \frac{i}{r+p-1}\right) M_{i,s-1,*}^{r-1,p-1;s-1,q-1} + \frac{i}{r+p-1} M_{i-1,s-1,*}^{r-1,p-1;s-1,q-1} \right] \\ & + \frac{s-1}{s+q-1} \left[ \left(1 - \frac{i}{r+p-1}\right) M_{i,s-2,*}^{r-1,p-1;s-1,q-1} + \frac{i}{r+p-1} M_{i-1,s-2,*}^{r-1,p-1;s-1,q-1} \right], \\ & i = 0, 1, \dots, r-2; \end{aligned} \quad (12.12.10)$$

$$\begin{aligned} h_{r-1,s-1}^{r,p;s,q} = & \frac{q}{s+q-1} \left[ \frac{p}{r+p-1} M_{r-1,s-1,0,*}^{r-1,p-1;s-1,q-1} + \frac{r-1}{r+p-1} M_{r-1,s-1,*}^{r-1,p-1;s-1,q-1} \right] \\ & + \frac{s-1}{s+q-1} \left[ \frac{p}{r+p-1} M_{r-1,s-1,0,*}^{r-1,p-1;s-1,q-1} + \frac{r-1}{r+p-1} M_{r-2,s-2,*}^{r-1,p-1;s-1,q-1} \right]. \end{aligned} \quad (12.12.11)$$

由曲面的对称性, 可类似地写出在另外三种情形下的表达式.

证 由

$$R(u, v) = H^{r-1,p-1;s-1,q-1}(u, v),$$

我们得

$$\partial^{i+j} \mathbf{h}^{r,p;s,q}(0,0)/(\partial u^i \partial v^j) = \partial^{i+j} \mathbf{R}(0,0)/(\partial u^i \partial v^j) = \partial^{i+j} \mathbf{H}^{r-1,p-1;s-1,q-1}(0,0)/(\partial u^i \partial v^j),$$

$$i = 0, 1, \dots, r-1; \quad j = 0, 1, \dots, s-1.$$

展开上式两端可推出

$$\begin{aligned} & \sum_{k=0}^i \sum_{l=0}^j (-1)^{k+l} \binom{i}{k} \binom{j}{l} \mathbf{h}_{i-k,j-l}^{r,p;s,q} \\ &= \left(1 - \frac{i}{r+p-1}\right) \left(1 - \frac{j}{s+q-1}\right) \sum_{k=0}^i \sum_{l=0}^j (-1)^{k+l} \binom{i}{k} \binom{j}{l} \mathbf{M}_{i-k,j-l,*}^{r-1,p-1;s-1,q-1}, \\ & \quad i = 0, 1, \dots, r-2; \quad j = 0, 1, \dots, s-2; \\ & \sum_{k=0}^{r-1} \sum_{l=0}^j (-1)^{k+l} \binom{r-1}{k} \binom{j}{l} \mathbf{h}_{r-1-k,j-l}^{r,p;s,q} \\ &= \frac{p}{r+p-1} \left(1 - \frac{j}{s+q-1}\right) \sum_{k=1}^{r-1} \sum_{l=0}^j (-1)^{k+l} \binom{r-1}{k} \binom{j}{l} \mathbf{M}_{r-1-k,j-l,*}^{r-1,p-1;s-1,q-1} \\ &+ \frac{p}{r+p-1} \left(1 - \frac{j}{s+q-1}\right) \sum_{l=0}^j (-1)^l \binom{r-1}{0} \binom{j}{l} \mathbf{M}_{r-1,j-l,0,*}^{r-1,p-1;s-1,q-1}, \quad i = r-1; \quad j = 0, 1, \dots, s-2; \\ & \sum_{k=0}^i \sum_{l=0}^{s-1} (-1)^{k+l} \binom{i}{k} \binom{s-1}{l} \mathbf{h}_{i-k,s-1-l}^{r,p;s,q} \\ &= \left(1 - \frac{i}{r+p-1}\right) \frac{q}{s+q-1} \sum_{k=0}^i \sum_{l=1}^{s-1} (-1)^{k+l} \binom{i}{k} \binom{s-1}{l} \mathbf{M}_{i-k,s-1-l,*}^{r-1,p-1;s-1,q-1} \\ &+ \left(1 - \frac{i}{r+p-1}\right) \frac{q}{s+q-1} \sum_{k=0}^i (-1)^k \binom{i}{k} \binom{s-1}{0} \mathbf{M}_{i-k,s-1,0,*}^{r-1,p-1;s-1,q-1}, \quad i = 0, 1, \dots, r-2; \quad j = s-1; \\ & \sum_{k=0}^{r-1} \sum_{l=0}^{s-1} (-1)^{k+l} \binom{r-1}{k} \binom{s-1}{l} \mathbf{h}_{r-1-k,s-1-l}^{r,p;s,q} \\ &= \frac{p}{r+p-1} \frac{q}{s+q-1} \sum_{k=1}^{r-1} \sum_{l=1}^{s-1} (-1)^{k+l} \binom{r-1}{k} \binom{s-1}{l} \mathbf{M}_{r-1-k,s-1-l,*}^{r-1,p-1;s-1,q-1} \\ &+ \frac{p}{r+p-1} \frac{q}{s+q-1} \sum_{l=1}^{s-1} (-1)^l \binom{r-1}{0} \binom{s-1}{l} \mathbf{M}_{r-1,s-1-l,0,*}^{r-1,p-1;s-1,q-1} \\ &+ \frac{p}{r+p-1} \frac{q}{s+q-1} \sum_{k=1}^{r-1} (-1)^k \binom{r-1}{k} \binom{s-1}{0} \mathbf{M}_{r-1-k,s-1,0,*}^{r-1,p-1;s-1,q-1} \\ &+ \frac{p}{r+p-1} \frac{q}{s+q-1} \mathbf{M}_{r-1,s-1,0,0}^{r-1,p-1;s-1,q-1}, \quad i = r-1, \quad j = s-1. \end{aligned}$$

在这个基础上, 应用数学归纳法即可证明(12.12.8). 证毕.

**定理 12.12.3** 当移动控制顶点  $\mathbf{H}_{is}^{r,p;s,q}(u,v)$ ,  $\mathbf{H}_{rj}^{r,p;s,q}(u,v)$  和  $\mathbf{H}_{rs}^{r,p;s,q}(u,v)$  分别被它们自己的一个控制顶点  $\mathbf{M}_{is*0}^{r,p;s,q}(i \neq r)$ ,  $\mathbf{M}_{rj0*}^{r,p;s,q}(j \neq s)$  和  $\mathbf{M}_{rs00}^{r,p;s,q}$  来代替时, 相应的 H 逼近曲面  $\tilde{\mathbf{H}}^{r,p;s,q}(u,v)$  恰为  $\mathbf{h}^{r+1,p;s+1,q}(u,v)$ . 另三种情形与此类似. 换言之, Hermite 逼近曲面是 Hybrid 逼近曲面的特例, 即

$$\tilde{\mathbf{H}}^{r,p;s,q}(u,v) = \mathbf{h}^{r+1,p;s+1,q}(u,v), \quad \text{若取} \begin{cases} \mathbf{H}_{i,s}^{r,p;s,q}(u,v) = \mathbf{M}_{i,s,*0}^{r,p;s,q}, i \neq r; \\ \mathbf{H}_{r,j}^{r,p;s,q}(u,v) = \mathbf{M}_{r,j,0,*}^{r,p;s,q}, j \neq s; \\ \mathbf{H}_{r,s}^{r,p;s,q}(u,v) = \mathbf{M}_{r,s,0,0}^{r,p;s,q}. \end{cases} \quad (12.12.12)$$

$$\tilde{\mathbf{H}}^{r,p;s,q}(u,v) = \mathbf{h}^{r,p+1;s+1,q}(u,v), \quad \text{若取} \begin{cases} \mathbf{H}_{i,s}^{r,p;s,q}(u,v) = \mathbf{M}_{i,s,*0}^{r,p;s,q}, i \neq r; \\ \mathbf{H}_{r,j}^{r,p;s,q}(u,v) = \mathbf{M}_{r,j,m,*}^{r,p;s,q}, j \neq s; \\ \mathbf{H}_{r,s}^{r,p;s,q}(u,v) = \mathbf{M}_{r,s,m,0}^{r,p;s,q}. \end{cases} \quad (12.12.13)$$

$$\tilde{\mathbf{H}}^{r,p;s,q}(u,v) = \mathbf{h}^{r+1,p;s,q+1}(u,v), \text{ 若取 } \begin{cases} \mathbf{H}_{i,s}^{r,p;s,q}(u,v) = \mathbf{M}_{i,s,*n}^{r,p;s,q}, i \neq r; \\ \mathbf{H}_{r,j}^{r,p;s,q}(u,v) = \mathbf{M}_{r,j,0,*}^{r,p;s,q}, j \neq s; \\ \mathbf{H}_{r,s}^{r,p;s,q}(u,v) = \mathbf{M}_{r,s,0,n}^{r,p;s,q}. \end{cases} \quad (12.12.14)$$

$$\tilde{\mathbf{H}}^{r,p;s,q}(u,v) = \mathbf{h}^{r,p+1;s,q+1}(u,v), \text{ 若取 } \begin{cases} \mathbf{H}_{i,s}^{r,p;s,q}(u,v) = \mathbf{M}_{i,s,*n}^{r,p;s,q}, i \neq r; \\ \mathbf{H}_{r,j}^{r,p;s,q}(u,v) = \mathbf{M}_{r,j,m,*}^{r,p;s,q}, j \neq s; \\ \mathbf{H}_{r,s}^{r,p;s,q}(u,v) = \mathbf{M}_{r,s,m,n}^{r,p;s,q}. \end{cases} \quad (12.12.15)$$

证 仅证(12.12.12), 由此式的条件以及(12.1.12), 通过简单的计算可以得出

$$\begin{aligned} \partial^{r+j} \mathbf{E} \mathbf{R}^{r,p;s,q}(0,0) / (\partial u^r \partial v^j) &= \mathbf{0}, \quad j = 0, 1, \dots, s-1; \\ \partial^{i+s} \mathbf{E} \mathbf{R}^{r,p;s,q}(0,0) / (\partial u^i \partial v^s) &= \mathbf{0}, \quad i = 0, 1, \dots, r; \\ \partial^{r+j} \mathbf{E} \mathbf{R}^{r,p;s,q}(0,1) / (\partial u^r \partial v^j) &= \mathbf{0}, \quad j = 0, 1, \dots, q-1; \\ \partial^{i+s} \mathbf{E} \mathbf{R}^{r,p;s,q}(1,0) / (\partial u^i \partial v^s) &= \mathbf{0}, \quad i = 0, 1, \dots, p-1. \end{aligned}$$

由(12.12.6)及上式知道  $\tilde{\mathbf{H}}^{r,p;s,q}(u,v)$  和  $\mathbf{h}^{r+1,p;s+1,q}(u,v)$  在区域角点有相同的各阶混合偏导矢, 又因它们具有相同的次数  $(r+p)(s+q)$ , 按 Hermite 逼近多项式的唯一性知它们恒等. 证毕.

### 12.13 Hybrid 曲面 $\mathbf{H}^{r,p;s,q}(u,v)$ 的递推计算公式

算法 12.11.1 提供了由已知曲面  $\mathbf{R}(u,v)$  计算相应的 Hybrid 曲面的方法. 为了提高计算速度并研究逼近的收敛性, 我们更需要探索由低次 Hybrid 曲面来推算高次 Hybrid 曲面的算法.

#### 12.13.1 一般情况

为了推导不同次数的 Hybrid 曲面的控制顶点之间的关系, 要利用恒等式

$$\mathbf{R}(u,v) \equiv \mathbf{H}^{r,p;s,q}(u,v) \equiv \mathbf{H}^{r+1,p;s,q}(u,v). \quad (12.13.1)$$

注意到移动控制顶点  $\mathbf{H}_{ij}^{r,p;s,q}(u,v)$  本身是一张  $m \times n$  次有理 Bézier 曲面, 它也可用一张  $(1+0) \times (0+0)$  次 Hybrid 曲面  $\bar{\mathbf{H}}^{1,0;0,0}(u,v)$  来表示, 设其控制顶点为  $\bar{\mathbf{M}}_{ijkl}^{1,0;0,0}$ ,  $i = 0, 1, \dots, r+p$ ;  $j = 0, 1, \dots, s+q$ ;  $a = 0, 1$ ;  $b = 0$ ;  $k = 0, 1, \dots, m$ ;  $l = 0, 1, \dots, n$ ; 则有

$$\mathbf{H}_{ij}^{r,p;s,q}(u,v) = \sum_{a=0}^1 \sum_{b=0}^0 B_a^1(u) B_b^0(v) \left( \sum_{k=0}^m \sum_{l=0}^n B_k^m(u) B_l^n(v) \omega_{kl} \bar{\mathbf{M}}_{ijabkl}^{1,0;0,0} \right) / \left( \sum_{k=0}^m \sum_{l=0}^n B_k^m(u) B_l^n(v) \omega_{kl} \right). \quad (12.13.2)$$

记

$$\begin{cases} G_{kl} = \frac{(m-k)\omega_{k+1,l}}{(k+1)\omega_{k,l}}, & k = 0, 1, \dots, m-1; \quad l = 0, 1, \dots, n; \\ G_{ml} = G_{-1,l}^{-1} = 0, & l = 0, 1, \dots, n; \end{cases} \quad (12.13.3)$$

按算法 12.11.1 的(12.11.8), (12.11.9), 可解出

$$\bar{\mathbf{M}}_{ija0kl}^{1,0;0,0} = \begin{cases} \bar{\mathbf{M}}_{ij00*l}^{1,0;0,0} = \mathbf{M}_{ij0l}^{r,p;s,q}, & a = 0, \\ \mathbf{M}_{ijkl}^{r,p;s,q} + G_{kl} (\mathbf{M}_{i,j,k+1,l}^{r,p;s,q} - \mathbf{M}_{ij0l}^{r,p;s,q}), & a = 1, \end{cases} \quad k = 0, 1, \dots, m; \quad l = 0, 1, \dots, n. \quad (12.13.4)$$

把(12.13.2)代入 Hybrid 曲面表达式(12.11.1)得到

$$\mathbf{H}^{r,p;s,q}(u,v) = \sum_{i=0}^{r+1+p} \sum_{j=0}^{s+q} B_i^{r+1+p}(u) B_j^{s+q}(v) \frac{\sum_{k=0}^m \sum_{l=0}^n B_k^m(u) B_l^n(v) \omega_{kl} \bar{\bar{\mathbf{M}}}_{ijkl}^{1,0;0,0}}{\sum_{k=0}^m \sum_{l=0}^n B_k^m(u) B_l^n(v) \omega_{kl}}, \quad (12.13.5)$$

其中

$$\overline{\overline{M}}_{ijkl}^{1,0;0,0} = \left( \binom{r+p}{i-1} \overline{M}_{i-1,j,1,0,k,l}^{1,0;0,0} + \binom{r+p}{i} \overline{M}_{i,j,0,0,k,l}^{1,0;0,0} \right) / \binom{r+p+1}{i}. \quad (12.13.6)$$

另一方面, 有

$$H^{r+1,p;s,q}(u,v) = \sum_{i=0}^{r+1+p} \sum_{j=0}^{s+q} B_i^{r+1+p}(u) B_j^{s+q}(v) \frac{\sum_{k=0}^m \sum_{l=0}^n B_k^m(u) B_l^n(v) \omega_{kl} M_{ijkl}^{r+1,p;s,q}}{\sum_{k=0}^m \sum_{l=0}^n B_k^m(u) B_l^n(v) \omega_{kl}}. \quad (12.13.7)$$

按(12.13.5), (12.13.7)和(12.13.1), 我们有

$$\sum_{i=0}^{r+1+p} \sum_{j=0}^{s+q} \sum_{k=0}^m \sum_{l=0}^n B_i^{r+1+p}(u) B_j^{s+q}(v) B_k^m(u) B_l^n(v) \omega_{kl} \left( M_{ijkl}^{r+1,p;s,q} - \overline{\overline{M}}_{ijkl}^{1,0;0,0} \right) = \mathbf{0}, \quad (12.13.8)$$

即

$$\begin{aligned} & \sum_{l=0}^{r+1+p+m} \sum_{J=0}^{s+q+n} B_l^{r+1+p+m}(u) B_J^{s+q+n}(v) \sum_{i+k=l} \sum_{j+l=J} \binom{m}{k} \binom{r+1+p}{i} \binom{n}{l} \binom{s+q}{j} \\ & \times \left( \binom{r+1+p+m}{I} \binom{s+q+n}{J} \right)^{-1} \omega_{kl} \left( M_{ijkl}^{r+1,p;s,q} - \overline{\overline{M}}_{ijkl}^{1,0;0,0} \right) = \mathbf{0}. \end{aligned} \quad (12.13.9)$$

再由基的线性无关性, 可得

$$\sum_{i+k=I} \sum_{j+l=J} \binom{m}{k} \binom{r+1+p}{i} \binom{n}{l} \binom{s+q}{j} \omega_{kl} \left( M_{ijkl}^{r+1,p;s,q} - \overline{\overline{M}}_{ijkl}^{1,0;0,0} \right) = \mathbf{0}, \quad (12.13.10)$$

$I = 0, 1, \dots, r+1+p+m; \quad J = 0, 1, \dots, s+q+n.$

下面分析方程组(12.13.10)中的向量. 由(12.13.6)及(12.13.4)可知当  $i \neq r+1, j \neq s$  时,

$$\begin{aligned} \binom{r+p+1}{i} \overline{\overline{M}}_{ijkl}^{1,0;0,0} &= \binom{r+p}{i-1} \overline{M}_{i-1,j,1,0,k,l}^{1,0;0,0} + \binom{r+p}{i} \overline{M}_{i,j,0,0,k,l}^{1,0;0,0} \\ &= \binom{r+p}{i-1} \left( M_{i-1,j,k,l}^{r,p;s,q} + G_{kl} \left( M_{i-1,j,k+1,l}^{r,p;s,q} - M_{i-1,j,0,l}^{r,p;s,q} \right) \right) + \binom{r+p}{i} M_{i,j,0,l}^{r,p;s,q} \\ &= \binom{r+p}{i-1} M_{i-1,j,*,*}^{r,p;s,q} + \binom{r+p}{i} M_{i,j,0,*}^{r,p;s,q}. \end{aligned}$$

这表明  $\overline{\overline{M}}_{ijkl}^{1,0;0,0}$  与  $k, l$  均无关; 同理当  $i \neq r+1, j = s$  时,  $\overline{\overline{M}}_{iskl}^{1,0;0,0}$  是  $M_{i-1,s,*}^{r,p;s,q}$  与  $M_{i,s,0,l}^{r,p;s,q}$  的线性组合, 与  $k$  无关; 当  $i = r+1, j \neq s$  时,  $\overline{\overline{M}}_{r+1,j,k,l}^{1,0;0,0}$  是  $M_{r,j,k,*}^{r,p;s,q}$ ,  $M_{r,j,k+1,*}^{r,p;s,q}$ ,  $M_{r,j,0,*}^{r,p;s,q}$  与  $M_{r+1,j,0,*}^{r,p;s,q}$  的线性组合, 与  $l$  无关; 于是我们可记

$$\begin{cases} \overline{\overline{M}}_{i,j,k,l}^{1,0;0,0} = \overline{\overline{M}}_{i,j,*,*}^{1,0;0,0}, & i \neq r+1, j \neq s; \\ \overline{\overline{M}}_{i,s,k,l}^{1,0;0,0} = \overline{\overline{M}}_{i,s,*,*}^{1,0;0,0}, & i \neq r+1, j = s; \quad k = 0, 1, \dots, m; \quad l = 0, 1, \dots, n. \\ \overline{\overline{M}}_{r+1,j,k,l}^{1,0;0,0} = \overline{\overline{M}}_{r+1,j,k,*,*}^{1,0;0,0}, & i = r+1, j \neq s; \end{cases} \quad (12.13.11)$$

另一方面按照(12.11.6)有

$$\begin{cases} M_{i,j,k,l}^{r+1,p;s,q} = M_{i,j,*,*}^{r+1,p;s,q}, & i \neq r+1, j \neq s; \\ M_{i,s,k,l}^{r+1,p;s,q} = M_{i,s,*,*}^{r+1,p;s,q}, & i \neq r+1, j = s; \quad k = 0, 1, \dots, m; \quad l = 0, 1, \dots, n. \\ M_{r+1,j,k,l}^{r+1,p;s,q} = M_{r+1,j,k,*,*}^{r+1,p;s,q}, & i = r+1, j \neq s; \end{cases} \quad (12.13.12)$$

(12.13.11)和(12.13.12)表明方程组(12.13.10)只有  $(r+p+m+2)(s+q+n+1)$  个未知向量, 仿照方程组(12.11.4)的解法, 我们可依次解出  $M_{ij**}^{r+1,p;s,q} = \overline{\overline{M}}_{ij**}^{1,0;0,0}$  ( $i = 0, 1, \dots, r; j = 0, 1, \dots, s-1$ ; 或  $i = 0, 1, \dots, r; j = s+q+n, s+q+n-1, \dots, s+1$ ; 或  $i = r+p+m+1, r+p+m, \dots, r+2; j = 0, 1, \dots, s-1$ ; 或  $i = r+p+m+1, r+p+m, \dots, r+2; j = s+q+n, s+q+n-1, \dots, s-1$ );  $M_{is*l}^{r+1,p;s,q} = \overline{\overline{M}}_{is*l}^{1,0;0,0}$  ( $i = 0, 1, \dots, r; l = 0, 1, \dots, n$  或



$i = r + p + m + 1, r + p + m, \dots, r + 2; l = 0, 1, \dots, n$ ;  $\mathbf{M}_{r+1,j,k,*}^{r+1,p;s,q} = \overline{\overline{\mathbf{M}}}_{r+1,j,k,*}^{1,0;0,0}$  ( $j = 0, 1, \dots, s - 1$ ;  
 $k = 0, 1, \dots, m$  或  $j = s + q + n, s + q + n - 1, \dots, s + 1; k = 0, 1, \dots, m$ );  $\mathbf{M}_{r+1,s,k,l}^{r+1,p;s,q} = \overline{\overline{\mathbf{M}}}_{r+1,s,k,l}^{1,0;0,0}$   
( $k = 0, 1, \dots, m; l = 0, 1, \dots, n$ ), 即

$$\mathbf{M}_{ijkl}^{r+1,p;s,q} = \overline{\overline{\mathbf{M}}}_{ijkl}^{1,0;0,0},$$

$$i = 0, 1, \dots, r + p + 1; j = 0, 1, \dots, s + q; k = 0, 1, \dots, m; l = 0, 1, \dots, n. \quad (12.13.13)$$

把 (12.13.6) 和 (12.13.4) 代入上式, 就得到  $((r+1)+p)(s+q)$  次 Hybrid 曲面与  
 $(r+p)(s+q)$  次 Hybrid 曲面的控制顶点之间的递推关系

$$\mathbf{M}_{ijkl}^{r+1,p;s,q} = \left[ \binom{r+p}{i-1} (\mathbf{M}_{i-1,j,k,l}^{r,p;s,q} + G_{kl} (\mathbf{M}_{i-1,j,k+1,l}^{r,p;s,q} - \mathbf{M}_{i-1,j,0,l}^{r,p;s,q})) + \binom{r+p}{i} \mathbf{M}_{i,j,0,l}^{r,p;s,q} \right] / \binom{r+p+1}{i},$$

$$i = 0, 1, \dots, r + 1 + p; j = 0, 1, \dots, s + q; k = 0, 1, \dots, m; l = 0, 1, \dots, n. \quad (12.13.14)$$

利用对称性, 我们类似地有

$$\mathbf{M}_{ijkl}^{r,p+1;s,q} = \left[ \binom{r+p}{i-1} \mathbf{M}_{i-1,j,m,l}^{r,p;s,q} + \binom{r+p}{i} (\mathbf{M}_{i,j,k,l}^{r,p;s,q} + G_{k-1,l}^{-1} (\mathbf{M}_{i,j,k-1,l}^{r,p;s,q} - \mathbf{M}_{i,j,m,l}^{r,p;s,q})) \right] / \binom{r+p+1}{i},$$

$$i = 0, 1, \dots, r + 1 + p; j = 0, 1, \dots, s + q; k = 0, 1, \dots, m; l = 0, 1, \dots, n. \quad (12.13.15)$$

综合以上两式, 进一步可得  $((r+1)+(p+1))(s+q)$  次 Hybrid 曲面与  $(r+p)(s+q)$  次  
Hybrid 曲面的控制顶点之间的递推关系

$$\mathbf{M}_{ijkl}^{r+1,p+1;s,q} = \left[ \binom{r+p}{i-2} \mathbf{M}_{i-2,j,n,l}^{r,p;s,q} + 2 \binom{r+p}{i-1} \left( \mathbf{M}_{i-1,j,k,l}^{r,p;s,q} + \frac{1}{2} G_{kl} (\mathbf{M}_{i-1,j,k+1,l}^{r,p;s,q} - \mathbf{M}_{i-1,j,0,l}^{r,p;s,q}) \right) \right. \\ \left. + \frac{1}{2} G_{k-1,l}^{-1} (\mathbf{M}_{i-1,j,k-1,l}^{r,p;s,q} - \mathbf{M}_{i-1,j,n,l}^{r,p;s,q}) \right] + \binom{r+p}{i} \mathbf{M}_{i,j,0,l}^{r,p;s,q} / \binom{r+p+2}{i},$$

$$i = 0, 1, \dots, r + p + 2; j = 0, 1, \dots, s + q; k = 0, 1, \dots, m; l = 0, 1, \dots, n. \quad (12.13.16)$$

再记

$$\begin{cases} H_{kl} = \frac{(n-l)\omega_{k,l+1}}{(l+1)\omega_{k,l}}, & k = 0, 1, \dots, m; l = 0, 1, \dots, n-1; \\ H_{kn} = H_{k,-1}^{-1} = 0, & k = 0, 1, \dots, m; \end{cases} \quad (12.13.17)$$

我们可类似地得到  $(r+p)((s+1)+(q+1))$  次 Hybrid 曲面与  $(r+p)(s+q)$  次 Hybrid 曲面的控  
制顶点之间的递推关系

$$\mathbf{M}_{ijkl}^{r,p;s+1,q+1} = \left[ \binom{s+q}{j-2} \mathbf{M}_{i,j-2,k,m}^{r,p;s,q} + 2 \binom{s+q}{j-1} \left( \mathbf{M}_{i,j-1,k,l}^{r,p;s,q} + \frac{1}{2} H_{kl} (\mathbf{M}_{i,j-1,k,l+1}^{r,p;s,q} - \mathbf{M}_{i,j-1,k,0}^{r,p;s,q}) \right) \right. \\ \left. + \frac{1}{2} H_{k,l-1}^{-1} (\mathbf{M}_{i,j-1,k,l-1}^{r,p;s,q} - \mathbf{M}_{i,j-1,k,m}^{r,p;s,q}) \right] + \binom{s+q}{j} \mathbf{M}_{i,j,k,0}^{r,p;s,q} / \binom{s+q+2}{j},$$

$$i = 0, 1, \dots, r + p; j = 0, 1, \dots, s + q + 2; k = 0, 1, \dots, m; l = 0, 1, \dots, n. \quad (12.13.18)$$

综合 (12.13.16) 和 (12.13.18), 最后可得到  $((r+1)+(p+1))((s+1)+(q+1))$  次 Hybrid 曲面  
与  $(r+p)(s+q)$  次 Hybrid 曲面的控制顶点之间的递推关系.

### 12.13.2 简化情况

为便于计算, 我们希望把上一小节的递推关系写为矩阵形式. 假定有理 Bézier 曲面  
 $\mathbf{R}(u, v)$  的权因子满足关系式

$$\omega_{kl} = \alpha_k \beta_l, \quad k = 0, 1, \dots, m; l = 0, 1, \dots, n. \quad (12.13.19)$$

再假设

$$\begin{cases} g_k = \frac{(m-k)\alpha_{k+1}}{(k+1)\alpha_k}, & h_l = \frac{(n-l)\beta_{l+1}}{(l+1)\beta_l}, & k = 0, 1, \dots, m-1, \quad l = 0, 1, \dots, n-1; \\ g_m = g_{-1}^{-1} = h_n = h_{-1}^{-1} = 0. \end{cases} \quad (12.13.20)$$

注意到对曲面  $\mathbf{H}^{r,p;s,q}(u,v)$  有(12.11.5)成立, (12.13.14)和(12.13.15)就被分别简化为

$$\begin{cases} \mathbf{M}_{ijkl}^{r+1,p;s,q} = \left[ \binom{r+p}{i-1} \mathbf{M}_{i-1,j,*l}^{r,p;s,q} + \binom{r+p}{i} \mathbf{M}_{i,j,0,l}^{r,p;s,q} \right] / \binom{r+p+1}{i}, \\ i = 0, 1, \dots, r, r+2, \dots, r+p+1; j = 0, 1, \dots, s+q; \\ \begin{pmatrix} \mathbf{M}_{r+1,j,0,l}^{r+1,p;s,q} \\ \mathbf{M}_{r+1,j,1,l}^{r+1,p;s,q} \\ \vdots \\ \mathbf{M}_{r+1,j,m,l}^{r+1,p;s,q} \end{pmatrix} = \mathbf{C}_m^{r,p} \begin{pmatrix} \mathbf{M}_{r,j,0,l}^{r,p;s,q} \\ \mathbf{M}_{r,j,1,l}^{r,p;s,q} \\ \vdots \\ \mathbf{M}_{r,j,m,l}^{r,p;s,q} \end{pmatrix} + \frac{p}{r+p+1} \begin{pmatrix} 1 \\ 1 \\ \vdots \\ 1 \end{pmatrix} \mathbf{M}_{r+1,j,*l}^{r,p;s,q}, \\ j = 0, 1, \dots, s+q; l = 0, 1, \dots, n. \end{cases} \quad (12.13.21)$$

$$\begin{cases} \mathbf{M}_{ijkl}^{r,p+1;s,q} = \left[ \binom{r+p}{i} \mathbf{M}_{i,j,*l}^{r,p;s,q} + \binom{r+p}{i-1} \mathbf{M}_{i-1,j,m,l}^{r,p;s,q} \right] / \binom{r+p+1}{i}, \\ i = 0, 1, \dots, r-1, r+1, \dots, r+p+1; j = 0, 1, \dots, s+q; \\ \begin{pmatrix} \mathbf{M}_{rj0l}^{r,p+1;s,q} \\ \mathbf{M}_{rj1l}^{r,p+1;s,q} \\ \vdots \\ \mathbf{M}_{rjml}^{r,p+1;s,q} \end{pmatrix} = \mathbf{D}_m^{r,p} \begin{pmatrix} \mathbf{M}_{rj0l}^{r,p;s,q} \\ \mathbf{M}_{rj1l}^{r,p;s,q} \\ \vdots \\ \mathbf{M}_{rjml}^{r,p;s,q} \end{pmatrix} + \frac{r}{r+p+1} \begin{pmatrix} 1 \\ 1 \\ \vdots \\ 1 \end{pmatrix} \mathbf{M}_{r-1,j,*l}^{r,p;s,q}, \\ j = 0, 1, \dots, s+q; l = 0, 1, \dots, n. \end{cases} \quad (12.13.22)$$

这里  $\mathbf{C}_m^{r,p}, \mathbf{D}_m^{r,p}$  为  $(m+1)(m+1)$  阶矩阵(12.10.21), (12.10.22). 同样地, (12.13.16)也被简化为

$$\begin{cases} \mathbf{M}_{ij*l}^{r+1,p+1;s,q} = \mathbf{E}_i^{r,p} \begin{pmatrix} \mathbf{M}_{i-2,j,m,l}^{r,p;s,q} \\ \mathbf{M}_{i-1,j,*l}^{r,p;s,q} \\ \mathbf{M}_{i,j,0,l}^{r,p;s,q} \end{pmatrix}, & i = 0, 1, \dots, r, r+2, \dots, r+p+2; \\ & j = 0, 1, \dots, s+q; \\ \begin{pmatrix} \mathbf{M}_{r+1,j,0,l}^{r+1,p+1;s,q} \\ \mathbf{M}_{r+1,j,1,l}^{r+1,p+1;s,q} \\ \vdots \\ \mathbf{M}_{r+1,j,m-1,l}^{r+1,p+1;s,q} \\ \mathbf{M}_{r+1,j,m,l}^{r+1,p+1;s,q} \end{pmatrix} = \begin{pmatrix} \mathbf{U}_m^{r,p} & \mathbf{V}_m^{r,p} & \mathbf{W}_m^{r,p} \end{pmatrix} \begin{pmatrix} \mathbf{M}_{r-1,j,*l}^{r,p;s,q} \\ \mathbf{M}_{r,j,0,l}^{r,p;s,q} \\ \vdots \\ \mathbf{M}_{r,j,m,l}^{r,p;s,q} \\ \mathbf{M}_{r+1,j,*l}^{r,p;s,q} \end{pmatrix}, & j = 0, 1, \dots, s+q. \end{cases} \quad (12.13.23)$$

其中  $\mathbf{E}_i^{r,p}$  为  $1 \times 3$  阶矩阵,  $\mathbf{U}_m^{r,p}, \mathbf{W}_m^{r,p}$  为  $(m+1) \times 1$  阶矩阵,  $\mathbf{V}_m^{r,p}$  为  $(m+1) \times (m+1)$  阶矩阵, 分别如(12.10.23) – (12.10.26)所示.

与上述情形相对称, 按(12.11.5), 可把(12.13.18)简化为下列形式:

$$\begin{cases} \mathbf{M}_{ijk*}^{r,p;s+1,q+1} = \begin{pmatrix} \mathbf{M}_{i,j-2,k,n}^{r,p;s,q} & \mathbf{M}_{i,j-1,k,*}^{r,p;s,q} & \mathbf{M}_{i,j,k,0}^{r,p;s,q} \end{pmatrix} \mathbf{F}_j^{s,q}, \\ i = 0, 1, \dots, r+p; j = 0, 1, \dots, s, s+2, \dots, s+q+2; \\ \begin{pmatrix} \mathbf{M}_{i,s+1,k,0}^{r,p;s+1,q+1} \\ \mathbf{M}_{i,s+1,k,1}^{r,p;s+1,q+1} \\ \vdots \\ \mathbf{M}_{i,s+1,k,n-1}^{r,p;s+1,q+1} \\ \mathbf{M}_{i,s+1,k,n}^{r,p;s+1,q+1} \end{pmatrix}^T = \begin{pmatrix} \mathbf{M}_{i,s-1,k,*}^{r,p;s,q} & \mathbf{M}_{i,s,k,0}^{r,p;s,q} & \cdots & \mathbf{M}_{i,s,k,n}^{r,p;s,q} & \mathbf{M}_{i,s+1,k,*}^{r,p;s,q} \end{pmatrix} \begin{pmatrix} \mathbf{X}_n^{s,q} \\ \mathbf{Y}_n^{s,q} \\ \mathbf{Z}_n^{s,q} \end{pmatrix} \\ i = 0, 1, \dots, r+p; \end{cases} \quad (12.13.24)$$

这里  $\mathbf{F}_j^{s,q}$  为  $3 \times 1$  矩阵,  $\mathbf{X}_n^{s,q}, \mathbf{Z}_n^{s,q}$  为  $1 \times (n+1)$  矩阵,  $\mathbf{Y}_n^{s,q}$  为  $(n+1) \times (n+1)$  矩阵:

$$\mathbf{F}_j^{s,q} = \left( \binom{s+q}{j-2} \quad 2\binom{s+q}{j-1} \quad \binom{s+q}{j} \right)^T / \binom{s+q+2}{j}, \quad (12.13.25)$$

$$\mathbf{X}_n^{s,q} = \frac{s(s+1)}{(s+q+1)(s+q+2)} (1 \quad 1 \quad \cdots \quad 1), \quad (12.13.26)$$

$$\mathbf{Z}_n^{s,q} = \frac{q(q+1)}{(s+q+1)(s+q+2)} (1 \quad 1 \quad \cdots \quad 1), \quad (12.13.27)$$

$$\mathbf{Y}_n^{s,q} = \frac{(s+1)(q+1)}{(s+q+1)(s+q+2)} \times \begin{pmatrix} 2-h_0 & h_0^{-1}-h_1 & -h_2 & \cdots & -h_{n-2} & -h_{n-1} & 0 \\ h_0 & 2 & h_1^{-1} & \cdots & 0 & 0 & 0 \\ 0 & h_1 & 2 & \cdots & 0 & 0 & 0 \\ \vdots & \vdots & \vdots & \ddots & \vdots & \vdots & \vdots \\ 0 & 0 & 0 & \cdots & 2 & h_{n-2}^{-1} & 0 \\ 0 & 0 & 0 & \cdots & h_{n-2} & 2 & h_{n-1}^{-1} \\ 0 & -h_0^{-1} & -h_1^{-1} & \cdots & -h_{n-3}^{-1} & h_{n-1} - h_{n-2}^{-1} & 2 - h_{n-1}^{-1} \end{pmatrix}. \quad (12.13.28)$$

综合(12.13.23)和(12.13.24), 按(12.11.5), 可知  $\mathbf{H}^{r+1,p+1;s+1,q+1}(u,v)$  和  $\mathbf{H}^{r,p;s,q}(u,v)$  的控制顶点之间的递推关系由下列对称的矩阵式来表示:

$$\mathbf{M}_{ij^{**}}^{r+1,p+1;s+1,q+1} = \mathbf{E}_i^{r,p} \begin{pmatrix} \mathbf{M}_{i-2,j-2,m,n}^{r,p;s,q} & \mathbf{M}_{i-2,j-1,m,*}^{r,p;s,q} & \mathbf{M}_{i-2,j,m,0}^{r,p;s,q} \\ \mathbf{M}_{i-1,j-2,*n}^{r,p;s,q} & \mathbf{M}_{i-1,j-1,*}^{r,p;s,q} & \mathbf{M}_{i-1,j,*0}^{r,p;s,q} \\ \mathbf{M}_{i,j-2,0,n}^{r,p;s,q} & \mathbf{M}_{i,j-1,0,*}^{r,p;s,q} & \mathbf{M}_{i,j,0,0}^{r,p;s,q} \end{pmatrix} \mathbf{F}_j^{s,q},$$

$$i = 0, 1, \dots, r, r+2, \dots, r+p+2; \quad j = 0, 1, \dots, s, s+2, \dots, s+q+2; \quad (12.13.29)$$

$$\begin{pmatrix} \mathbf{M}_{r+1,j,0,*}^{r+1,p+1;s+1,q+1} \\ \mathbf{M}_{r+1,j,1,*}^{r+1,p+1;s+1,q+1} \\ \vdots \\ \mathbf{M}_{r+1,j,m-1,*}^{r+1,p+1;s+1,q+1} \\ \mathbf{M}_{r+1,j,m,*}^{r+1,p+1;s+1,q+1} \end{pmatrix} = \begin{pmatrix} \mathbf{U}_m^{r,p} & \mathbf{V}_m^{r,p} & \mathbf{W}_m^{r,p} \end{pmatrix} \begin{pmatrix} \mathbf{M}_{r-1,j-2,*n}^{r,p;s,q} & \mathbf{M}_{r-1,j-1,*}^{r,p;s,q} & \mathbf{M}_{r-1,j,*0}^{r,p;s,q} \\ \mathbf{M}_{r,j-2,0,n}^{r,p;s,q} & \mathbf{M}_{r,j-1,0,*}^{r,p;s,q} & \mathbf{M}_{r,j,0,0}^{r,p;s,q} \\ \vdots & \vdots & \vdots \\ \mathbf{M}_{r,j-2,m,n}^{r,p;s,q} & \mathbf{M}_{r,j-1,m,*}^{r,p;s,q} & \mathbf{M}_{r,j,m,0}^{r,p;s,q} \\ \mathbf{M}_{r+1,j-2,*n}^{r,p;s,q} & \mathbf{M}_{r+1,j-1,*}^{r,p;s,q} & \mathbf{M}_{r+1,j,*0}^{r,p;s,q} \end{pmatrix} \mathbf{F}_j^{s,q},$$

$$j = 0, 1, \dots, s, s+2, \dots, s+q+2; \quad k = 0, 1, \dots, m; \quad (12.13.30)$$

$$\begin{pmatrix} \mathbf{M}_{i,s+1,*0}^{r+1,p+1;s+1,q+1} \\ \mathbf{M}_{i,s+1,*1}^{r+1,p+1;s+1,q+1} \\ \vdots \\ \mathbf{M}_{i,s+1,*n-1}^{r+1,p+1;s+1,q+1} \\ \mathbf{M}_{i,s+1,*n}^{r+1,p+1;s+1,q+1} \end{pmatrix}^T = \mathbf{E}_i^{r,p} \begin{pmatrix} \mathbf{M}_{i-2,s-1,m,*}^{r,p;s,q} & \mathbf{M}_{i-1,s-1,*}^{r,p;s,q} & \mathbf{M}_{i,s-1,0,*}^{r,p;s,q} \\ \mathbf{M}_{i-2,s,m,0}^{r,p;s,q} & \mathbf{M}_{i-1,s,*0}^{r,p;s,q} & \mathbf{M}_{i,s,0,0}^{r,p;s,q} \\ \vdots & \vdots & \vdots \\ \mathbf{M}_{i-2,s,m,n}^{r,p;s,q} & \mathbf{M}_{i-1,s,*n}^{r,p;s,q} & \mathbf{M}_{i,s,0,n}^{r,p;s,q} \\ \mathbf{M}_{i-2,s+1,m,*}^{r,p;s,q} & \mathbf{M}_{i-1,s+1,*}^{r,p;s,q} & \mathbf{M}_{i,s+1,0,*}^{r,p;s,q} \end{pmatrix}^T = \begin{pmatrix} \mathbf{X}_n^{s,q} \\ \mathbf{Y}_n^{s,q} \\ \mathbf{Z}_n^{s,q} \end{pmatrix},$$

$$i = 0, 1, \dots, r, r+2, \dots, r+p+2; \quad l = 0, 1, \dots, n; \quad (12.13.31)$$

$$\begin{pmatrix} \mathbf{M}_{r+1,s+1,0,0}^{r+1,p+1;s+1,q+1} & \mathbf{M}_{r+1,s+1,0,1}^{r+1,p+1;s+1,q+1} & \cdots & \mathbf{M}_{r+1,s+1,0,n-1}^{r+1,p+1;s+1,q+1} & \mathbf{M}_{r+1,s+1,0,n}^{r+1,p+1;s+1,q+1} \\ \mathbf{M}_{r+1,s+1,1,0}^{r+1,p+1;s+1,q+1} & \mathbf{M}_{r+1,s+1,1,1}^{r+1,p+1;s+1,q+1} & \cdots & \mathbf{M}_{r+1,s+1,1,n-1}^{r+1,p+1;s+1,q+1} & \mathbf{M}_{r+1,s+1,1,n}^{r+1,p+1;s+1,q+1} \\ \vdots & \vdots & \ddots & \vdots & \vdots \\ \mathbf{M}_{r+1,s+1,m-1,0}^{r+1,p+1;s+1,q+1} & \mathbf{M}_{r+1,s+1,m-1,1}^{r+1,p+1;s+1,q+1} & \cdots & \mathbf{M}_{r+1,s+1,m-1,n-1}^{r+1,p+1;s+1,q+1} & \mathbf{M}_{r+1,s+1,m-1,n}^{r+1,p+1;s+1,q+1} \\ \mathbf{M}_{r+1,s+1,m,0}^{r+1,p+1;s+1,q+1} & \mathbf{M}_{r+1,s+1,m,1}^{r+1,p+1;s+1,q+1} & \cdots & \mathbf{M}_{r+1,s+1,m,n-1}^{r+1,p+1;s+1,q+1} & \mathbf{M}_{r+1,s+1,m,n}^{r+1,p+1;s+1,q+1} \end{pmatrix}$$

$$= \begin{pmatrix} \mathbf{U}_m^{r,p} & \mathbf{V}_m^{r,p} & \mathbf{W}_m^{r,p} \end{pmatrix} \begin{pmatrix} \mathbf{M}_{r-1,s-1,*}^{r,p;s,q} & \mathbf{M}_{r-1,s,*}^{r,p;s,q} & \cdots & \mathbf{M}_{r-1,s,*}^{r,p;s,q} & \mathbf{M}_{r-1,s+1,*}^{r,p;s,q} \\ \mathbf{M}_{r,s-1,0,*}^{r,p;s,q} & \mathbf{M}_{r,s,0,0}^{r,p;s,q} & \cdots & \mathbf{M}_{r,s,0,n}^{r,p;s,q} & \mathbf{M}_{r,s+1,0,*}^{r,p;s,q} \\ \vdots & \vdots & \ddots & \vdots & \vdots \\ \mathbf{M}_{r,s-1,m,*}^{r,p;s,q} & \mathbf{M}_{r,s,m,0}^{r,p;s,q} & \cdots & \mathbf{M}_{r,s,m,n}^{r,p;s,q} & \mathbf{M}_{r,s+1,m,*}^{r,p;s,q} \\ \mathbf{M}_{r+1,s-1,*}^{r,p;s,q} & \mathbf{M}_{r+1,s,*}^{r,p;s,q} & \cdots & \mathbf{M}_{r+1,s,*}^{r,p;s,q} & \mathbf{M}_{r+1,s+1,*}^{r,p;s,q} \end{pmatrix} \begin{pmatrix} \mathbf{X}_n^{s,q} \\ \mathbf{Y}_n^{s,q} \\ \mathbf{Z}_n^{s,q} \end{pmatrix},$$

$$k = 0, 1, \dots, m; \quad l = 0, 1, \dots, n; \quad (12.13.32)$$

其中  $\mathbf{E}_i^{r,p}, \mathbf{U}_m^{r,p}, \mathbf{W}_m^{r,p}, \mathbf{V}_m^{r,p}$  如(12.10.23) – (12.10.26)所示,  $\mathbf{F}_j^{s,q}, \mathbf{X}_n^{s,q}, \mathbf{Z}_n^{s,q}, \mathbf{Y}_n^{s,q}$  如(12.13.25) – (12.13.28)所示.

## 12.14 有理 B ézier 曲面 $H\langle r, p; s, q \rangle$ 逼近的收敛条件

### 12.14.1 $H\langle r, p; s, q \rangle$ 逼近余项的界

由定理 12.12.3 可知, 有理曲面的 Hermite 逼近与 Hybrid 逼近在收敛条件上是等价的, 所以仅需讨论后者. 假设

$$\Delta_{i,j}^{r,p;s,q} = \max_{\substack{0 \leq k \leq m \\ 0 \leq l \leq n}} \left\| \mathbf{M}_{i,j,k,l}^{r,p;s,q} - \mathbf{H}_{ij}^{r,p;s,q} \right\|, \quad (12.14.1)$$

$$\Delta_{\max}^{r,p;s,q} = \max_{i=r \text{ 或 } j=s} \Delta_{ij}^{r,p;s,q}, \quad (12.14.2)$$

由(12.12.5)可得逼近余项的绝对误差

$$\begin{aligned} ER^{r,p;s,q}(u, v) &= \left\| \mathbf{R}(u, v) - \tilde{\mathbf{H}}^{r,p;s,q}(u, v) \right\| \\ &\leq B_s^{s+q}(v) \sum_{\substack{i=0 \\ i \neq r}}^{r+p} B_i^{r+p}(u) \Delta_{is}^{r,p;s,q} + B_r^{r+p}(u) \sum_{\substack{j=0 \\ j \neq s}}^{s+q} B_j^{s+q}(v) \Delta_{rj}^{r,p;s,q} + B_r^{r+p}(u) B_s^{s+q}(v) \Delta_{rs}^{r,p;s,q} \\ &\leq (B_s^{s+q}(v) + B_r^{r+p}(u) - B_r^{r+p}(u) B_s^{s+q}(v)) \Delta_{\max}^{r,p;s,q}. \end{aligned} \quad (12.14.3)$$

记集合  $X$  的直径为  $d(X)$ , 注意到

$$\left\| \mathbf{M}_{i,j,k,l}^{r,p;s,q} - \mathbf{H}_{ij}^{r,p;s,q} \right\| \leq d(\{\mathbf{M}_{i,j,k,l}^{r,p;s,q}\}_{k=0,l=0}^{m,n}) \leq 2 \max_{\substack{0 \leq k \leq m \\ 0 \leq l \leq n}} \left\| \mathbf{M}_{i,j,k,l}^{r,p;s,q} - \mathbf{M}_{i,j,0,0}^{r,p;s,q} \right\|,$$

又得

$$ER^{r,p;s,q}(u, v) \leq 2 \Delta_{\max}^{r,p;s,q} \leq 4 \max_{i=r \text{ 或 } j=s} \max_{\substack{0 \leq k \leq m \\ 0 \leq l \leq n}} \left\| \mathbf{M}_{i,j,k,l}^{r,p;s,q} - \mathbf{M}_{i,j,0,0}^{r,p;s,q} \right\|. \quad (12.14.4)$$

### 12.14.2 $H\langle s, s; s, s \rangle$ 逼近收敛的一个充分条件

考察最常见的情况:  $r = p = s = q$ . 在这种情况下, 由(12.4.7)和(12.14.3)可得

$$ER^{s,s;s,s}(u, v) = \left\| \mathbf{R}(u, v) - \tilde{\mathbf{H}}^{s,s;s,s}(u, v) \right\| \leq 2 \binom{2s}{s} \left( \frac{1}{2} \right)^{2s} \Delta_{\max}^{s,s;s,s}. \quad (12.14.5)$$

因而  $\mathbf{H}^{s,s;s,s}(u, v)$  收敛到曲面  $\mathbf{R}(u, v)$  的一个充分条件是存在常数  $a$ ,  $0 < a < 1/2$ , 使

$$\Delta_{\max}^{s,s;s,s} = O(s^a), \quad s \rightarrow \infty. \quad (12.14.6)$$

### 12.14.3 $H\langle r, p; s, q \rangle$ 逼近收敛的充要条件

仿 § 12.9 中对 Hybrid 逼近曲线收敛条件的分析方法, 运用恒等变换的技巧, 我们不难得到

**定理 12.14.1** 在简化情况(12.13.19)下, Hybrid 曲面(12.11.1)的移动控制顶点(12.11.2)当

$r + p \rightarrow \infty, \quad s + q \rightarrow \infty$  时都收敛的充分必要条件为  $\Theta(u) = \sum_{k=0}^m B_k^m(u) \alpha_k$  的所有根

$\theta_i$  ( $i=1,2,\dots,d_1$ ) 和  $\Phi(v) = \sum_{l=0}^n B_l^n(v)\beta_l$  的所有根  $\varphi_j$  ( $j=1,2,\dots,d_2$ ) 满足

$$\begin{cases} |\theta_i|^{a_1} |1-\theta_i|^{b_1} > a_1^{a_1} b_1^{b_1}, & i=1,2,\dots,d_1; \\ |\varphi_j|^{a_2} |1-\varphi_j|^{b_2} > a_2^{a_2} b_2^{b_2}, & j=1,2,\dots,d_2; \end{cases} \quad (12.14.7)$$

其中

$$a_1 = \lim_{r+p \rightarrow \infty} r/(r+p), \quad b_1 = 1-a_1; \quad a_2 = \lim_{s+q \rightarrow \infty} s/(s+q), \quad b_2 = 1-a_2. \quad (12.14.8)$$

### 主要文献

- [WGJ, STW, CFL, 97] Wang Guojin, Sederberg T.W., Chen Falai, On the convergence of polynomial approximation of rational functions, *Journal of Approximation Theory*, 1997, 89(3): 267–288
- [LLG, WGJ, 2000a] Liu Ligang, Wang Guojin, Recursive formulae for Hermite polynomial approximations to rational B ézier curves. *Proceedings of Geometric Modeling and Processing 2000: Theory and Applications*, HongKong, 2000, IEEE Computer Society, Los Alamitos, California, 2000: 190-197
- [WGZ, ZJM, 97] Wang Guozhao, Zheng Jianmin, Bounds on the moving control points of hybrid curves, *CVGIP: Graphical Models and Image Processing*, 1997, 59(1): 19–25
- [WGZ, LW, CFL, 95] Wang Guozhao, Lü Wei, Chen Falai, On the convergence of moving control points of hybrid curves, submitted.
- [QGX, WGJ, 2000] Qiu Guoxian, Wang Guojin, Approximating rational surfaces using polynomial surfaces, submitted.
- [LLG, WGJ, 2000b] Liu Ligang, Wang Guojin, Two types of polynomial approximation to rational surfaces and their convergence, to appear in *Journal of Software Research*

### 参考文献

- 1 Ball, A.A. CONSURF Part 1: Introduction of the conic lofting title, *Computer Aided Design*, 1974, 6(4): 243-249
- 2 Sederberg, T.W., Kakimoto, M. Approximating rational curves using polynomial curves. in: Farin, G., ed., *NURBS for Curve and Surface Design*, SIAM, Philadelphia, 1991, 144-158
- 3 Davis, P.J., *Interpolation and Approximation*, 2<sup>nd</sup> Edition, Dover, New York, 1975
- 4 Marshall, C.P., *Methods of Matrix Algebra*, Academic Press, New York, 1965
- 5 Stephen, H.F., Arnold, J.I., and Lawrence, E.S., *Linear Algebra*, Prentice-Hall, Englewood Cliffs, NJ, 1989
- 6 Nicholas, J.D., *Advanced Calculus with Applications*, Macmillan, New York, 1982
- 7 Burnside, W.S., Panton, A.W., *The Theory of Equations*, Dover, New York, 1960
- 8 Mulmuley, K., *Computational Geometry: An Introduction through Randomized Algorithms*, Prentice-Hall, Englewood Cliffs, NJ, 1994
- 9 Roger, A.H., Charles, R.J., *Matrix Analysis*, Cambridge University Press, Cambridge, UK, 1985
- 10 Bruce, P.P., *An Introduction to Complex Function Theory*, Springer-Verlag, New York, 1991